

Quasi-Eindimensionale Ladungsdichtewellen  
bei endlichen Temperaturen

Diplomarbeit  
von  
Andreas Glatz

## **Abstract**

Dynamic and static properties of the classical Fukuyama-Lee-Rice model and the renormalization and phase diagrams of the related quantum model with phase-slips are studied. In the first part, the phase correlation function is calculated in the weak pinning limit by an one-loop renormalization group calculation and exactly in the strong pinning case. Further, the creep dynamics of these quasi-one-dimensional systems is studied by analytical and numerical approaches.

In the second part, the phase diagrams of the quantum model is studied by an anisotropic, finite-temperature renormalization group calculation.

**Inhaltsverzeichnis**

<b>0</b>	<b>Summary</b>	<b>1</b>
<b>1</b>	<b>Einführung</b>	<b>2</b>
1.1	Einleitung . . . . .	2
1.2	Bekannte Ergebnisse . . . . .	5
1.3	Überblick . . . . .	6
<b>2</b>	<b>Klassisches Modell</b>	<b>7</b>
2.1	Ladungsdichte . . . . .	7
2.2	Hamiltonian . . . . .	7
2.2.1	Schwaches Pinning - Burgers Gleichung . . . . .	10
2.2.2	Starkes Pinning . . . . .	16
2.2.3	numerische Untersuchungen . . . . .	18
2.3	Dynamik . . . . .	20
2.3.1	Bewegungsgleichung und Kriechgesetz . . . . .	21
2.3.2	Depinning bei $T = 0$ . . . . .	23
2.3.3	Kriechen . . . . .	24
<b>3</b>	<b>Erweiterung des Modells</b>	<b>28</b>
3.1	quantenmechanischer Hamiltonian . . . . .	28
3.2	Pfadintegraldarstellung . . . . .	28
3.3	Phase-slips . . . . .	30
3.4	harmonisches Modell . . . . .	32
<b>4</b>	<b>Renormierungsgruppe</b>	<b>34</b>
4.1	Überblick . . . . .	34
4.2	dimensionslose Parameter . . . . .	35
4.3	Replica-Wirkung / Unordnungsmittel . . . . .	36
4.4	RG des Unordnungsterms . . . . .	37
4.5	RG der "phase-slips" . . . . .	40
4.6	Reskalierung und Flussgleichungen . . . . .	43
4.7	numerische Auswertung und Flussdiagramme . . . . .	45
<b>5</b>	<b>Resultate und Relevanz für verwandte Systeme</b>	<b>56</b>
5.1	Vergleich mit Flüssen der Unordnung in $d > 1$ . . . . .	57
5.2	Tomonaga-Luttinger Modell . . . . .	58
<b>6</b>	<b>Zusammenfassung und Ausblicke</b>	<b>60</b>
<b>A</b>	<b>Anhang</b>	<b>62</b>
A.1	Symbole, Einheiten und Notationen . . . . .	62
A.1.1	verwendete Symbole . . . . .	62

A.1.2 Notation . . . . .	62
A.2 nützliche Formeln . . . . .	63
A.3 Tilt Symmetrie . . . . .	65
A.4 Korrelationsfunktion für gaußsches Modell . . . . .	66
A.5 Berechnung des Integrals aus 2.2.2 . . . . .	67
A.6 Statistik geordneter Zufallsgrößen . . . . .	68
A.7 Programm zur Simulation der Dynamik . . . . .	70
A.8 Teilpublikation . . . . .	73
<b>Literatur</b>	<b>75</b>
<b>Danksagung</b>	<b>77</b>
<b>B Erklärung</b>	<b>79</b>
<b>Erklärung</b>	<b>79</b>

## 0 Summary

Charge density waves (CDWs) are possible low energy states of quasi-one-dimensional metals, which appear below a certain transition temperature  $T_c$ , typically below  $200K$ . The underlying mechanism for this *phase-transition* – called *Peierls transition* – is the coupling of the band electrons to the underlying lattice (electron-phonon coupling). At low temperatures the system can reduce its energy by formation of a periodic lattice distortion, which is of the order one percent of the interatomic distance. This deformation leads to a gap in the electronic dispersion and with that to a gain of electronic energy larger than the loss of elastic energy.

CDWs can be described by a *Ginzburg-Landau model* as elastic, disordered systems.

In the first part of this thesis (chapter 2) I study dynamic and static properties of the classical *Fukuyama-Lee-Rice model*: In the weak pinning limit the temperature dependency of the pair correlation function is calculated using a one-loop approximation of the related *Burgers equation*. This result is verified by a *Monte-Carlo* simulation. For strong disorder, the correlation function is calculated *exactly*, considering the order statistics of the positions of the impurities, at zero temperature.

As the central problem, the collective dynamics, especially the *creep-dynamics*, is studied by analytical and numerical approaches. Contrary to high dimensional systems an analytical expression for the creep velocity or current is found, which is in very good agreement with numerical simulation results. This result extends the well known results for  $D > 2$ .

In the second part (starting with chapter 3) the classical model is extended by considering quantum fluctuations and space-time vortices (*phase-slips*).

With an anisotropic, finite-temperature renormalization group approach the phase diagrams for this model are studied. In former works only the zero temperature behavior for either 1D disordered, electronic systems or systems with dislocation is studied.

The full consideration of thermal fluctuations and phase-slips is therefore an essential extension of these works and leads to a new scenario for the well know delocalization transition at  $T = 0$ .

### partly published in

Andreas Glatz and Mai Suan Li, *Collective dynamics of one-dimensional charge density waves*, Phys. Rev. **B** 64, 184301 (2001). (excerpts of chapter 2)

Andreas Glatz and Thomas Nattermann, *One-Dimensional Disordered Density Waves and Superfluids: The Role of Quantum Phase Slips and Thermal Fluctuations*, Phys. Rev. Lett. 88, 256401 (2002). (based on chapters 3 and 4)

# 1 Einführung

## 1.1 Einleitung

In dieser Arbeit werden einige neue Aspekte eindimensionaler Ladungsdichtewellen behandelt. Es werden statische und dynamische Eigenschaften mit Hilfe des klassischen Fukuyama–Lee–Rice–Modells, welches nur thermische und Unordnungsfluktuationen berücksichtigt, und die Phasendiagramme eines erweiterten, phänomenologischen Modells, welches zusätzlich noch Quantenfluktuationen und Dislokationen beinhaltet, bei tiefen Temperaturen untersucht.

Doch zunächst eine kurze Einführung zu Ladungsdichtewellen (CDW) und warum diese interessant sind:

Schon 1955 fand R.E. Peierls anhand von theoretischen Überlegungen, dass eindimensionale Metalle welche an das unterliegende Gitter gekoppelt sind, aufgrund der Elektron–Phonon–Wechselwirkung nicht stabil sind und eine Ladungsdichtewelle ausbilden können. CDWs können auch in höheren Dimensionen auftreten, werden aber vorwiegend als quasi-eindimensionales Phänomen beschrieben.

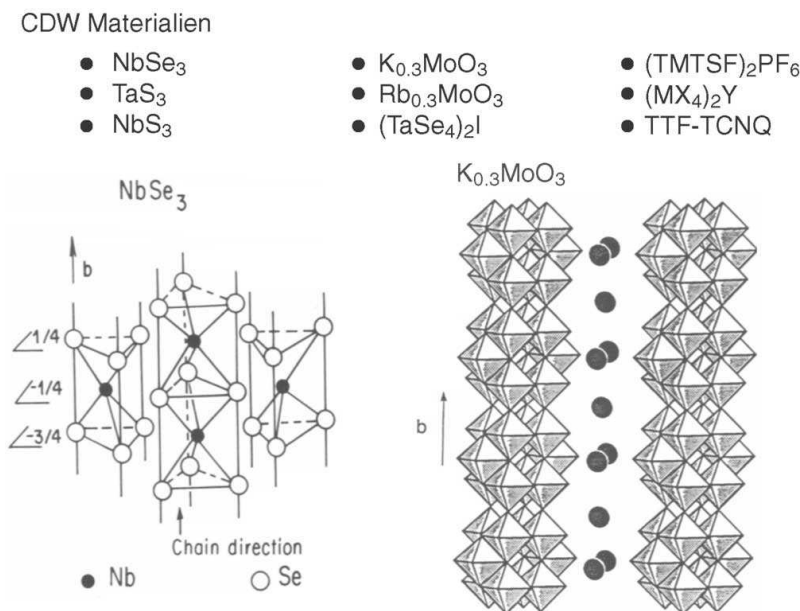


Abbildung 1: Kristallstruktur einiger CDW-Materialien. Diese bestehen aus schwach gekoppelten Molekülketten. Die Übergangstemperaturen  $T_P$  zur CDW liegen für NbSe<sub>3</sub> bei 145K und (!) 59K (diese Substanz bildet zwei unabhängige CDW Phasen aus) und für K<sub>0,3</sub>MoO<sub>3</sub> bei 180K.

Einige CDW Materialien sind in Abb. 1 mit Kristallstruktur zusammengestellt. Aufgrund ihrer Struktur können sie als eindimensionale Systeme behandelt werden. In Abb. 2 und 3 sind Fotos von NbSe<sub>3</sub> und K<sub>0,3</sub>MoO<sub>3</sub> zu sehen. Am Beispiel von NbSe<sub>3</sub> kann man erkennen, dass die Materialien als sehr feine Fäden (whiskers) vorliegen können und somit deren transversale Ausdehnung, wenn diese eine gewisse Ausdehnung ( $\approx L_C$ , s. Kap. 2) unterschreitet,

Abbildung 2: NbSe<sub>3</sub> KristallfädenAbbildung 3: K<sub>0,3</sub>MoO<sub>3</sub> Kristalle. (Aufgrund der tiefblauen Farbe auch Blau-Bronze genannt.)

vernachlässigt werden kann.

Betrachten wir zunächst den 1D Elektron–Phonon Hamiltonoperator (Fröhlich Hamiltonian) für spinlose Fermionen (In [Grü94, Grü88] ist eine ausführliche Darstellung der theoretischen und experimentellen Grundlagen zu Ladungsdichtewellen zu finden.)

$$\hat{H}_{el-ph} = \sum_k \epsilon_k \hat{c}_k^\dagger \hat{c}_k + \sum_q \hbar \omega_q \hat{b}_q^\dagger \hat{b}_q + \sum_{k,q} g_q \hat{c}_{k+q}^\dagger \hat{c}_k (\hat{b}_q + \hat{b}_q^\dagger),$$

wobei  $\hat{c}_k^{(\dagger)}$  und  $\hat{b}_q^{(\dagger)}$  Vernichtungs- (Erzeugungs-) Operatoren für Elektronen bzw. Phononen sind und  $\epsilon_k = \frac{\hbar^2 k^2}{2m_e}$ .  $g_q$  ist die Kopplungskonstante der Elektron–Phonon–WW. Mit der Definition des komplexen Ordnungsparameters

$$\Delta = |\Delta| e^{i\varphi} \equiv g_{2k_F} \langle \hat{b}_{2k_F} + \hat{b}_{2k_F}^\dagger \rangle \quad (1.1)$$

wobei  $k_F$  der Fermi–Wellenvektor ist, und der Gitter–Verschiebung  $u(x) = \sum_q Q_q e^{iqx}$  mit  $Q_q = \left( \frac{\hbar}{2M\omega_q} \right)^{1/2} (\hat{b}_q + \hat{b}_{-q}^\dagger)$  ( $M$  ist die Ionenmasse) findet man für  $\langle u(x) \rangle$  folgenden Ausdruck

$$\langle u(x) \rangle = \left( \frac{\hbar}{2M\omega_q} \right)^{1/2} \left( \langle \hat{b}_{2k_F}^\dagger + \hat{b}_{-2k_F}^\dagger \rangle e^{2ik_F x} + c.c. \right) = 2\Delta / g_{2k_F} \cos(2k_F x + \varphi).$$

Das bedeutet, dass das Gitter, welches ohne Elektron–Phonon–WW die Gitterkonstante  $a$  hat, aufgrund dieser WW periodisch gestört wird mit Periode  $\lambda_0 = 2\pi/(2k_F)$ , was zur Ausbildung einer Lücke ( $\Delta$ ) im Elektronenspektrum bei  $\pm k_F$  führt (s. Abb. 4).

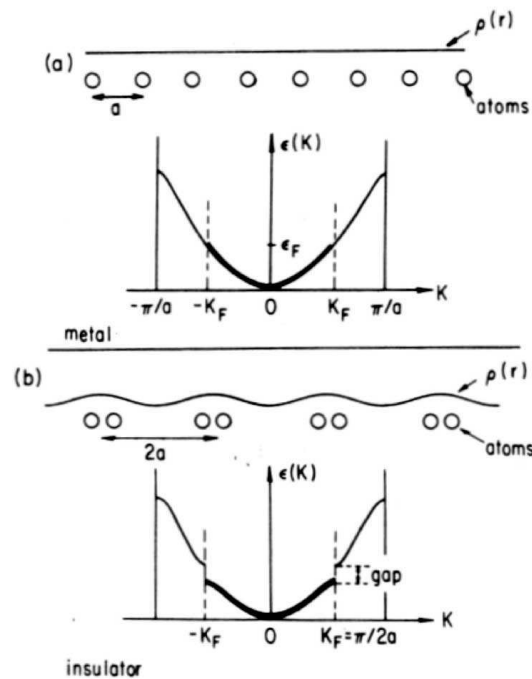


Abbildung 4: Dispersion in einem ungestörten eindimensionalen Metall mit halber Bandfüllung (a) und mit Peierls-Störung (b).

Die elektronische Energie nimmt für kleine Verschiebungen  $\propto u^2 \ln u$  ab [RS73], die elastische Energie mit  $\propto u^2$  zu. Insgesamt erhält man durch die Ausbildung dieser periodischen Gitterstörung einen Energiegewinn. Aus der Minimalbedingung für die Energie kann man den Wert von  $|\Delta|$  bestimmen. Mit dieser Gittermodulation wird auch die Ladungsdichte mit der Periode  $\lambda_0$  moduliert, wobei pro Periode zwei Elektronen vorhanden sind.

Für das phänomenologische Modell, welches im nächsten Kapitel behandelt wird, entwickelt man einen Landau–Ginzburg–Hamiltonian für den Ordnungsparameter  $\Delta(x)$ , welcher zunächst Fluktuationen der Amplitude  $|\Delta|$  und der Phase  $\varphi$  enthält. Da die Fluktuationen der Amplitude bei tiefen Temperaturen keine Rolle spielen<sup>1</sup>, werden diese im Rahmen dieser Arbeit nicht weiter (direkt) behandelt. In Kapitel 3 wird unser Modell erweitert und Dislokationen in der Phase zugelassen. Da das Phasenfeld an den Orten der Dislokationen einen Sprung hat, muss der Ordnungsparameter an diesen Stellen verschwinden und damit auch die Amplitude.

Als einzig relevanter Beitrag bleibt noch der elastische Energieterm

$$\mathcal{H}_{el} = \int dx \frac{c}{2} (\partial_x \varphi)^2 \quad (1.2)$$

übrig (die Zeitabhängigkeit des Ordnungsparameters bzw. ein daraus folgender kinetischer Energieterm wurde vernachlässigt, siehe dazu Kapitel 3/5). Folgt man den Berechnungen in [Grü94] findet man  $c = \hbar v_F / (2\pi)$ .

<sup>1</sup>Die Amplitudenfluktuationen können vernachlässigt werden, da diese im Landau–Ginzburg–Hamiltonian als quadratische Terme auftreten, und somit bei tiefen Temperaturen unterdrückt werden.

## 1.2 Bekannte Ergebnisse

In diesem Abschnitt möchte ich kurz darstellen, was im Hinblick auf die in dieser Arbeit behandelten Themen an Vorarbeiten geleistet wurde.

Viele Arbeiten, die die statischen Eigenschaften des klassischen Modells behandeln, sind schon Ende der 1970er bis Anfang der 1980er Jahre geschrieben worden. Hervorzuheben ist unter anderen die Arbeit von M.V. Feigel'man [Fei80], in der Eigenschaften von klassischen, ungeordneten Systemen bei tiefen Temperaturen, wie z.B. Ladungsdichtewellen mit Unordnungspotential oder auch Spinketten mit zufälligen Anisotropien, untersucht werden. In dieser Arbeit wird, neben der Berechnung der kollektiven Leitfähigkeit von CDWs, auch die Phasen-Paarkorrelationsfunktion im Fall von schwacher Unordnung bei  $T = 0$  mittels einer Transfermatrixberechnung bestimmt.

J. Villain und J.F. Fernandez [VF84] haben diese Korrelationsfunktion für  $T \rightarrow 0$  für ein harmonisches System mit Unordnungsfeld in höheren Dimensionen ( $2 < d < 4$ ) bestimmt, aber auch in  $d = 1$  im Fall eines starken Unordnungspotentials.

Wir werden diese Ergebnisse auf endliche Temperaturen für CDWs erweitern, und im Fall von starkem Unordnungspotential bei  $T = 0$  ein exaktes Ergebnis unter Berücksichtigung der geordneten Statistik der Positionen der Verunreinigungen präsentieren.

Die Dynamik von elastischen Medien mit Unordnung bei einer extern angelegten Kraft bzw. eines elektrischen Feldes ist ebenfalls schon in mehreren Arbeiten untersucht worden.

Wichtige Arbeiten in diesem Zusammenhang in Bezug auf Ladungsdichtewellen sind u.a. von H. Fukuyama und P.A. Lee [FL78] und P.A. Lee und T.M. Rice [LR79] geschrieben worden, in denen der Depinning-Übergang bei  $T = 0$  untersucht und eine Abschätzung des Depinningfeldes angegeben wird, aber auch Leitfähigkeiten mit Hilfe der Kubo Formel berechnet wurden.

Eine Sammlung von neueren Arbeiten zur Dynamik, auch experimentelle, ist in [BM99] zu finden.

Der Beitrag dieser Arbeit zur Dynamik beschäftigt sich im wesentlichen mit der Kriechdynamik eindimensionaler CDWs bei tiefen, aber endlichen Temperaturen und kleinen angelegten Feldern. In höheren Dimensionen ist diese Dynamik wohl bekannt [NS00] (für  $d = 2$  auch [TS92]) und wir werden dies in Abschnitt 2.3 für  $d = 1$  studieren.

In einer Dimension erhalten wir für die Kriechgeschwindigkeit einen analytischen Ausdruck, wobei die Feldabhängigkeit durch eine hyperbolische Sinus-Funktion gegeben ist. Dieses Verhalten haben wir ausführlich numerisch untersucht. Bei  $T = 0$  haben wir außerdem den Depinning-Übergang untersucht und den kritischen Exponenten der CDW-Geschwindigkeit bestimmt. Unser Ergebnis stimmt mit den von anderen Autoren [SL90, MS93], ebemfalls numerisch, bestimmten Werten (innerhalb der Fehlergrenzen) gut überein.

Relevante Arbeiten die bzgl. der untersuchten Phasendiagramme bei tiefen Temperaturen des erweiterten Modells schon geschrieben wurden, werden in Kapitel 5 mit unseren Ergebnissen verglichen.

### 1.3 Überblick

In dieser Arbeit wird der Einfluss von Unordnung in Ladungsdichtewellen eine zentrale Rolle spielen, welcher in einer Dimension besonders relevant ist und die Eigenschaften des Systems stark bestimmt. Die Arbeit ist wie folgt aufgebaut:

- In Kapitel 2 wird zunächst der Einfluss der Unordnung im klassischen Fall (Fukuyama–Lee–Rice–Modell) auf die Phasen–Paarkorrelationsfunktion  $\langle(\varphi(x) - \varphi(x'))^2\rangle$  im Fall von schwachem und von starkem Unordnungspotential behandelt. Anschließend wird die Dynamik des Systems bei einer von außen angelegten treibenden Kraft bzw. einem elektrischen Feld untersucht.
- In Kapitel 3 wird dieses Modell um einen kinetischen Term, da bei tiefen Temperaturen auch Quantenfluktuationen berücksichtigt werden müssen, und einen Term, welcher den Effekt von Dislokationen bzw. "phase–slips" berücksichtigt, erweitert.
- In Kapitel 4 werden die Phasendiagramme dieses erweiterten Modells ausführlich besprochen und
- in Kapitel 5 deren physikalische Konsequenzen diskutiert und mit verwandten Systemen verglichen.

## 2 Klassisches Modell

In diesem Kapitel behandle ich das klassische *Fukuyama–Lee–Rice Modell* [Fuk76, LR79] für eindimensionale Ladungsdichtewellen. Zunächst wird der Einfluß der Unordnung auf die statischen Eigenschaften, insbesondere die Paarkorrelationsfunktion  $\langle (\overline{\varphi(x)} - \overline{\varphi(0)})^2 \rangle$  bei niedrigen Temperaturen untersucht. Dabei wird zwischen *schwachem* (Abschnitt 2.2.1) und *starkem* (Abschnitt 2.2.2) Unordnungspotential unterschieden. Mit Hilfe einer *Monte–Carlo* Simulation werden die Resultate in Abschnitt 2.2.3 schließlich überprüft.

In Abschnitt 2.3 wird das dynamische Verhalten des Systems bei einer von außen an das System angelegten Kraft bzw. elektrischen Feld analytisch und numerisch untersucht.

### 2.1 Ladungsdichte

Als fundamentale Observable wird ein Ausdruck für die Ladungsdichte benötigt.

Dazu wird einfach die Teilchendichte als  $\rho(x) = n \sum_i \delta(x - x_i)$  geschrieben, wobei  $x_i = X_i - \frac{\varphi_i}{2\pi}a$  die Positionen der Elektronen sind und  $\frac{\varphi_i}{2\pi}a$  kleine Abweichungen von der mittleren Position  $X_i = ia$  beschreibt ( $\varphi_i$  hat demnach die Funktion eines Verschiebungsfeldes). Dies läßt sich wie folgt umformen:

$$\begin{aligned} \rho(x) &= n \sum_i \int dX \delta(X - X_i) \delta\left(x - X + \frac{\varphi(x)}{2\pi}a\right) \\ &\stackrel{\text{PSF}}{=} n \int dX \sum_m \frac{1}{a} e^{iQ_m X} \delta\left(x - X + \frac{\varphi(x)}{2\pi}a\right) \end{aligned}$$

mit  $\varphi(x_i) = \varphi_i$  und  $Q_m = 2\pi m/a$ . Führt man noch die neue Variable  $y = X - \frac{\varphi(x)}{2\pi}a$  ein, folgt (vgl. mit Herleitung in [Hal81])

$$\begin{aligned} \rho(x) &= \frac{n}{a} \int dy \left(1 + \frac{1}{2\pi} \partial_x \varphi(x) a\right) \sum_m e^{i2\pi m/a(y + \varphi(x)/(2\pi)a)} \delta(x - y) \quad , \quad 2k_F = \frac{2\pi}{a} \\ &= n \left(\frac{k_F}{\pi} + \frac{1}{2\pi} \partial_x \varphi(x)\right) \sum_m e^{im(2k_F x + \varphi(x))} . \end{aligned} \quad (2.1)$$

Im Fall der Ladungsdichtewelle ist  $n = 2$ , da pro CDW–Periode zwei Elektronen vorhanden sind.

In niedrigster Ordnung erhält man folgenden Ausdruck

$$\rho(x) = \rho_0 + \frac{1}{\pi} \partial_x \varphi(x) + \rho_1 \cos(\varphi(x) + 2k_F x) + \text{h.h.} , \quad (2.2)$$

mit  $\rho_0 = 2k_F/\pi$  und  $\rho_1 = 2\rho_0$ .

### 2.2 Hamiltonian

Die Hamiltonfunktion des Phasenfeldes  $\varphi$  setzt sich aus zwei Anteilen zusammen:

$\mathcal{H}_{\text{klass}} = \mathcal{H}_{\text{el}} + \mathcal{H}_{\text{imp}}$ , wobei  $\mathcal{H}_{\text{el}} = \int dx \frac{1}{4\pi} \hbar v_F \left(\frac{\partial}{\partial x} \varphi\right)^2$  die elastische Energie und  $\mathcal{H}_{\text{imp}}$  die "Unordnungsenergie" des Systems beschreibt (den Index *klass* lasse ich im weiteren Verlauf dieses

Abschnitts weg). Das Unordnungspotential ist durch  $V(x) = -\sum_{i=1}^N V_i \delta(x-x_i)$  gegeben, wobei  $x_i$  die Position der  $i$ -ten Verunreinigung (*impurity*) und  $V_i > 0$  dessen Stärke ist. Dieses Potential koppelt an die Ladungsdichte  $\rho(x)$  und liefert drei zusätzliche Terme zum Hamiltonian: Einen konstanten Beitrag durch  $\rho_0$ , einen Gradiententerm und einen Beitrag durch die Kopplung an den schnell variierenden bzw. mikroskopischen Anteil der Ladungsdichte  $\rho_1 \cos(\varphi(x) + Qx)$  mit dem Wellenvektor  $Q = 2k_F$  der ungestörten Welle. Höhere Harmonische in der Dichte (2.2) werden nicht berücksichtigt. Der konstante Beitrag kann vernachlässigt werden und der Gradiententerm kann durch eine geeignete Umdefinition des Phasenfeldes in den elastischen Term absorbiert werden (siehe dazu auch im nächsten Abschnitt).

Die Hamiltonfunktion des Systems der Länge  $L$  lautet daher [Gor77]:

$$\mathcal{H} = \int_0^L dx \left\{ \frac{\hbar v_F}{4\pi} \left( \frac{\partial}{\partial x} \varphi \right)^2 - \sum_{i=1}^N V_i \rho_1 \delta(x-x_i) \cos(\varphi + Qx) \right\} \quad (2.3)$$

Der mittlere Abstand der Verunreinigungen  $c_{imp}^{-1} = L/N$  ist groß im Vergleich mit der CDW-Wellenlänge, also

$$Q \gg c_{imp}.$$

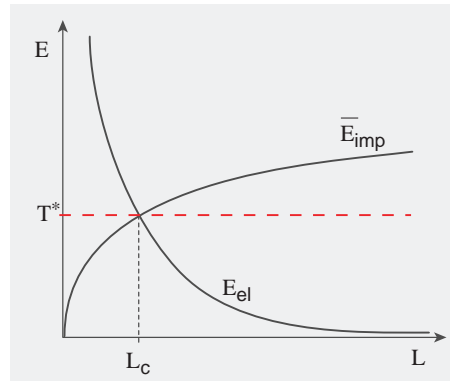


Abbildung 5: Elastische Energie und mittlere Unordnungsenergie als Funktion der Länge

Nun kann man eine Längenskala  $L_c$  definieren, die Fukuyama–Lee–Länge [FL78], auf der die elastische Energie gleich der mittleren Unordnungsenergie wird ( $\varphi$  ändert sich um  $\mathcal{O}(1)$ ):  $\hbar v_F / L_c = (\overline{V_i^2} \rho_1 c_{imp} L_c)^{1/2}$  (siehe Abb. 5). Daraus folgt für  $L_c$

$$L_c = (\hbar v_F)^{2/3} (\overline{V_i^2} \rho_1 c_{imp})^{-1/3}. \quad (2.4)$$

Die durch  $L_c$  definierte Energieskala bezeichne ich als

$$T^* = \frac{\hbar v_F}{L_c} = \left( \hbar v_F \overline{V_i^2} \rho_1 c_{imp} \right)^{1/3}. \quad (2.5)$$

Typische Werte für  $T^*/T$  liegen im Bereich  $10^3 - 10^7$  [MF91].

Im Folgenden unterscheiden wir die Fälle von *schwacher* ( $V_i\rho_1 \ll \hbar v_F c_{imp}$ ) und *starker* ( $V_i\rho_1 \gg \hbar v_F c_{imp}$ ) Unordnung.

Die angegebenen Bedingungen für starke und schwache Unordnung kann man sich folgendermaßen überlegen: Im Fall eines starken Unordnungspotentials wird sich die Phase an den Positionen  $x_i$  der Impurities so einstellen, dass  $H_{imp}$  minimal wird. Dabei gewinnt das System die Energie  $V_i\rho_1$  pro Verunreinigung. Andererseits wird dabei die elastische Energie erhöht, und zwar um  $\approx c_{imp}^{-1} \hbar v_F (c_{imp})^2 = \hbar v_F c_{imp}$  pro Verunreinigung. Die Unterscheidung von starker und schwacher Unordnung ist dadurch vorgegeben, ob der Quotient  $V_i\rho_1/(\hbar v_F c_{imp})$  sehr viel größer bzw. kleiner als eins ist.

Im Fall der schwachen Unordnung wird die Korrelationsfunktion  $\overline{\langle(\varphi(x) - \varphi(0))^2\rangle}$  zuerst mit einem einfachen Renormierungsgruppenargument und anschließend deren Temperaturabhängigkeit in *one-loop*-Näherung mit einer KPZ-artigen Gleichung berechnet.

### 2.2.1 Schwaches Pinning - Burgers Gleichung

Aus der Bedingung für die schwache Unordnung und der Definition von  $L_c$  folgt, dass die Fukuyama–Lee–Länge groß im Vergleich zum mittleren Abstand der Impurities ist, also

$$L_c \gg c_{imp}^{-1} \gg Q^{-1}. \quad (2.6)$$

Da wir uns für die Physik auf Längenskalen  $\geq L_c$  interessieren, kann der Hamiltonian (2.3) in Form eines *XY-Modells* mit Zufallsfeld geschrieben werden:

$$\mathcal{H} = \int dx \left\{ \frac{1}{4\pi} \hbar v_F \left( \frac{\partial}{\partial x} \varphi - g(x) \right)^2 - V \cos(\varphi + \alpha(x)) \right\}, \quad (2.7)$$

wobei  $V^2 \equiv \overline{V_i^2} \rho_1 c_{imp}$  und  $\alpha(x)$  eine Zufallsphase ist, mit  $\alpha(x_i) = 2k_F x_i \mid 2\pi$  ( $\mid$  steht für modulo). Für den Unordnungsmittelwert von  $\alpha(x)$  gilt

$$\overline{e^{i(\alpha(x) - \alpha(x'))}} = \delta(x - x'). \quad (2.8)$$

In (2.7) wurde außerdem berücksichtigt, dass unter der Renormierungsgruppentransformation, welche von (2.3) auf (2.7) führt, ein linearer Gradiententerm  $\propto \int dx g(x) \partial_x \varphi$  generiert wird und die elastische Konstante  $\hbar v_F$  nicht renormiert wird.

Für  $g(x)$  soll gelten

$$\overline{g(x)} = 0 \quad , \quad \overline{g(x)g(x')} = \sigma \delta(x - x'). \quad (2.9)$$

Dass die elastische Konstante nicht renormiert wird, folgt aus der Tatsache, dass das Modell (2.3) eine sogenannte *statistische Tilt-Symmetrie* [SVBO88] besitzt. (In Anhang A.3 ist dies ausführlicher gezeigt.)

Es ist zweckmäßig zu reskalierten Größen überzugehen:

$$\begin{aligned} y &= L_c^{-1} x \quad , \quad \tilde{L} = L_c^{-1} L \\ \tilde{\varphi}(y) &= \varphi(x) \quad , \quad \tilde{\alpha}(y) = \alpha(x) \\ \tilde{g}(y) &= g(x) \quad , \quad \tilde{\sigma} = L_c \sigma \\ \tilde{T} &= T/T^* \end{aligned} \quad (2.10)$$

Damit läßt sich (2.7) umschreiben zu

$$\frac{\mathcal{H}}{T} = \tilde{T}^{-1} \int dy \left[ \frac{1}{2} \left( \frac{\partial \tilde{\varphi}}{\partial y} - \tilde{g}(y) \right)^2 - \cos(\tilde{\varphi} - \tilde{\alpha}(y)) \right]. \quad (2.11)$$

Außerdem brauchen wir das Hilfsfeld  $\tilde{\phi}$ , definiert durch

$$\frac{\partial \tilde{\phi}}{\partial y} \equiv \frac{\partial \tilde{\varphi}}{\partial y} - \tilde{g}(y) \quad (2.12)$$

und damit

$$\tilde{\varphi}(y) = \tilde{\phi}(y) + \int_0^y dz \tilde{g}(z) + \tilde{\varphi}(0) - \tilde{\phi}(0). \quad (2.13)$$

In nullter Ordnung der Störungstheorie kann der nicht-lineare Term in (2.11) ignoriert werden und die Paarkorrelationsfunktion  $C(x)$  läßt sich in diesem Fall unter Benutzung von (2.13) und (2.9) einfach berechnen:

$$\begin{aligned}
C(x) &= \overline{\langle (\varphi(x) - \varphi(0))^2 \rangle} = \overline{\langle (\tilde{\varphi}(y) - \tilde{\varphi}(0))^2 \rangle} \\
&= \overline{\left\langle \left( \tilde{\phi}(y) - \tilde{\phi}(0) + \int_0^y dz \tilde{g}(z) \right)^2 \right\rangle} \\
&= \langle (\tilde{\phi}(y) - \tilde{\phi}(0))^2 \rangle + \iint_0^y dz dz' \overline{\tilde{g}(z) \tilde{g}(z')} \\
&= \tilde{T}|y| + \tilde{\sigma}|y| = \left( \frac{T}{\hbar v_F} + \sigma \right) |x|^{2\zeta}, \tag{2.14}
\end{aligned}$$

wobei für den Rauigkeitsexponenten  $\zeta = 1/2$  gilt.

Die Berechnung der Korrelationsfunktion für das einfache elastische Modell (welche für den vorletzten Schritt benutzt wurde) ist in Anhang A.4 zu finden.

Für  $T \rightarrow 0$  hat Feigel'man [Fei80], ausgehend von (2.3), mit einer Transfermatrix-Methode gezeigt, dass  $\sigma$  von der Größenordnung  $L_c^{-1}$  ist, d.h.  $\tilde{\sigma}$  ist von der Ordnung 1. Dies wird sehr gut durch die Monte-Carlo-Simulation in Abschnitt 2.2.3 bestätigt. Ein ähnliches Resultat wurde auch von Villain und Fernandez [VF84] mit Hilfe einer Ortsraum-Renormierungsgruppenmethode gefunden. Mit (2.14) haben wir ein Resultat bekommen, welches auch bei endlichen Temperaturen gültig ist.

Bei endlichen Temperaturen kann der Einfluß des nichtlinearen Terms der Unordnung mit einer *KPZ*- oder *Burgers*-ähnlichen Gleichung behandelt werden. Dazu betrachtet man die eingeschränkte Zustandssumme

$$\mathcal{Z}(l, \varphi) \equiv \int_{\varphi(0)=0}^{\varphi(l)=\varphi} \mathcal{D}\varphi e^{-\mathcal{H}(l)/T} \tag{2.15}$$

des Systems mit Länge  $l$  und den Randbedingungen  $\varphi(0) = 0$ ,  $\varphi(l) = \varphi$ .

Mit Hilfe der Transformation  $F(l, \varphi) = -T \ln(\mathcal{Z}(l, \varphi))$  (*Cole-Hopf-Transformation*) erhält man aus der "Transfermatrix-Gleichung"  $-T \frac{\partial \mathcal{Z}(l, \varphi)}{\partial l} = \left[ -\frac{T^2}{2\hbar v_F} \frac{\partial^2}{\partial \varphi^2} + V(l, \varphi) \right] \mathcal{Z}(l, \varphi)$  die folgende Gleichung für die eingeschränkte freie Energie  $F(l, \varphi)$  [HHF85]

$$\frac{\partial F}{\partial l} = \frac{T}{2\hbar v_F} \frac{\partial^2 F}{\partial \varphi^2} - \frac{1}{2\hbar v_F} \left( \frac{\partial F}{\partial \varphi} \right)^2 - \underbrace{V \cos(\varphi - \alpha(l))}_{\equiv V(l, \varphi)}. \tag{2.16}$$

Nun geht man zur Fouriertransformierten  $\hat{F}(k, \omega) = \iint_{\mathbb{R}^2} d\varphi dl e^{ik\varphi + i\omega l} F(l, \varphi)$  (analog für  $\hat{V}(k, \omega)$ ) über. Setzt man die Umkehrtransformierte in Gleichung (2.16) ein, erhält man [M+89]

$$\begin{aligned}
-i\omega\hat{F}(k, \omega) &= -\frac{T}{2\hbar v_F} k^2 \hat{F}(k, \omega) \\
&\quad - \frac{1}{2\hbar v_F} \iint_{\{|\tilde{\omega}| < \Omega\} \times \mathbb{R}} \frac{d\tilde{\omega} d\tilde{k}}{(2\pi)^2} (k - \tilde{k}) \tilde{k} \hat{F}(k - \tilde{k}, \omega - \tilde{\omega}) \hat{F}(\tilde{k}, \tilde{\omega}) \\
&\quad + \hat{V}(k, \omega). \tag{2.17}
\end{aligned}$$

Wird  $\hat{V}(k, \omega)$  explizit aufgeschrieben, sieht man, dass das Zufallspotential nur Fourierkomponenten mit  $k = \pm 1$  enthält:

$$\begin{aligned}
\hat{V}(k, \omega) &= V \iint_{\mathbb{R}^2} d\varphi dl \cos(\varphi - \alpha(l)) e^{ik\varphi + i\omega l} \\
&= \frac{h_1(\omega)}{2} \int d\varphi \left( e^{i(k+1)\varphi} + e^{i(k-1)\varphi} \right) \\
&\quad + \frac{h_2(\omega)}{2i} \int d\varphi \left( e^{i(k+1)\varphi} - e^{i(k-1)\varphi} \right) \\
&= \pi \delta(k+1) (h_1(\omega) - ih_2(\omega)) \\
&\quad + \pi \delta(k-1) (h_1(\omega) + ih_2(\omega)) \tag{2.18}
\end{aligned}$$

dabei ist  $h_1(\omega) \equiv V \int dl \cos(\alpha(x)) e^{i\omega l}$  und  $h_2(\omega)$  analog mit  $\sin(\alpha)$  definiert.

Damit kann jetzt das Unordnungs-gemittelte Produkt  $\overline{\hat{V}(k', \omega') \hat{V}(k, \omega)}$  unter Ausnutzung von (2.8) berechnet werden:

$$\begin{aligned}
\overline{\hat{V}(k', \omega') \hat{V}(k, \omega)} &= 2\pi^2 \overline{h_1(\omega) h_1(\omega')} \delta(k+k') (\delta(k-1) + \delta(k+1)) \\
&= 2V^2 \pi^3 \delta(\omega + \omega') \delta(k+k') (\delta(k-1) + \delta(k+1)) \\
&\equiv 2\delta(\omega + \omega') \delta(k+k') D(k, \omega) \tag{2.19}
\end{aligned}$$

Nun führe ich folgende Bezeichnungen ein:

$$\nu \equiv \frac{T}{2\hbar v_F} \tag{2.20}$$

$$\mathcal{G}_0(k, \omega) \equiv \frac{1}{\nu k^2 - i\omega} \tag{2.21}$$

$$\mathcal{G}(k, \omega) \hat{V}(k, \omega) \equiv \hat{F}(k, \omega) \tag{2.22}$$

$$\epsilon \equiv \frac{1}{\hbar v_F} \tag{2.23}$$

$\nu$  ist im wesentlichen die inverse relativistische de Broglie-Wellenlänge eines Teilchens mit Geschwindigkeit  $v_F$ ,  $\mathcal{G}_0$  der ungestörte und  $\mathcal{G}$  der effektive Propagator.

Damit läßt sich Gl. (2.17) als eine selbstkonsistente Gleichung für  $\mathcal{G}(k, \omega)$  schreiben:

$$\begin{aligned}
\mathcal{G}(k, \omega) \hat{V}(k, \omega) &= \mathcal{G}_0(k, \omega) \hat{V}(k, \omega) - \frac{\epsilon}{2} \mathcal{G}_0(k, \omega) \iint_{\{|\tilde{\omega}| < \Omega\} \times \mathbb{R}} \frac{d\tilde{\omega} d\tilde{k}}{(2\pi)^2} (k - \tilde{k}) \tilde{k} \\
&\quad \times \hat{V}(k - \tilde{k}, \omega - \tilde{\omega}) \mathcal{G}(k - \tilde{k}, \omega - \tilde{\omega}) \hat{V}(\tilde{k}, \tilde{\omega}) \mathcal{G}(\tilde{k}, \tilde{\omega}) \tag{2.24}
\end{aligned}$$

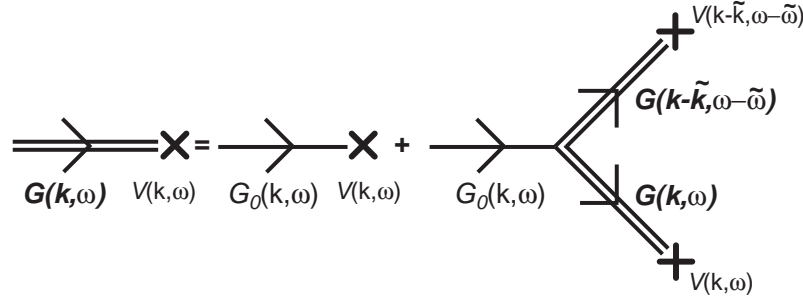


Abbildung 6: Diagrammatische Darstellung der selbstkonsistenten Gleichung für den effektiven Propagator (doppelte Linie). Der ungestörte Propagator ist durch eine einfache Linie und der Unordnungsterm durch ein  $\times$  gekennzeichnet.

Diagrammatisch ist diese Gleichung in Abb. 6 dargestellt. Nun führt man die Picard-Iteration einmal durch, ersetzt  $\mathcal{G}$  durch  $\mathcal{G}_0$  und erhält so einen Korrekturterm der niedrigsten, nicht verschwindenden Ordnung  $\epsilon^2$  (*one-loop-Näherung*), welcher in Abb. 7(a) dargestellt ist. Nach Mittelung über die Unordnung, unter Benutzung von (2.19), erhält man

$$\begin{aligned} \mathcal{G}(k, \omega) &= \mathcal{G}_0(k, \omega) + 4 \left(-\frac{\epsilon}{2}\right)^2 \mathcal{G}_0^2(k, \omega) \iint_{\{|\tilde{\omega}| < \Omega\} \times \mathbb{R}} \frac{d\tilde{\omega} d\tilde{k}}{(2\pi)^2} (k - \tilde{k}) \cdot \tilde{k} (-\tilde{k}) \cdot k \\ &\quad \times \mathcal{G}_0(k - \tilde{k}, \omega - \tilde{\omega}) \mathcal{G}_0(\tilde{k}, \tilde{\omega}) \mathcal{G}_0(-\tilde{k}, -\tilde{\omega}) 2D(\tilde{k}, \tilde{\omega}) + \mathcal{O}(\epsilon^4), \end{aligned} \quad (2.25)$$

siehe Abb. 7(b). Der rechte Vertex entspricht dem Faktor  $(k - \tilde{k}) \cdot \tilde{k}$ , der linke  $(-\tilde{k}) \cdot k$  und  $\bigcirc$  entspricht  $2D(k, \omega)$ .

Für  $\omega = 0$  kann das Integral auf der rechten Seite von (2.25) weiter vereinfacht werden und aufgrund der einfachen Struktur von  $D(\tilde{k}, \tilde{\omega})$  ist das  $\tilde{k}$ -Integral einfach zu berechnen <sup>2</sup>:

$$\begin{aligned} \mathcal{G}(k, 0) &= \mathcal{G}_0(k, \omega) \left[ 1 - \frac{V^2 \pi \epsilon^2 k}{2} \right. \\ &\quad \left. \int d\tilde{\omega} \left( \frac{k-1}{\nu(k-1)^2 + i\tilde{\omega}} + \frac{k+1}{\nu(k+1)^2 + i\tilde{\omega}} \right) \frac{1}{\nu^2 + \tilde{\omega}^2} \right] \end{aligned} \quad (2.26)$$

Um das  $\tilde{\omega}$ -Integral noch zu bestimmen, nutzt man aus, dass das physikalische Verhalten des Systems bei tiefen Temperaturen durch kleine  $k$  bestimmt wird und entwickelt den Integranden in (2.26) in eine Laurent-Reihe um  $k = 0$ . Als relevanter Term bleibt nur noch  $\frac{\nu - i\tilde{\omega}}{(\nu^2 + \tilde{\omega}^2)^2}$  zu integrieren. Für  $\Omega \rightarrow \infty$  erhält man daher schließlich:

$$\mathcal{G}(k, 0) = \mathcal{G}_0(k, \omega) \left( 1 - \frac{\epsilon^2}{2} V^2 k^2 \pi^2 \nu^{-2} \right) \quad (2.27)$$

<sup>2</sup>Hat  $D(k, \omega)$  eine kompliziertere  $k$ -Abhängigkeit, z.B.  $D \propto k^{-2\rho}$  (räumlich korrelierte Unordnung), kann der Korrekturterm divergieren. In diesem Fall muss der Einfluss der Unordnung schrittweise mit einer Renormierungsgruppen-Rechnung behandelt werden [M<sup>+</sup>89]. Führt man diese Rechnung im vorliegenden Fall durch, erhält man letztendlich dasselbe Ergebnis (2.27).

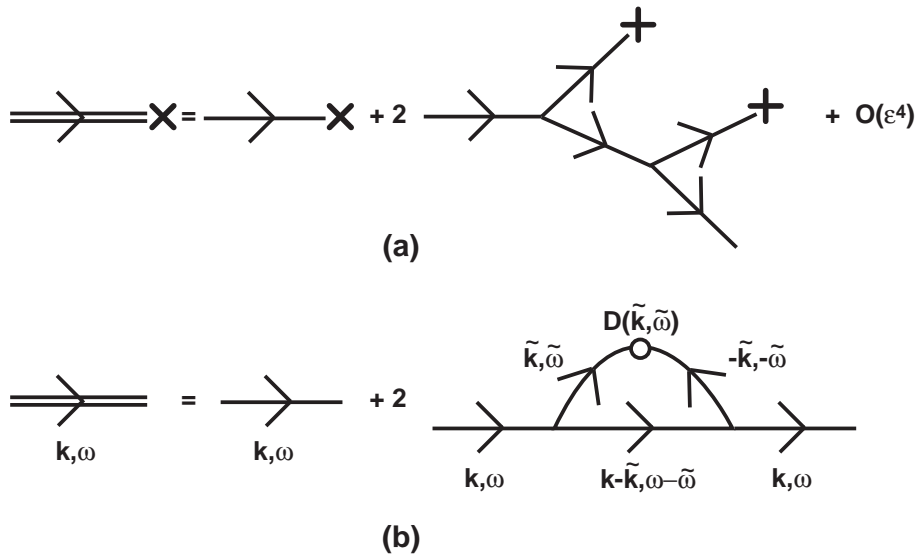


Abbildung 7: Propagator in *one-loop* Näherung vor (a) und nach (b) Mittelung über die Unordnung, wobei  $\bigcirc \hat{=} 2D(k, \omega)$ .

Vergleicht man die rechte Seite von (2.27) mit  $\mathcal{G}(k, 0) \equiv \frac{2v_F}{T_{eff}k^2} + \mathcal{O}(k^2)$ , findet man, dass die Temperatur oder besser die Diffusionskonstante  $2\hbar v_F/T$  aufgrund der Unordnung in niedrigster Ordnung durch

$$\frac{2\hbar v_F}{T} \left( 1 - 4\pi^2 \frac{\hbar v_F V^2}{T^3} \right), \tag{2.28}$$

ersetzt wird. Der Rauigkeitsexponent bleibt unverändert  $\zeta = 1/2$ .

Die durch Gl. (2.28) gegebene Abweichung der Temperaturabhängigkeit der Korrelationsfunktion vom ungestörten Fall, erfaßt aufgrund der *one-loop*- Näherung nur das Verhalten für höhere Temperaturen  $T > (4\pi^2)^{1/3}T^*$  bzw. kleine Korrekturen zur Diffusionskonstante. Daher liefert diese Näherung für große Temperaturen wieder das einfache lineare Verhalten, aber auch eine Erhöhung der effektiven Temperatur, aufgrund der Unordnung. In Abb. 8 ist die Temperaturabhängigkeit der Korrelationsfunktionen dargestellt.

Dass die Paarkorrelationsfunktion bei  $T = 0$  mit Unordnung bei endlichen Abständen ( $y > 0$ ) nicht null ist, ist klar, da die Phase an den Positionen der Verunreinigungen auf einen Wert fixiert wird, und somit die perfekte Ladungsordnung zerstört wird und damit auch die langreichweitige Ordnung.

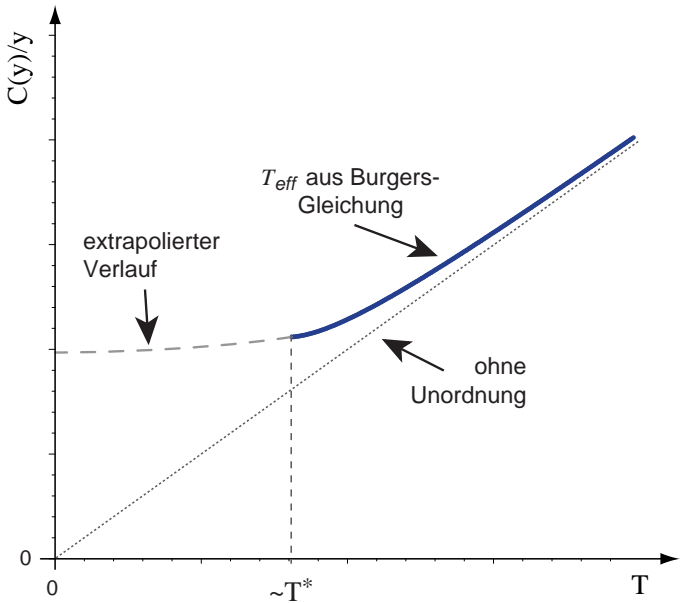


Abbildung 8: Temperaturabhängigkeit der Korrelationsfunktion im ungestörten Fall (punktiert) und in *one-loop*-Näherung (durchgezogen). Gestrichelt ist das Verhalten für tiefe Temperaturen im Unordnungsfall extrapoliert dargestellt.

### 2.2.2 Starkes Pinning

Für starke Unordnung ( $V_i \rho_i \gg \hbar v_F c_{imp}$ ) geht man zweckmäßigerweise zu einem effektiven, diskreten Modell über, indem man das Phasenfeld  $\varphi(x)$  jeweils zwischen den Orten der Verunreinigungen in der Zustandssumme  $\int \mathcal{D}\varphi e^{-\mathcal{H}_{klass}/T}$  ausintegriert ( $L_c$  ist jetzt nicht mehr groß gegenüber  $c_{imp}^{-1}$ ) [Fei80]; hier exemplarisch zwischen  $\varphi_i = \varphi(x_i)$  und  $\varphi_{i+1}$  ( $\epsilon = (x_{i+1} - x_i)/M$ ):

$$\begin{aligned}
& \int_{\varphi=\varphi_i}^{\varphi=\varphi_{i+1}} \mathcal{D}\varphi e^{-\frac{\hbar v_F}{4\pi T} \int_{x_i}^{x_{i+1}} dx (\partial_x \varphi)^2} \\
&= \lim_{M \rightarrow \infty} \int_{\mathbb{R}^M} \frac{1}{\mathcal{N}} \prod_{k=1}^{M-1} d\varphi_{i,k} e^{-\frac{\hbar v_F}{4\pi T} \sum_{k=1}^{M-1} \epsilon \left( \frac{\varphi_{i,k+1} - \varphi_{i,k-1}}{2\epsilon} \right)^2} \\
&= \lim_{M \rightarrow \infty} \int_{\mathbb{R}^M} \frac{d\tilde{\varphi}_i}{\mathcal{N}} e^{-\frac{\hbar v_F}{2\pi 8T\epsilon} (\tilde{\varphi}_i^T \tilde{\mathbf{A}}_i \tilde{\varphi}_i + \varphi_{i,0}^2 + \varphi_{i,M}^2 - 2(\varphi_{i,0}\varphi_{i,2} + \varphi_{i,M-2}\varphi_{i,M}))} \quad (2.29)
\end{aligned}$$

Dabei wurden folgende Bezeichnungen eingeführt:

- $\varphi_{i,k} \equiv \varphi(x_i + k\epsilon)$
- $\tilde{\varphi}_i^T \equiv (\varphi_{i,1}, \dots, \varphi_{i,M-1})$

$$\bullet \tilde{\mathbf{A}}_i \equiv \begin{pmatrix} 2 & 0 & -1 & 0 & \dots & 0 \\ 0 & 2 & 0 & -1 & \ddots & \vdots \\ -1 & 0 & 2 & \ddots & \ddots & 0 \\ 0 & -1 & \ddots & \ddots & 0 & -1 \\ \vdots & \ddots & \ddots & 0 & 2 & 0 \\ 0 & \dots & 0 & -1 & 0 & 2 \end{pmatrix} \in \mathcal{M}_{M-1}(\mathbb{R})$$

Das  $M$ -dimensionale Gaußintegral kann leicht berechnet werden (siehe (A.2.8)) und man erhält:

$$\int_{\varphi=\varphi_i}^{\varphi=\varphi_{i+1}} \mathcal{D}\varphi e^{-\frac{\hbar v_F}{4\pi T} \int_{x_i}^{x_{i+1}} dx (\partial_x \varphi)^2} = R e^{-\frac{\hbar v_F}{4\pi T} \frac{(\varphi_{i+1} - \varphi_i)^2}{x_{i+1} - x_i}} \quad (2.30)$$

mit einer Konstanten  $R$ .

Daher hat der effektive Hamiltonian die Form

$$\mathcal{H}_{eff} = \sum_{i=1}^N \left\{ \frac{\hbar v_F}{4\pi} \frac{(\varphi_i - \varphi_{i+1})^2}{x_i - x_{i+1}} - V_i \rho_1 \cos(\varphi_i + Qx_i) \right\}. \quad (2.31)$$

Da wir das Verhalten bei tiefen Temperaturen untersuchen wollen, nehmen wir weiter an, dass  $V_i \gg T$ .  $\varphi_i$  wird, um die Energie zu minimieren, nur Werte annehmen, für die gilt:  $\varphi_i + Qx_i = 2\pi n_i$  mit  $n_i \in \mathbb{Z}$ . Nun setze ich  $n_{i+1} - n_i = h_i + \left[ \frac{Q}{2\pi c_{imp}} \right]$  und  $x_{i+1} - x_i = \frac{1}{c_{imp}} + \epsilon_i$ , wobei für die  $x_i$  gilt:  $0 \leq x_1 \leq x_2 \leq \dots \leq x_{N+1} \leq L$  ( $L$  war die Systemlänge). ( $[x] = k$  ist die

Gaußklammerfunktion, welche ein  $k \in \mathbb{Z}$  liefert, so daß  $|[x] - k|$  minimal wird, insbesondere  $\leq 1/2$ .) Der effektive Hamiltonian lautet damit

$$\mathcal{H}_{\text{eff}} = \frac{\hbar v_F}{4\pi} \sum_{i=1}^N \frac{4\pi^2 \left( h_i - \frac{Q\epsilon_i}{2\pi} - \gamma \right)^2}{\frac{1}{c_{\text{imp}}} + \epsilon_i}, \quad (2.32)$$

wobei  $\gamma = \frac{Q}{2\pi c_{\text{imp}}} - \left[ \frac{Q}{2\pi c_{\text{imp}}} \right]$ , so daß  $|\gamma| \leq \frac{1}{2}$  ist.

Außerdem kann man schreiben:

$$\begin{aligned} (\varphi_n - \varphi_1)^2 &= \left( (2\pi n_n - Qx_n) + \sum_{i=2}^{n-1} (\varphi_i - \varphi_i) - (2\pi n_1 - Qx_1) \right)^2 \\ &= 4\pi^2 \left( \sum_{i=1}^{n-1} \left( h_i + \left[ \frac{Q}{2\pi c_{\text{imp}}} \right] \right) - \frac{Q}{2\pi} \sum_{i=1}^{n-1} \left( \epsilon_i + \frac{1}{c_{\text{imp}}} \right) \right)^2 \\ &= 4\pi^2 \left( \sum_{i=1}^{n-1} \left( h_i - \frac{Q\epsilon_i}{2\pi} - \gamma \right) \right)^2 \end{aligned} \quad (2.33)$$

Im folgenden ist es nötig, die Statistik geordneter System zu benutzen - hier genauer gesagt die Statistik der Abstände der Verunreinigungen  $\epsilon_i + c_{\text{imp}}^{-1}$ . In Anhang A.6 ist die Herleitung der Verteilungsfunktion der Abstände allgemein dargestellt (Grundlage ist das Buch von David [Dav70]). Sind die Positionen  $x_i$  der Impurities gleichwahrscheinlich zwischen 0 und  $L$  verteilt, erhält man die *Wahrscheinlichkeitsdichtefunktion* (pdf) oder kurz Verteilungsfunktion der  $\epsilon_i$ ,  $p(\epsilon_i)$ :

$$p(\epsilon_i) = c_{\text{imp}} \left( 1 - \frac{1}{L} \left( \epsilon_i + \frac{1}{c_{\text{imp}}} \right) \right)^{N-1} \quad (2.34)$$

mit  $-\frac{1}{c_{\text{imp}}} \leq \epsilon_i \leq L - \frac{1}{c_{\text{imp}}}$  (siehe Def. von  $\epsilon_i$ ). Im thermodynamischen Limes kann diese pdf gut durch

$$p(\epsilon_i) \approx \frac{c_{\text{imp}}}{e} e^{-c_{\text{imp}}\epsilon_i}, \quad -\frac{1}{c_{\text{imp}}} \leq \epsilon_i < \infty \quad (2.35)$$

genähert werden.

Damit können die  $n$ -ten Momente  $\overline{\epsilon_i^n}$  für  $n \geq 1$  berechnet werden:

$$\begin{aligned} \overline{\epsilon_i^n} &= \int_{-\frac{1}{c}}^{\infty} \frac{c}{e} e^{-c\epsilon_i} \epsilon_i^n d\epsilon_i \\ &= \frac{c}{e} (-1)^n \frac{\partial^n}{\partial \lambda^n} \Big|_{\lambda=c} \int_{-\frac{1}{c}}^{\infty} e^{-\lambda\epsilon_i} d\epsilon_i \\ &= \frac{c}{e} (-1)^n \frac{\partial^n}{\partial \lambda^n} \Big|_{\lambda=c} \frac{e^{\lambda/c}}{\lambda} \end{aligned} \quad (2.36)$$

Substituiert man  $x = \lambda/c$  und benutzt (A.2.1), erhält man

$$\overline{\epsilon_i^n} = \frac{n!}{c_{\text{imp}}^n} \sum_{k=2}^n \frac{(-1)^k}{k!} \quad (2.37)$$

für  $n > 1$ ,  $\overline{\epsilon_i} = 0$  und für den Korrelator  $\overline{\epsilon_i \epsilon_j} = \frac{1}{c_{\text{imp}}^2} \delta_{ij}$ .

Nutzt man aus, dass  $\overline{h_i} = 0$  und  $\overline{h_i h_j} \propto \delta_{ij}$ , folgt für die Korrelationsfunktion mit (2.33):

$$\overline{\langle (\varphi_n - \varphi_1)^2 \rangle} = 4\pi^2 \overline{\left\langle \left( h_i - \frac{Q\epsilon_i}{2\pi} - \gamma \right)^2 \right\rangle} \cdot n. \quad (2.38)$$

Bei niedrigen Temperaturen  $T \ll \hbar v_F c_{imp}$ , nimmt  $(h_i - \frac{Q\epsilon_i}{2\pi} - \gamma)$  den minimalen Wert an, was genau der Fall ist, wenn  $h_i = \left[ \frac{Q\epsilon_i}{2\pi} + \gamma \right]$ , also

$$\begin{aligned} \underbrace{\overline{\left\langle \left( h_i - \frac{Q\epsilon_i}{2\pi} - \gamma \right)^2 \right\rangle}}_{\equiv Cf} &= \overline{\left( \frac{Q\epsilon_i}{2\pi} + \gamma - \left[ \frac{Q\epsilon_i}{2\pi} + \gamma \right] \right)^2} \\ &= \int_{-1/c_{imp}}^{\infty} d\epsilon_i \frac{c_{imp}}{e} e^{-c_{imp}\epsilon_i} \left( \frac{Q\epsilon_i}{2\pi} + \gamma - \left[ \frac{Q\epsilon_i}{2\pi} + \gamma \right] \right)^2 \end{aligned} \quad (2.39)$$

Da  $Q \gg c_{imp}$  können wir den **kleinen Parameter**  $\alpha = \frac{\pi c_{imp}}{Q}$  einführen. Unter Beachtung dass  $[x+n] = [x] + n$  für  $n \in \mathbb{Z}$  und der Substitution  $x = c_{imp}\epsilon_i + 1$  läßt sich  $Cf$  vereinfachen zu

$$Cf = \int_0^{\infty} dx e^{-x} \left( \frac{x}{2\alpha} - \left[ \frac{x}{2\alpha} \right] \right)^2. \quad (2.40)$$

Dieses Integral läßt sich exakt berechnen (siehe Anhang A.5) und man erhält folgenden Ausdruck:

$$\begin{aligned} \overline{\left\langle \left( h_i - \frac{Q\epsilon_i}{2\pi} - \gamma \right)^2 \right\rangle} &= \frac{1}{2\alpha^2} - \frac{1}{2\alpha \sinh(\alpha)} \\ &= \frac{1}{12} - \frac{7}{720}\alpha^2 + \mathcal{O}(\alpha^4) \end{aligned} \quad (2.41)$$

wobei  $(\sinh \alpha)^{-1}$  im letzten Schritt für kleine  $\alpha$  entwickelt wurde (Reihe für  $\operatorname{csch}$  ist in (A.2.2) aufgeschrieben).

Zu bemerken ist, dass man unter der Annahme, dass  $\frac{Q\epsilon_i}{2\pi} + \gamma - \left[ \frac{Q\epsilon_i}{2\pi} + \gamma \right]$  im Intervall  $[-1/2, 1/2]$  gleichwahrscheinlich verteilt ist, das einfache Resultat  $Cf = \int_{-1/2}^{1/2} dx x^2 = \frac{1}{12}$  bekommen würde.

Bei hohen Temperaturen  $T \gg \hbar v_F c_{imp}$  kann man vernachlässigen, dass  $h_i$  eine diskrete Variable ist, und erhält in diesem Fall  $\overline{\langle (2\pi h_i - Q\epsilon_i)^2 \rangle} = \frac{T}{c_{imp} \hbar v_F}$ .

Eine sinnvolle Interpolationsformel dieser beiden Ergebnisse ist durch

$$\overline{\langle (\varphi(x) - \varphi(0))^2 \rangle} \approx \left( \frac{\pi^2}{3} c_{imp} - \frac{7\pi^4}{180} \frac{c_{imp}^3}{Q^2} + \frac{T}{\hbar v_F} \right) |x| \quad (2.42)$$

gegeben. Vergleicht man dies mit (2.14) sieht man, dass auch hier der Rauigkeitsexponent unverändert  $\zeta = 1/2$  ist.

### 2.2.3 numerische Untersuchungen

Um das Resultat (2.14) für schwache Unordnung numerisch zu überprüfen, wurde ein *Monte-Carlo* Algorithmus verwendet. Ausgangspunkt war die diskrete Version des Hamiltonians (2.11) mit  $\tilde{g}(y) = 0$ , d.h. nicht renormiert, mit welchem die Paarkorrelationsfunktion berechnet wurde.

*Bemerkung zum Algorithmus:* Für die Phase wurden freie Randbedingungen benutzt und das Erreichen des thermischen Gleichgewichtes wurde überprüft, indem die Daten von Programmdurchläufen mit mindestens dreimal längerer Equilibrierungszeit verglichen wurden. Für den Mittelungsprozess wurde die erste Hälfte der Monte-Carlo-Schritte nicht berücksichtigt.

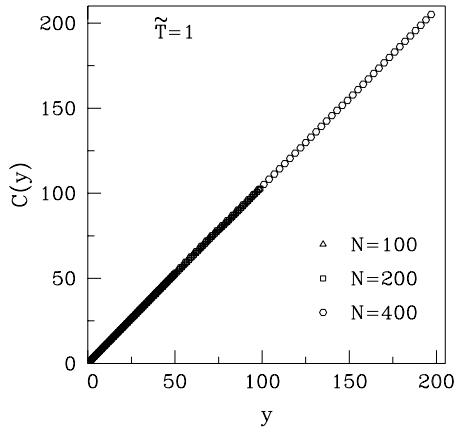


Abbildung 9: Die Abstandsabhängigkeit der Korrelationsfunktion  $C(y)$  für verschiedene Systemgrößen:  $N = 100, 200$  und  $400$ ;  $\tilde{T} = 1$ . Die Daten sind über 50–200 Unordnungskonfigurationen gemittelt.

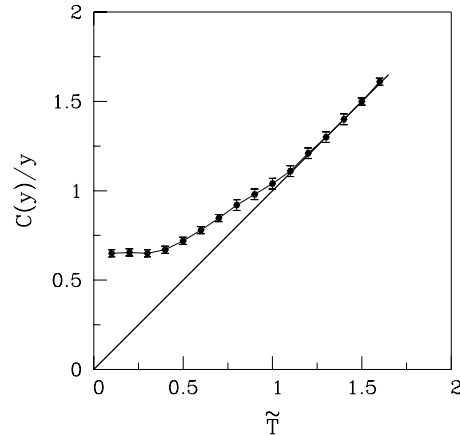


Abbildung 10: Die Temperaturabhängigkeit der Funktion  $C(y)/y$  - auch über 50–200 Unordnungskonfigurationen gemittelt. Die Gerade zeigt die Temperaturabhängigkeit der Korrelationsfunktion ohne Unordnung.

Abb. 9 zeigt die Korrelationsfunktion  $C(y)$  als Funktion des Abstandes  $y$  bei fixierter Temperatur für verschiedene Systemgrößen. Wie man sieht, hat man für alle Systemgrößen eine lineare Abhängigkeit vom Abstand  $y$  und bestätigt somit den Rauigkeitsexponenten  $\zeta = 1/2$ . In Abb. 10 ist die (interessantere) Temperaturabhängigkeit der Paarkorrelationsfunktion abgebildet. Die Berechnung wurde mit einem System der Größe  $N = 200$  durchgeführt. Für  $y \rightarrow 0$  sieht man, dass  $C(y)/y$  gegen einen Wert  $\mathcal{O}(1)$ , genauer gegen  $\tilde{\sigma} \approx 0.65$ , geht, was wiederum das Ergebnis (2.14) plausibel erscheinen läßt. Außerdem sieht man, dass für  $\tilde{T} \lesssim 0.3$  die Unordnung dominiert und die Korrelationsfunktion temperaturunabhängig wird, wo hingegen für  $\tilde{T} \gtrsim 1.3$  die Unordnung irrelevant wird (siehe auch Abschnitt 4.7).

### 2.3 Dynamik

In diesem Abschnitt wird das CDW-System im Fall eines externen elektrischen Feldes untersucht. Insbesondere wird das Kriechverhalten bei endlichen Temperaturen betrachtet.

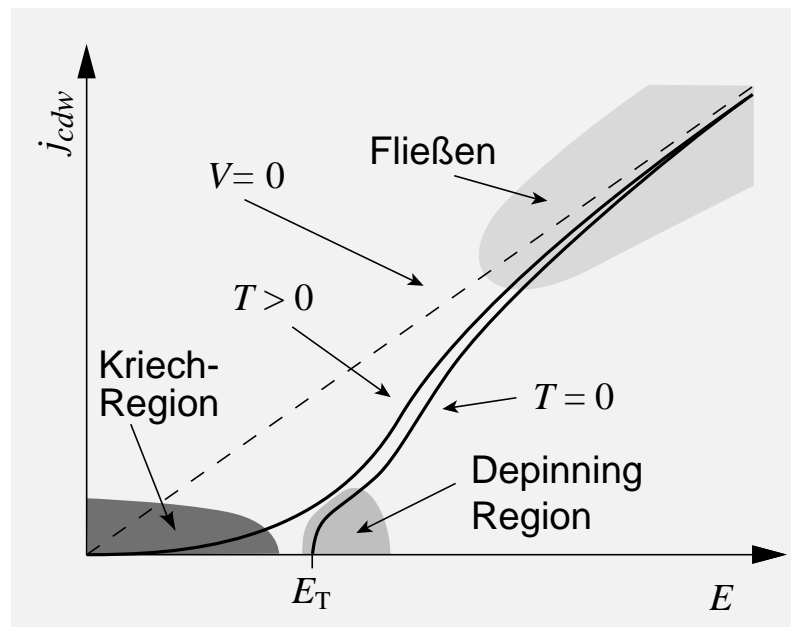


Abbildung 11: "dynamische Regionen" der kollektiven CDW-Geschwindigkeit bzw. des CDW-Stroms: Depinning Region bei  $T = 0$ , Kriech-Region für  $T^* > T > 0$  und Fließ-Regime für  $E \gg E_T$ .

Wie schon früher gesehen, erzeugt die Unordnung auf Längenskalen  $\geq L_c$  Energiebarrieren der Höhe  $T^*$ . Bei  $T = 0$  und ohne externes Feld bleibt das Phasenfeld an den Verunreinigungen gepinnt. Legt man nun ein elektrisches Feld an das System an, bleibt dieser Zustand auch bis zu einem kritischen Schwellenwert des elektrischen Feldes  $E_T$ , welches durch die Barrierenhöhe vorgegeben ist, (bei  $T = 0$ !) erhalten. Wird die Feldstärke weiter erhöht, können die Barrieren überwunden werden, sodass das Phasenfeld eine endliche mittlere Geschwindigkeit hat, d.h. ein Strom fließt (*Depinning Übergang*, siehe Abschnitt 2.3.2). In Abb. 12 ist dies vereinfacht am Beispiel eines Teilchens veranschaulicht.

Bei endlichen Temperaturen, insbesondere im Bereich  $0 < T \lesssim T^*$ , wird man für  $E > 0$  immer einen Strom messen, da die thermischen Fluktuation der Ladungsdichtewelle erlauben die Barrieren zu überwinden (*Kriech-Bewegung*, siehe Abschnitt 2.3.3). In Abb. 11 sind die Regionen der möglichen dynamische Prozesse dargestellt.

Für weitere Untersuchungen wird der Beitrag des externen Feldes zum Hamiltonian benötigt: Das elektrische Feld koppelt an den langsam variierenden Teil der Ladungsdichte  $\propto \partial_x \varphi$ . Der

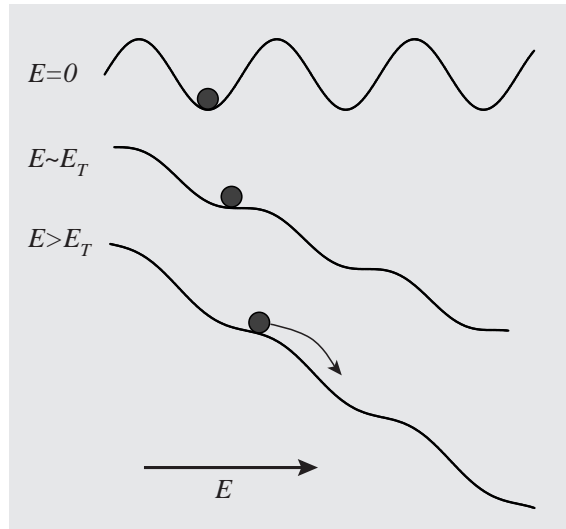


Abbildung 12: Energielandschaft bei  $T = 0$  für ein Teilchen bei verschiedenen Werten von  $E$ .

entsprechende Hamiltonian hat die Form <sup>3</sup>:

$$\mathcal{H}_{\text{ext}} = - \int dx E x \partial_x \varphi(x) = \text{const.} + \int dx E \varphi(x) \quad (2.43)$$

Im nächsten Abschnitt wird die Bewegungsgleichung hergeleitet, welche Ausgangspunkt für die numerischen Untersuchungen ist.

### 2.3.1 Bewegungsgleichung und Kriechgesetz

Als Ansatz für die Bewegungsgleichung benutzen wir eine *Langevin-Gleichung*, gegeben durch

$$\frac{\partial \varphi}{\partial t} = -\gamma \frac{\delta \mathcal{H}}{\delta \varphi} + \eta(x, t), \quad (2.44)$$

wobei  $\gamma$  ein kinetischer Koeffizient und  $\eta(x, t)$  ein gaußverteilter thermischer Rauschterm mit

$$\begin{aligned} \langle \eta \rangle &= 0 \quad \text{und} \\ \langle \eta(x, t) \eta(x', t') \rangle &= 2T\gamma \delta(x - x') \delta(t - t') \end{aligned} \quad (2.45)$$

ist.

In Gleichung (2.44) ist  $\mathcal{H}$  der volle Hamiltonian inklusive  $\mathcal{H}_{\text{ext}}$ .

Führt man zusätzlich zu (2.11) noch folgende Reskalierung der Zeit  $t$  ein

$$\tau = \gamma \frac{T^*}{L_c} t, \quad (2.46)$$

<sup>3</sup>Bisher war die Wahl des Hilbertraumes bzw. welche Werte  $\varphi$  annehmen konnte nicht festgelegt, d.h. man konnte  $\varphi$  als Winkelvariable  $\in [0, 2\pi]$  oder  $\varphi \in \mathbb{R}$  wählen. In Anwesenheit eines elektrischen Feldes ist der Hamiltonian allerdings nicht mehr invariant unter der Transformation  $\varphi \rightarrow \varphi + 2n\pi$ , daher muß  $\varphi$  alle Werte annehmen können (siehe [SZ88]).

erhält man folgende reskalierte (überdämpfte) Bewegungsgleichung

$$\frac{\partial \tilde{\varphi}(y, \tau)}{\partial \tau} = \Delta \tilde{\varphi}(y, \tau) + \sin(\tilde{\varphi}(y, \tau) - \tilde{\alpha}(y)) + \tilde{E} + \tilde{\eta}(y, \tau). \quad (2.47)$$

Diese Gleichung enthält als einzige Parameter  $\tilde{T} = T/T^*$  und  $\tilde{E} = E/E^*$ , wobei  $E^* = T^*/L_c$  ( $E^*$  ist von der Ordnung des  $T = 0$  Depinning-Schwellenfeldes  $E_T$ ).

Zur numerischen Untersuchung dieser Gleichung wird eine diskretisierte Version der Bewegungsgleichung (2.47) benötigt:

$$\begin{aligned} \frac{\Delta \tilde{\varphi}_i}{\Delta \tau} = & (\tilde{\varphi}_{i+1} - 2\tilde{\varphi}_i + \tilde{\varphi}_{i-1}) \\ & + \sin(\tilde{\varphi}_i - \tilde{\alpha}_i) + \tilde{E} + \tilde{\eta}(i, \tau), \quad i = 1 \dots N \end{aligned} \quad (2.48)$$

Der erste Term ist der eindimensionale *Gitter-Laplaceoperator* und  $\tilde{\alpha}_i$  ist eine Zufallsphase, welche im Intervall  $[0, 2\pi[$  gleichwahrscheinlich verteilt ist. Der letzte Term  $\tilde{\eta}(i, \tau)$ , das thermische Rauschen, ist durch (2.45) definiert.

Die mittlere kollektive Kriechgeschwindigkeit ist durch  $v(\tilde{E}, \tilde{T}) = \left\langle \tilde{L}^{-1} \int dy \partial_\tau \tilde{\varphi}(y, \tau) \right\rangle_\tau$  gegeben [Grü94], bzw. in diskreter Version:

$$v(\tilde{E}, \tilde{T}) = \left\langle \frac{1}{N} \sum_{i=1}^N \frac{\Delta \tilde{\varphi}_i}{\Delta \tau} \right\rangle_\tau. \quad (2.49)$$

Zu bemerken ist, dass die Kriechgeschwindigkeit proportional zum CDW-Strom  $j_{cdw}$  ist.

Die Bewegungsgleichung wurde numerisch mit einem speziellen *Runge-Kutta* Algorithmus, welcher für stochastische System geeignet ist [GH81], integriert, wobei periodische Randbedingungen benutzt wurden. Der Hauptteil des benutzten C-Programms ist in Anhang A.7 zu finden.

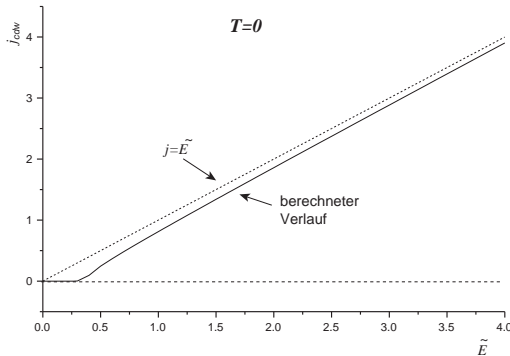


Abbildung 13: Stromverlauf für große  $E$  mit und ohne Unordnung bei  $T = 0$ .

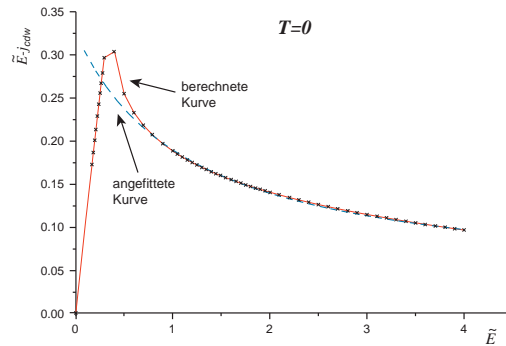


Abbildung 14: Differenz der Ströme aus Abb. 13. Eine Funktion  $\propto \tilde{E}^{-1}$  ist angepasst worden (gestrichelte Linie).

Für Temperaturen  $\tilde{T} \gg 1$  sind die Energiebarrieren nicht mehr relevant, d.h. die "Energielandschaft" ist flach, und die Ladungsdichtewelle führt gemäß  $\dot{\varphi} \approx \gamma E$  eine gedämpfte Bewegung aus. Dasselbe gilt natürlich auch für  $\tilde{E} \gg 1$ . In Abb. 13 ist der Verlauf der Geschwindigkeit mit dem angelegten Feld für hohe Felder mit und ohne Unordnung aufgetragen

(bei  $T = 0$ ). In Abb. 14 ist die Differenz dieser beiden Kurven aufgetragen und für große  $\tilde{E}$  mit einer Funktion  $\propto \tilde{E}^{-1}$  angefügt, d.h.  $v$  nähert sich mit  $1/\tilde{E}$  dem Verlauf ohne Unordnung bzw. bei hohen Temperaturen, was von S. Scheidl und V.M. Vinokur gezeigt wurde [SV98]. Im umgekehrten Fall  $T \ll T^*$  ändern sich die Energiebarrieren auf der Skala  $L > L_c$  um Beträge von der Größenordnung  $E$ . Wenn man von (2.43) ausgeht, sieht man, dass aufgrund des externen Feldes die Energiebarrieren (2.5) einen zusätzlichen Term proportional zu

$$EL \langle \varphi^2 \rangle^{1/2} \sim EL \left( \frac{L}{L_c} \right)^{1/2} \quad (2.50)$$

erhalten. Hierbei wurde benutzt, dass  $\sigma \in \mathcal{O}(L_c^{-1})$  und der Rauigkeitsexponent  $\zeta = 1/2$  ist. Die Energiebarrieren  $E_B^\pm$  haben infolgedessen die Form:

$$E_B^\pm(L) \approx c_B T^* \mp c_E E \left( \frac{L}{L_c} \right)^{1/2} L, \quad (2.51)$$

wobei  $\pm$  sich jeweils auf die Bewegung parallel und entgegengesetzt dem angelegten Feld bezieht und  $c_B$  und  $c_E$  Konstanten von der Ordnung 1 sind. Ohne externes Feld sind die Barrieren  $E_B^\pm$ , wie schon gesehen, von der Ordnung  $T^*$ .

Da für  $L \approx L_c$  die Barrieren (parallel zum Feld) maximal werden, kann mit Hilfe des *Arrhenius* Gesetzes folgender Ausdruck für die Kriechgeschwindigkeit aufgeschrieben werden:

$$\begin{aligned} v(E, T) &\approx \frac{\gamma}{2} \frac{T}{L_c} \left( e^{-E_B^+/T} - e^{-E_B^-/T} \right) \\ &= \gamma \frac{T}{L_c} e^{-c_B(T^*/T)} \sinh \left( \frac{c_E E L_c}{T} \right), \end{aligned} \quad (2.52)$$

d.h.  $v(E, T)$  ist im wesentlichen die Differenz zwischen den Wahrscheinlichkeiten für eine Bewegung parallel bzw. antiparallel zum Feld. Der Vorfaktor in (2.52) wurde so gewählt, dass man für  $T \gg (T^* + |E|L_c)$  das lineare Verhalten  $v(\tilde{E}) \approx \gamma \tilde{E}$  erhält.

Man hat in einer Dimension demnach ein *Kim–Anderson* Verhalten. Dieses analytische *Kriechgesetz* ist völlig verschieden von dem nicht-analytischen in  $d > 2$  [Nat90]:

$$v(E) \propto \exp \left( -\frac{T_\xi}{T} \left( \frac{E_\xi}{E} \right)^\mu \right), \quad \mu = \frac{d-2}{2} \quad (2.53)$$

( $T_\xi$  und  $E_\xi$  sind Parameter, die von der effektiven Barrierenhöhe und der typischen Längenskala des Problems abhängen.) In  $d = 2$  folgt die Kriechgeschwindigkeit einem Potenz-Gesetz [TS92]. In den nächsten zwei Abschnitten werden die Ergebnisse der numerischen Untersuchung behandelt.

### 2.3.2 Depinning bei $T = 0$

Zur Überprüfung des Algorithmus wurde zunächst der Depinning-Übergang bei  $T = 0$  untersucht. Für den Schwellenwert des externen Feldes wurde ein Wert von  $\tilde{E}_T \approx 0.22$  gefunden ( $E^*$  ist tatsächlich von der Größenordnung  $E_T$ ). Der kritische Exponent  $\xi$ , definiert durch  $v(E) \propto \Theta(\tilde{E} - \tilde{E}_T)(\tilde{E} - \tilde{E}_T)^\xi$  (im kritischen Bereich), wurde durch eine

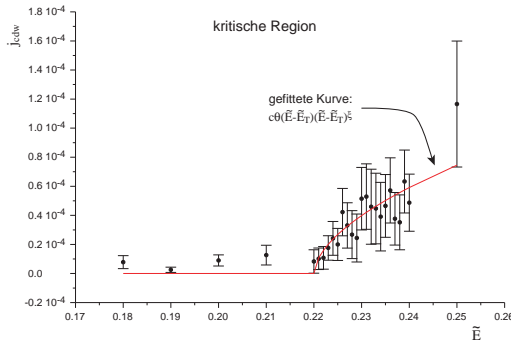


Abbildung 15: Depinning Bereich. Die durchgezogene Linie wurde mit dem in der doppelt-logarithmischen Auftragung ermittelten Wert für  $\xi$  erstellt.

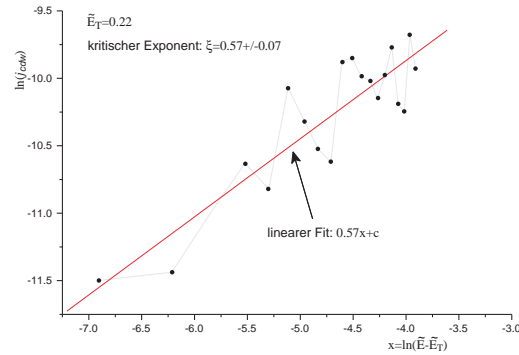


Abbildung 16: doppelt-logarithmische Auftragung des Depinning Bereiches mit angepasster Gerade.

Geradenanpassung in der doppelt-logarithmischen Auftragung ermittelt und hat den Wert  $\xi = 0.57 \pm 0.07$ . Dieser Wert stimmt mit dem in anderen Arbeiten von u.a. Sibani und Littelwood [SL90] oder auch Myers und Sethna [MS93] ermittelten gut überein. In Abb. 15 und 16 sind die ermittelten Kurven aufgetragen.

### 2.3.3 Kriechen

In diesem Abschnitt werden wir die CDW-Geschwindigkeit bei endlichen Temperaturen untersuchen und Gleichung (2.52) für die Kriechgeschwindigkeit überprüfen.

Für die Simulation des Kriechverhaltens wurde eine Simulationszeit von  $1000\tau_0$  und  $\Delta\tau = 0.05\tau_0$  benutzt. Dreimal länger Zeiten haben das Resultat im wesentlichen nicht verändert. Um (2.52) nachzuweisen und die Parameter  $c_E$  und  $c_B$  zu bestimmen, wurde zunächst  $\tilde{T}$  festgehalten und  $\tilde{E}$  variiert. In diesem Fall wurde eine Systemgröße von  $N = 5000$  benutzt und über 50 Unordnungsconfigurationen  $\{\tilde{\alpha}_i; i = 1 \dots N\}$  gemittelt. Das Resultat war wiederum stabil gegenüber größeren Systemenlängen. In Abb. 17 sind die Resultate dargestellt. Die gute Anpassung an eine Gerade unterstützt, dass durch (2.52) die Abhängigkeit vom externen Feld richtig erfaßt wird. Um den Wert von  $c_E$  zu erhalten, wurde ein *iteratives Minimal-Quadrat*-Verfahren verwendet und damit  $c_E = 2.5 \pm 0.2$  ermittelt. Damit wird auch die erwartete Größenordnung dieser Konstante als richtig bestätigt. Um den berechneten Stromverlauf mit Experimenten von S. Zaitsev-Zotov zu vergleichen, trägt man die Daten doppelt-logarithmisch auf (Abb. 19) und vergleicht dies mit dem in Fig. 1 in [ZZ93] dargestellten gemessenen Verlauf (Die Experimente wurden mit TaS<sub>3</sub> durchgeführt). Wie man sieht, stimmt das Verhalten qualitativ gut überein, insbesondere im Gültigkeitsbereich von (2.52) ( $\tilde{T} < 1$ ,  $\tilde{E} < 1$  bzw. im Experiment  $T \lesssim 20K$ ,  $E \lesssim 100V/cm$ ). In Abb. 19 wurden auch Kurven für den Übergangsbereich  $\tilde{T} \gtrsim 1$  vom Kriechverhalten zum Fließen eingezeichnet, welche im Experiment für Temperaturen  $T \gtrsim 20K$  zu finden sind. Außerdem sieht man, wenn man den Stromverlauf mit Fig. 3 in [ZZ93] vergleicht (und beachtet, dass  $\tilde{E} = 1$  in etwa  $E = 100V/cm$  entspricht), dass (2.52) das Kriechverhalten sehr viel besser erfaßt, insbesondere für kleine  $\tilde{E}$ ,

als das dort vorgeschlagene  $\propto e^{-E_0/E}$ -Verhalten für sehr kleine  $E$  (siehe Abb. 21 bzw. inset in Fig. 3 in [ZZ93]) oder das  $\propto e^{-c/(E^2T)}$ -Verhalten für größere  $E$  (siehe Abb. 20 bzw. Fig. 3 in [ZZ93]).

Um  $c_B$  zu bestimmen, wurde diesmal die Temperaturabhängigkeit von  $v(\tilde{E}, \tilde{T})$  für fixiertes  $\tilde{E}$  untersucht. Da hier eine Reduktion der Fehlerbalken sehr schwer zu erreichen war, wurde diesmal eine Systemgröße von  $N = 2000$  gewählt und über mindestens 500 Unordnungsconfigurationen gemittelt. Die Resultate sind in Abb. 18 zu sehen. Mit dem ermittelten Wert für  $c_E$ , wurde die Funktion  $\tilde{v}(x) = \gamma e^{-c_B x} \sinh(Bx)$  mit  $x = 1/\tilde{T}$  und  $B = c_E \tilde{E}$  an die berechneten Werte angefügt und damit  $c_B = 0.35 \pm 0.10$  gefunden.

Insgesamt wird das durch (2.52) bestimmte Kriechverhalten gut durch die numerischen Simulationen gestützt.

An Abb. 18 ist auch zu erkennen, dass der Strom  $j_{cdw}$  für tiefe Temperaturen bei fixiertem  $\tilde{E}$  saturiert. Dies stimmt mit dem in Experimenten gemessenen Verhalten [ZZ93, ZZ94] überein (siehe z.B. Abb. 2 in [ZZ93]).

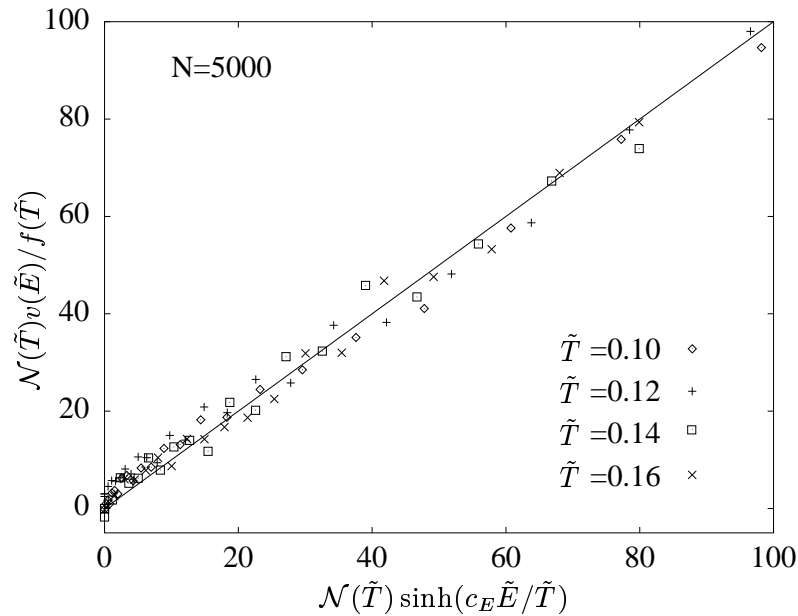


Abbildung 17: Anhängigkeit der Kriechgeschwindigkeit vom externen Feld bei fixierter Temperatur  $\tilde{T}$ .  $f(\tilde{T}) = \gamma \frac{T}{I_c} e^{-\frac{c_B}{\tilde{T}}}$  und  $\mathcal{N}(\tilde{T})$  ist eine Skalierungs-Funktion, um das lineare Verhalten besser darzustellen, mit folgenden Werte:  $\mathcal{N}(0.10) = 1.0$ ,  $\mathcal{N}(0.12) = 2.5$ ,  $\mathcal{N}(0.14) = 6.5$  und  $\mathcal{N}(0.16) = 9.0$ . Für  $c_E$  wurde 2.5 benutzt (siehe Text).

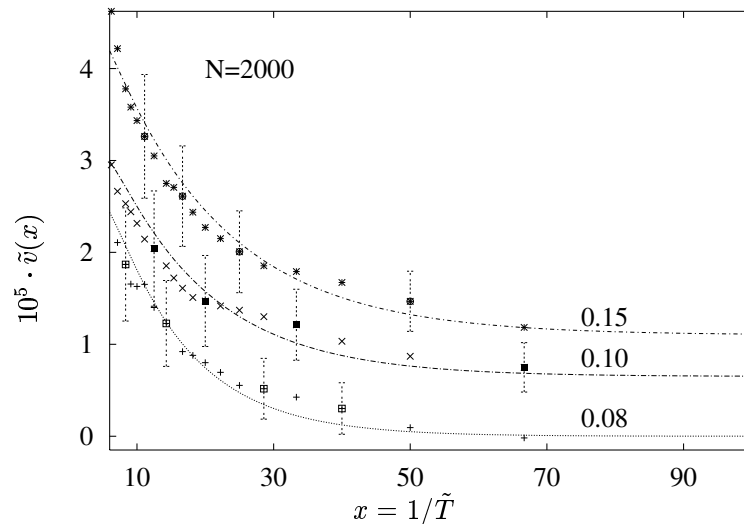


Abbildung 18: Die Temperaturabhängigkeit der Kriechgeschwindigkeit für verschiedene jeweils fixierte Werte von  $\tilde{E}$ , welche an den Kurven stehen. Für eine übersichtlichere Darstellung wurden die Daten skaliert oder verschoben. Für  $\tilde{E} = 0.08$  ist  $3\tilde{v}(x)$  dargestellt, für  $\tilde{E} = 0.10$  und  $0.15$  wurden die Daten um  $6 \cdot 10^{-6}$  bzw.  $10^{-5}$  nach oben verschoben. Typische Fehlerbalken sind eingezeichnet.

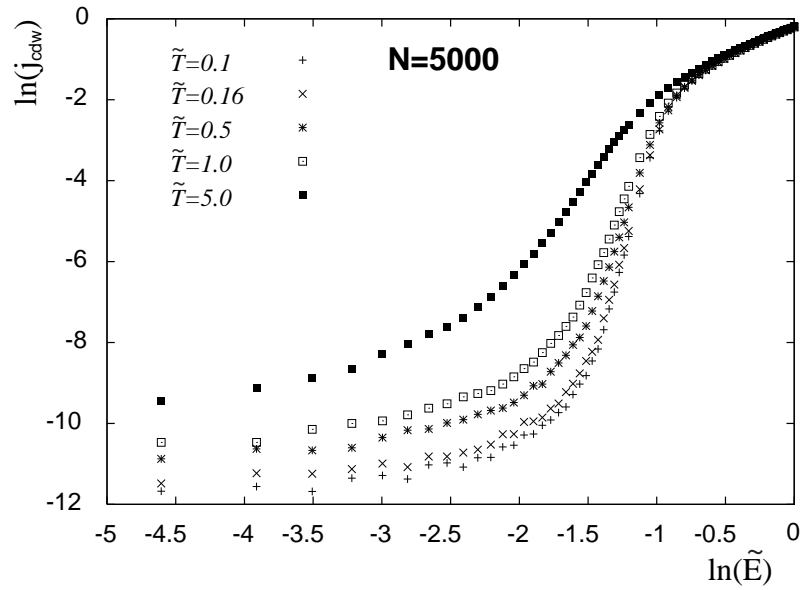


Abbildung 19: Grafik analog zu Fig 1 in [ZZ93].

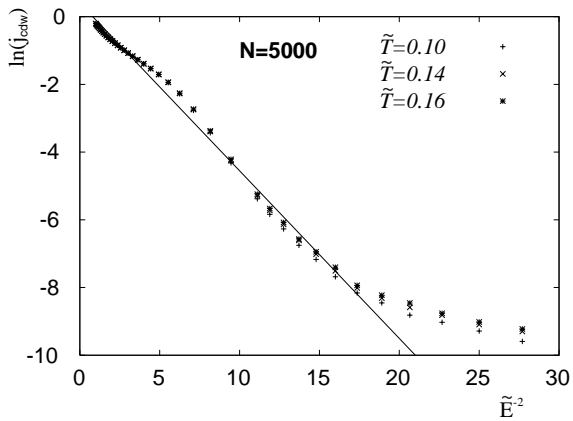


Abbildung 20: Grafik analog zu Fig 3 in [ZZ93].  
(Erklärung siehe Text)

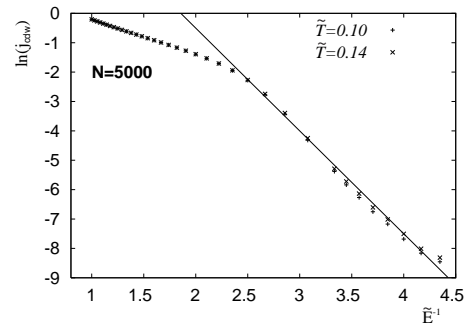


Abbildung 21: Grafik analog zu Fig 3 (inset) in [ZZ93].

### 3 Erweiterung des Modells

In diesem Kapitel wird das einfache klassische Modell aus dem vorherigen Kapitel zu einem quantenmechanischen erweitert. Hinzu kommen ein kinetischer Term und ein *phase-slip*-Term. In den folgenden Abschnitten wird zunächst der vollständige Hamiltonoperator aufgeschrieben, die Wirkung aus der Pfadintegraldarstellung berechnet und schließlich der "Mechanismus" der *phase-slips* diskutiert. Zusätzlich wird die Paarkorrelationsfunktion des 1 + 1-dimensionalen harmonischen Modells, d.h. ohne Unordnung und *phase slips*, berechnet, da diese in Kapitel 4 wichtig sein wird.

#### 3.1 quantenmechanischer Hamiltonian

Das quantenmechanisch erweiterte Modell hat die Form

$$\hat{\mathcal{H}} = \hat{\mathcal{H}}_{kin} + \mathcal{H}_{klass} + \hat{\mathcal{H}}_{disl} \quad (3.1)$$

wobei  $\hat{\mathcal{H}}_{kin}$  der kinetische Anteil ist, mit

$$\hat{\mathcal{H}}_{kin} = \int_0^L dx \frac{v^2}{2c} \hat{P}^2, \quad [\hat{P}(x), \hat{\varphi}(x')] = -i\hbar\delta(x - x'). \quad (3.2)$$

$\hat{P}$  ist der zu  $\varphi$  konjugierte Impulsoperator und  $\frac{c}{v^2} = \rho$  entspricht einer Massendichte.  $\hat{\mathcal{H}}_{disl}$  ist der neu hinzugekommene *phase-slip*-Term, definiert durch

$$\hat{\mathcal{H}}_{disl} = \lambda \int_0^L dx \cos\left(\frac{q\pi}{\hbar} \int^x dy \hat{P}(y)\right), \quad (3.3)$$

wobei  $\lambda$  proportional zur Wahrscheinlichkeit der Ausbildung einer Dislokation und  $q$  eine zunächst beliebige Zahl ist. In Abschnitt 3.3 wird dieser Term ausführlicher motiviert und diskutiert.

Der gesamte, erweiterte Hamiltonian lautet also:

$$\hat{\mathcal{H}} = \int_0^L \left[ \frac{v^2}{2c} \hat{P}^2 + \frac{c}{2} (\partial_x \hat{\varphi})^2 - V \cos(p\hat{\varphi}(x) + \alpha(x)) + \lambda \cos\left(\frac{q\pi}{\hbar} \int^x dy \hat{P}(y)\right) \right]. \quad (3.4)$$

$p$  ist ebenfalls eine zunächst beliebige Konstante. Die elastische Konstante  $c$  wird aufgrund der Quantenfluktuationen i.a. verschieden von dem Wert  $\hbar v_F / (2\pi)$  im klassischen Fall sein. (Da im folgenden nur der Fall der schwachen Unordnung benötigt wird, ist der Unordnungsterm analog zu (2.7) aufgeschrieben.)

#### 3.2 Pfadintegraldarstellung

Nun gehen wir über zur Wirkung; dafür führe ich folgendes "duales" Feld  $\theta$  ein, gegeben durch:

$$\partial_x \hat{\theta} \equiv -\frac{\pi}{\hbar} \hat{P} \quad (3.5)$$

(siehe auch Kapitel 5). Die Kommutatorrelation lautet damit:  $[\hat{\theta}(x), \hat{\varphi}(x')] = \pi\Theta(x - x')$ . Damit vereinfacht sich  $\hat{\mathcal{H}}_{disl}$  zu  $\lambda \int dx \cos(q\hat{\theta})$ . Da im folgenden der Unordnungsterm und der Dislokationsterm getrennt behandelt werden, wird die Wirkung auch getrennt für beide Terme berechnet. Beide Terme zusammen lassen sich i.a. nicht als geschlossener Ausdruck in einem der beiden Felder aufschreiben.

Beginnen wir mit dem bekannten Unordnungsterm ( $\lambda = 0$ ): Die Wirkung ist in diesem Fall durch

$$\int \mathcal{D}\varphi \mathcal{D}\theta e^{-\int d\tau \tilde{\mathcal{L}}_\varphi} \equiv \int \mathcal{D}\varphi e^{-\mathcal{S}_\varphi/\hbar} \quad (3.6)$$

definiert, d.h. im Funktionalintegral wird das  $\theta$ -Feld ausintegriert.  $\tilde{\mathcal{L}}_\varphi$  ist gegeben durch

$$\tilde{\mathcal{L}}_\varphi \equiv \hbar^{-1} \int dx \left[ \frac{v^2 \hbar^2}{2\pi^2 c} (\partial_x \theta)^2 + \frac{c}{2} (\partial_x \varphi)^2 - V \cos(p\varphi(x) + \alpha(x)) + \frac{i\hbar}{\pi} \partial_x \theta \partial_\tau \varphi \right]. \quad (3.7)$$

Da  $\hat{\mathcal{H}}$  (für  $V = 0$  oder  $\lambda = 0$ ) in einer einfachen (normal geordneten) Form vorliegt und  $\hat{\mathcal{H}}_0$  im Impulsraum im wesentlichen in eine Summe von harmonischen Oszillatoren zerfällt, läßt sich diese Form von  $\tilde{\mathcal{L}}_\varphi$  (oder auch  $\tilde{\mathcal{L}}_\theta$ ) einfach mit Hilfe des Pfadintegrals herleiten (siehe z.B. [NO88]).

Um das  $\theta$ -Integral einfach berechnen zu können, bringt man  $\tilde{\mathcal{L}}_\varphi$  auf folgende quadratische Form

$$\tilde{\mathcal{L}}_\varphi \equiv \hbar^{-1} \int dx \left[ \frac{v^2 \hbar^2}{2\pi^2 c} \left( \left( \partial_x \theta + \frac{ic\pi}{\hbar v^2} \partial_\tau \varphi \right)^2 + \frac{c^2 \pi^2}{\hbar^2 v^4} (\partial_\tau \varphi)^2 \right) + \frac{c}{2} (\partial_x \varphi)^2 - V \cos(p\varphi(x) + \alpha(x)) \right]. \quad (3.8)$$

und kann mit der Substitution  $\partial_x \tilde{\theta} \equiv \partial_x \theta + \frac{ic\pi}{\hbar v^2} \partial_\tau \varphi$  das Gaußintegral im Impulsraum einfach berechnen.

Letzendlich erhält man:

$$\mathcal{S}_\varphi = \int_0^{\hbar\beta} d\tau \int_0^L dx \left[ \frac{c}{2} \{ (\partial_x \varphi(x, \tau))^2 + v^{-2} (\partial_\tau \varphi(x, \tau))^2 \} - V \cos(p\varphi(x, \tau) + \alpha(x)) \right] \quad (3.9)$$

( $\beta = ((k_B)T)^{-1}$ ).

Auch hier kann man (für  $T > 0$ ) zu reskalierten Größen  $\tilde{x} = x\lambda_T^{-1}$  und  $\tilde{\tau} = \tau(\hbar\beta)^{-1}$  übergehen, wobei  $\lambda_T = \hbar\beta v$  die relativistische *de Broglie*-Wellenlänge eines Teilchens mit der Geschwindigkeit  $v$  ist:

$$\tilde{\mathcal{S}}_\varphi \equiv \frac{\mathcal{S}_\varphi}{\hbar} = \int_0^1 d\tilde{\tau} \int_0^{L/\lambda_T} d\tilde{x} \left[ \frac{c}{2\hbar v} ((\partial_{\tilde{x}} \tilde{\varphi})^2 + (\partial_{\tilde{\tau}} \tilde{\varphi})^2) - \beta V \lambda_T \cos(p\tilde{\varphi}(\tilde{x}, \tilde{\tau}) + \tilde{\alpha}(\tilde{x})) \right] \quad (3.10)$$

Für den Dislokationsterm ( $V = 0$ ) geht man analog vor. Die Wirkung ist in diesem Fall durch

$$\int \mathcal{D}\varphi \mathcal{D}\theta e^{-\int d\tau \tilde{\mathcal{L}}_\theta} \equiv \int \mathcal{D}\theta e^{-\mathcal{S}_\theta/\hbar} \quad (3.11)$$

definiert, also wird jetzt, im Gegensatz zum Unordnungsterm das  $\varphi$ -Feld ausintegriert.  $\tilde{\mathcal{L}}_\theta$  ist durch

$$\tilde{\mathcal{L}}_\theta \equiv \int dx \hbar^{-1} \int dx \left[ \frac{v^2 \hbar^2}{2\pi^2 c} (\partial_x \theta)^2 + \frac{c}{2} (\partial_x \varphi)^2 + \lambda \cos(q\theta(x)) + \frac{i\hbar}{\pi} \partial_\tau \theta \partial_x \varphi \right]. \quad (3.12)$$

gegeben. Die entsprechende Wirkung lautet

$$\mathcal{S}_\theta = \int_0^{\hbar\beta} d\tau \int_0^L dx \left[ \frac{\hbar^2}{2\pi^2 c} (v^2 (\partial_x \theta)^2 + (\partial_\tau \theta)^2) + \lambda \cos(q\theta) \right] \quad (3.13)$$

oder in reskalierten Einheiten:

$$\tilde{\mathcal{S}}_\theta = \frac{\mathcal{S}_\theta}{\hbar} = \int_0^1 d\tilde{\tau} \int_0^{L/\lambda_T} d\tilde{x} \left( \frac{\hbar v}{2\pi^2 c} [(\partial_{\tilde{x}} \tilde{\theta})^2 + (\partial_{\tilde{\tau}} \tilde{\theta})^2] + \beta \lambda \lambda_T \cos(q\tilde{\theta}) \right) \quad (3.14)$$

D.h. der Dislokationsterm wird durch ein 1 + 1-dimensionales *Sinus-Gordon-Modell* im Feld  $\theta$  beschrieben. Die Bedeutung des Feldes  $\theta$  im Zusammenhang mit dem *Tomonaga-Luttinger-Modell* wird kurz in Kapitel 5 erklärt.

Nachdem nun die Wirkungen hergeleitet sind, werde ich den zusätzlichen *phase-slip*-Term etwas besser motivieren und herleiten.

### 3.3 Phase-slips

Der Term  $\hat{\mathcal{H}}_{disl}$  wurde von Pokrovskii [BPT82] für ein Modell benutzt, mit dem ein Phasenübergang von einer inkommensurablen zu einer kommensurablen Phase in einem anisotropen System mit Dislokationen untersucht wurde. Dieser Term kann auf zwei verschiedene Weisen verstanden werden. Zunächst kann der Term in einer diskreten Version aufgeschrieben werden, also z.B.

$$\begin{aligned} \cos \left( \frac{q\pi}{\hbar} \int^x dy \hat{P}(y) \right) &= \cos \left( \frac{q\pi}{\hbar} \sum_{k=1}^{N_x} \hat{P}_k \right) \\ &= \frac{1}{2} \left( \prod_{k=1}^{N_x} e^{i \frac{q\pi}{\hbar} \hat{P}_k} + \prod_{k=1}^{N_x} e^{-i \frac{q\pi}{\hbar} \hat{P}_k} \right). \end{aligned} \quad (3.15)$$

Man sieht, dass  $\hat{\mathcal{H}}_{disl}$  eine Superposition (und damit hermitesch) von Produkten von Translationsoperatoren  $e^{\pm i \frac{q\pi}{\hbar} \hat{P}_k}$  ist, d.h. bis zum Teilchen  $N_x$  an der Positon  $x$  wird die Phase  $\varphi$  (!) um  $\pm q\pi$  verschoben. Diese Verschiebung kann auch als Einführung eines  $q\pi$ -Vortex bei  $x$  verstanden werden [Sac99]. Am Ort des Vortex muß das Phasenfeld eine Singularität haben, d.h. das Phasenfeld undefiniert sein und damit der Ordnungsparameter verschwinden, was zur Folge hat, dass die Amplitude auf null gedrückt wird. Man berücksichtigt somit indirekt Amplitudenfluktuationen.

*Wozu dient dieser "Mechanismus"?* Dazu kann man sich folgendes Bild überlegen: Man betrachtet ein System mit einer Verunreinigung, welche etwas um die Position  $x_i$  (gaußisch) ausgeschmiert ist, und einem an das CDW-System angelegten externen elektrischen Feld. Die Phase ist zunächst auf einen Wert  $\varphi_i$  mit  $\varphi_i |2\pi = Qx_i$  "gepinnt". Nun kann die oben

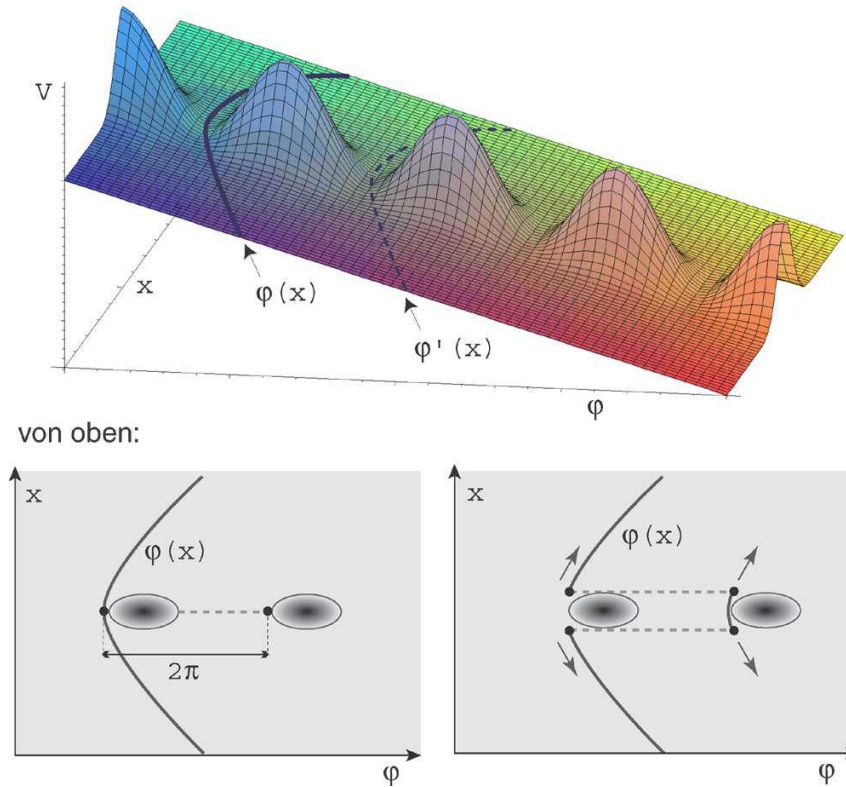


Abbildung 22: *Mechanismus der phase-slips*. Im Bild oben ist eine (gepinnte) Phasenfeldkonfiguration im Potential eines Pinning-Zentrum und einem externen Feld eingezeichnet. Links unten ist eine Aufsicht der Konfiguration mit Ausbildung eines  $\pm 2\pi$ -Vortex-Paares gezeigt. Aufgrund des Energiegewinns kann das Vortex-Paar aus dem System gedängt werden (rechts unten).

beschriebene Ausbildung einer Dislokation dazu führen, dass das Phasenfeld bei  $x_i$  lokal "entspannt" wird und es sich weiterbewegen kann. In Abb 22 ist dies etwas anschaulicher dargestellt.

Der Term kann auch auf eine andere Weise, wie folgt plausibel gemacht werden. Man geht jetzt von einem 1+1-dimensionalen (XY-)Modell  $\tilde{S}_{XY} = K/2 \int d\tilde{\tau} \int d\tilde{x} [(\partial_{\tilde{\tau}}\phi)^2 + (\partial_{\tilde{x}}\phi)^2]$  aus und nimmt die hier nicht berücksichtigten *Vortex*-Konfigurationen (in Raum und Zeit) mit  $\oint_{C_j} d\phi = 2\pi q_j$  hinzu ( $q_j \in \mathbb{Z}$  ist die Windungszahl des Vortex und  $C_j$  ein beliebiger geschlossener Weg um den Vortex herum). Folgt man der Rechnung von Kosterlitz [KT73], findet man, dass diese Vortices einen zusätzlichen Energiebeitrag, welcher einer Coulomb-WW in zwei Dimensionen entspricht, liefert. Man erhält somit ein 1 + 1-dimensionales *Coulomb-Gas-Modell*. José, Kadanoff, Kirkpatrick und Nelson [JKKN77] haben gezeigt, dass sich dieses Coulomb-Gas-Modell (mit  $q = 2$ ) für tiefe Temperaturen auf ein *Sinus-Gordon-Modell* der Form (vgl. mit (4.5) in deren Arbeit)

$$\int dx \int d\tilde{\tau} \frac{K}{2} [(\partial_{\tilde{\tau}}\tilde{\phi}(x, \tilde{\tau}))^2 + (\partial_x\tilde{\phi}(x, \tilde{\tau}))^2] + 2y_0 \cos(2\pi K\tilde{\phi}) \quad (3.16)$$

abbilden läßt. Dies kann mit  $\tilde{S}_\theta$  verglichen werden, indem man  $\tilde{\theta} = \frac{\hbar v}{\pi c} \theta$  und  $\tilde{\tau} = v\tau$  setzt:

$$\tilde{S}_\theta = \int_0^{\lambda\tau} d\tilde{\tau} \int dx \left[ \frac{1}{2\tilde{g}} \left( (\partial_{\tilde{\tau}}\tilde{\theta})^2 + (\partial_x\tilde{\theta})^2 \right) + \frac{\lambda'}{\tilde{g}} \cos(q\pi/\tilde{g}\tilde{\theta}) \right] \quad (3.17)$$

mit  $\tilde{g} = \hbar v/c$ ,  $\lambda' = \lambda/c$  (siehe auch nächstes Kapitel). Identifiziert man  $K = \tilde{g}^{-1}$  und  $\tilde{\lambda}/\tilde{g} = 2y_0$  sieht man, dass beide Modelle dieselbe Form haben (mit  $q = 2$ ). Der Parameter  $y_0$  kontrolliert die Ausbildung der Vortices und läßt diese für kleine Werte unwahrscheinlicher werden. D.h. für unsere phase-slips, wie schon eingangs erwähnt, dass diese erst für große Werte von  $\lambda$  wahrscheinlich sind.

### 3.4 harmonisches Modell

In diesem Abschnitt werde ich die Berechnung der Paarkorrelationsfunktion  $\langle (\varphi(x, \tau) - \varphi(x', \tau'))^2 \rangle_0$  bzw.  $\langle (\theta(x, \tau) - \theta(x', \tau'))^2 \rangle_0$  für das harmonische Modell ( $V = \lambda \equiv 0$ )

$$S_0 = \int_0^{\hbar\beta} d\tau \int_0^L dx \left[ \frac{c}{2} \left( (\partial_x\varphi)^2 + \frac{1}{v^2} (\partial_\tau\varphi)^2 \right) \right] \quad (3.18)$$

(entsprechend in  $\theta$ ) darstellen. Da die Rechnung ähnlich zu der in A.4 verläuft, beschränke ich mich auf wenige Zwischenschritte. Mit  $\varphi(x, \tau) = \frac{1}{L(\hbar\beta)} \sum_{k,n} e^{i(kx + \omega_n\tau)} \varphi_{k,n}$  ( $\varphi_{k,n} = \int dx \int d\tau e^{-i(kx + \omega_n\tau)} \varphi(x, \tau)$ ,  $k = 2\pi m/L$  und  $\omega_n = 2\pi n/(\hbar\beta)$  sind die Matsubara-Frequenzen) erhält man

$$\begin{aligned} \tilde{S}_0 &= \frac{1}{2TL(\hbar\beta)} \sum_{k,n} J(k,n) |\varphi_{k,n}|^2 \quad \text{mit} \\ J(k,n) &= \frac{c}{\hbar\beta} (k^2 + v^{-2}\omega_n^2). \end{aligned} \quad (3.19)$$

Zusätzlich führt man den Quellterm  $\tilde{S}_Q[j] \equiv -\int dx \int d\tau j(x, \tau)\varphi(x, \tau)$  ein, womit die Zustandssumme lautet:

$$\begin{aligned} \mathcal{Z}_0[j] &= \int \mathcal{D}\varphi e^{-\tilde{S}_0 - \tilde{S}_Q[j]} \\ &= \prod_{k,n} \iint da_{k,n} db_{k,n} e^{-\frac{J(k,n)}{2TL(\hbar\beta)} (a_{k,n}^2 + b_{k,n}^2) + \frac{1}{L(\hbar\beta)} (a_{k,n}\alpha_{k,n} + b_{k,n}\beta_{k,n})} \end{aligned} \quad (3.20)$$

mit  $\varphi_{k,n} = a_{k,n} + ib_{k,n}$  und  $j_{k,n} = \alpha_{k,n} + i\beta_{k,n}$ . Die Korrelationsfunktion  $\langle \varphi(0)\varphi(x) \rangle_0$  läßt sich damit als Funktionalableitung

$$\begin{aligned} \langle \varphi(x, \tau)\varphi(x', \tau') \rangle_0 &= \frac{\delta^2}{\delta j(x, \tau)\delta j(x', \tau')} \mathcal{Z}_0[j] \Big|_{j=0} = T J^{-1}(x' - x, \tau' - \tau) \\ &= \frac{T}{L(\hbar\beta)} \sum_{k,n} e^{-i(k(x'-x) + \omega_n(\tau'-\tau))} J^{-1}(k, n) \end{aligned} \quad (3.21)$$

schreiben und man erhält

$$\langle (\varphi(x, \tau) - \varphi(x', \tau'))^2 \rangle_0 = \frac{2v^2}{cL\beta} \sum_{n,k} \frac{1 - e^{i\omega_n(\tau-\tau') + ik(x-x')}}{(vk)^2 + \omega_n^2} \quad (3.22)$$

oder analog für  $\theta$

$$\langle (\theta(x, \tau) - \theta(x', \tau'))^2 \rangle_0 = \frac{2\pi^2 c}{L(\hbar\beta)\hbar} \sum_{n,k} \frac{1 - e^{i\omega_n(\tau - \tau') + ik(x - x')}}{(vk)^2 + \omega_n^2}. \quad (3.23)$$

Für weitere Zwecke formen wir (3.23) etwas weiter um:

$$\dots = \frac{2\pi^2 c}{L(\hbar\beta)\hbar} \frac{L}{2\pi} \int_{-\Lambda}^{\Lambda} dk \left[ \sum_n \frac{1}{(vk)^2 + \omega_n^2} - e^{ik(x - x')} \sum_n \frac{\cos(\omega_n(\tau - \tau'))}{(vk)^2 + \omega_n^2} \right] = \dots \quad (3.24)$$

mit (A.2.3) und (A.2.5):

$$\begin{aligned} \dots &= \frac{\pi c}{(\hbar\beta)\hbar} \int_{-\Lambda}^{\Lambda} dk \left[ \frac{\hbar\beta}{2v|k|} \left( \coth\left(\frac{\hbar\beta}{2}v|k|\right) - e^{ik(x - x')} \frac{\cosh\left(\left(\frac{\hbar\beta}{2} - |\tau - \tau'|\right)v|k|\right)}{\sinh\left(\frac{\hbar\beta}{2}v|k|\right)} \right) \right] \\ &= \frac{\pi c}{v\hbar} \int_0^{\Lambda} \frac{dk}{k} \left( \coth\left(\frac{\lambda_T}{2}k\right) - \cos(k(x - x')) \frac{\cosh\left(\left(1 - 2|\tau - \tau'|/(\hbar\beta)\right)\frac{\lambda_T}{2}k\right)}{\sinh\left(\frac{\lambda_T}{2}k\right)} \right) \end{aligned} \quad (3.25)$$

## 4 Renormierungsgruppe

### 4.1 Überblick

Das Ziel dieses Kapitels ist die Herleitung der Flussgleichungen für die Parameter des Modells (3.4). Mit der Renormierungsgruppentransformation (kurz: RG) werden Freiheitsgrade sukzessive aus dem System entfernt, d.h. man bekommt effektive Parameter bzw. einen effektiven Hamiltonian (oder Wirkung) auf größeren Längenskalen. Man läßt den Hamiltonian durch den Hilbertraum der Hamiltonians "fließen", indem sukzessive eine *Partialspur* bzw. ein RG-Operator auf den Hamiltonian angewendet und anschließend das System wieder auf die ursprüngliche Größe reskaliert wird. Von besonderem Interesse sind Fixpunkte der RG, d.h. Fixpunkte des RG-Operators, an welchen das entscheidende Verhalten des Systems abgelesen werden kann.

Da für die Renormierung unseres Modells eine anisotrope *Impulsschalen-RG* benutzt wurde, werde ich die relevanten Schritte kurz beschreiben (siehe z.B. auch [Car96] oder [Nat00]):

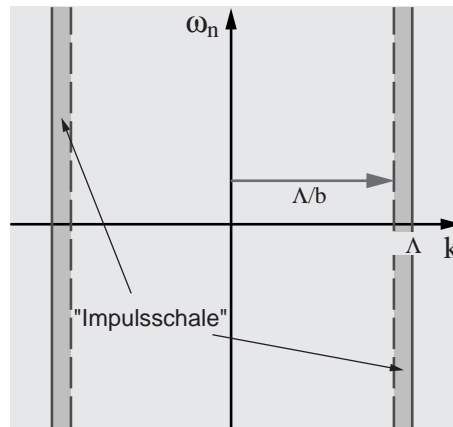


Abbildung 23: "Impulsschale" in 1+1 Dimensionen

(i)  $\tilde{S}$  wird in  $\tilde{S}'$  mittels der Transformation

$$\tilde{S} \rightarrow \tilde{S}' \equiv \hat{\mathcal{R}}[\tilde{S}]$$

renormiert, wobei  $\hat{\mathcal{R}}$  wie folgt als Partialspur definiert ist

$$e^{-\tilde{S}'[\varphi^<]} \equiv \int \mathcal{D}\varphi^> e^{-\tilde{S}[\varphi]},$$

mit der Zerlegung  $\varphi(x) = \varphi^<(x) + \varphi^>(x)$ , wobei

$$\begin{aligned} \varphi^<(x, \tau) &= ((\hbar\beta)L)^{-1} \sum_n \sum_{0 \leq |k| \leq \Lambda/b} e^{i(kx + \omega_n \tau)} \varphi_{k,n} \\ \varphi^>(x, \tau) &= ((\hbar\beta)L)^{-1} \sum_n \sum_{|k| > \Lambda/b}^{\Lambda} e^{i(kx + \omega_n \tau)} \varphi_{k,n} \end{aligned} \quad (4.1)$$

(analog für  $\theta$ ). D.h. die Partialsur wird über Moden mit  $\Lambda/b < |k| \leq \Lambda$  gebildet; für die *Matsubara-Frequenzen*  $\omega_n = 2\pi n/(\hbar\beta)$  gibt es keinen Cutoff, d.h. dass das Feld  $\varphi$  unabhängig von  $\omega_n$  in der Impulsschale ausintegriert wird.  $b = e^l$  ist der Reskalierungsparameter mit  $0 < l \ll 1$ . Der Cutoff für  $|k|$  ist durch  $\Lambda \approx a^{-1}$  gegeben. Die "Impulsschale" ist in Abb. 23 veranschaulicht.

- (ii) Desweiteren müssen Reskalierungen von  $x$ ,  $\tau$  und  $\varphi$  vorgenommen werden, um die Dichte der Freiheitsgrade und der Fluktuationsstärke zu erhalten. Diese sind gegeben durch

$$\begin{aligned} x &\rightarrow x' = x/b & \text{entsprechend} & & k &\rightarrow k' = kb \\ \tau &\rightarrow \tau' = \tau/b^z & & & \omega &\rightarrow \omega' = \omega b^z \\ \varphi &\rightarrow \varphi'(x/b) = \varphi b^{-\zeta}. \end{aligned} \quad (4.2)$$

- (iii) Um die Flussgleichungen der Parameter in  $\mathcal{S}$  zu erhalten, nehmen wir an, dass der Parameter  $\gamma_j$  unter der RG (in erster Ordnung) zu  $\gamma'_j = \gamma_j(1 - f(\{\gamma_i\}) \ln b)$  übergeht, wobei  $f(\{\gamma_i\})$  eine Funktion von allen auftretenden Parametern sein kann. Berücksichtigt man noch die Reskalierung von  $\gamma_j$ :  $\gamma'_{jR} = \gamma_j b^\alpha \approx \gamma_j(1 + \alpha \ln b)$  erhält man mit  $\gamma'_j \equiv \gamma_j + d\gamma_j$  folgende Flussgleichung:

$$\frac{d\gamma_j}{d \ln b} = (\alpha - f(\{\gamma_i\}))\gamma_j. \quad (4.3)$$

Bevor die RG für unser Modell durchgeführt wird, werde ich die das System charakterisierenden dimensionslosen Parameter im nächsten Abschnitt einführen. Danach werden die Wirkungen  $\mathcal{S}_\varphi$  und  $\mathcal{S}_\theta$  renormiert.

## 4.2 dimensionslose Parameter

Da die relativistische *de Broglie*-Wellenlänge  $\lambda_T$  eine wichtige Längenskala ist, auf der Quantenfluktuationen relevant werden, kann man diese Länge mit der kleinsten auftretenden Länge  $\Lambda^{-1} \approx a$  vergleichen:

$$\lambda_T \Lambda = \frac{\hbar\beta v}{c} \Lambda c = \underbrace{\frac{c}{T \Lambda^{d-2}}}_{\tilde{t}^{-1}} \cdot \underbrace{\frac{\hbar v}{c} \Lambda^{d-1}}_{\tilde{g}}$$

Der so definierte Parameter  $\tilde{t}$  ist die reskalierte Temperatur und  $\tilde{g}$  kontrolliert die Quantenfluktuationen, da dieser Parameter im wesentlichen den Koeffizienten des Impulsoperators in (3.4) darstellt.

Die dimensionslosen Parameter, welche die Unordnungsstärke und die Stärke der Dislokationen beschreiben, sind im wesentlichen das Verhältnis der nicht reskalierten Parameter zur elastischen Konstante.

Zusammengefasst lauten die relevanten Parameter unseres Modells

$$\tilde{t} = \frac{T\Lambda^{d-2}}{c} \quad (4.4)$$

$$\tilde{g} = \hbar \frac{v}{c} \Lambda^{d-1} \quad (4.5)$$

$$\tilde{V} = \left( \frac{V^2}{c^2} \Lambda^{d-4} \right)^{1/2} \quad (4.6)$$

$$\tilde{\lambda} = \frac{\lambda}{c\Lambda^2} \quad (4.7)$$

### 4.3 Replica-Wirkung / Unordnungsmittel

Um den Unordnungsterm zu renormieren, geht man im allgemeinen zum *Replica-Hamiltonian* bzw. hier zur *Replica-Wirkung* über, d.h., dass der Unordnungsmittelwert ausgeführt wird. Der *Replica-“Trick”* besteht in folgender Darstellung der freien Energie

$$\overline{\mathcal{F}} = -T \overline{\ln \mathcal{Z}} = -T \lim_{n \rightarrow 0} \frac{1}{n} (\mathcal{Z}^n - 1). \quad (4.8)$$

und der Vertauschung der zwei Grenzwertprozesse (Unordnungsmittelung und Limes  $n \rightarrow 0$ )<sup>4</sup>, um die Mittelung des Logarithmus zu vermeiden:

$$\overline{\ln \mathcal{Z}} = \lim_{n \rightarrow 0} \frac{1}{n} (\mathcal{Z}^n - 1). \quad (4.9)$$

Die *Replica-Wirkung*  $S^n[\{\varphi^\gamma\}_{\gamma=1..n}]$  wird definiert durch

$$\begin{aligned} \overline{\mathcal{Z}^n} &= \overline{\prod_{\gamma=1}^n \int \mathcal{D}[\varphi^\gamma] e^{-\tilde{S}[\varphi^\gamma]}} = \int \left( \prod_{\gamma=1}^n \mathcal{D}[\varphi^\gamma] \right) \overline{e^{-\sum_{\alpha=1}^n \tilde{S}[\varphi^\alpha]}} \\ &\equiv \int \left( \prod_{\gamma=1}^n \mathcal{D}[\varphi^\gamma] \right) e^{-\tilde{S}^n[\{\varphi^\gamma\}_{\gamma=1..n}]}. \end{aligned} \quad (4.10)$$

$S^n$  ist also eine Wirkung in der jeder Freiheitsgrad  $n$ -fach repliziert ist ( $\alpha$ ,  $\gamma$  und  $\nu$  sind die *Replica-Indices*). Bei einigen Systemen kann die Vertauschung von Unordnungsmittelung und  $n \rightarrow 0$  zu Problemen führen, in unserem Fall wird dies allerdings nicht angenommen.

Für die Wirkung (3.9) läßt sich die Replica-Version mit  $\overline{e^{g(\underline{x})}} = e^{\overline{g^2(\underline{x})}/2}$  für gaußverteiltens  $\underline{x}$  leicht berechnen:

$$\begin{aligned} e^{-\tilde{S}^n} &= e^{-\sum_{\alpha} \tilde{S}_0[\varphi^\alpha]} e^{\frac{1}{2} \sum_{\alpha, \nu} \overline{\tilde{S}_{imp}[\varphi^\alpha, \{x, \tau\}] \tilde{S}_{imp}[\varphi^\nu, \{x', \tau'\}]}} \\ &= e^{-\sum_{\alpha} (\tilde{S}_0[\varphi^\alpha] - \frac{V^2}{2\hbar^2} \sum_{\nu} \int dx dx' \int d\tau d\tau' \overline{\cos(\varphi^\alpha + \alpha(x)) \cos(\varphi^\nu + \alpha(x'))})} \end{aligned} \quad (4.11)$$

wobei  $S_0$  der gaußsche Anteil von  $S_\varphi$  (3.18) ist und  $S_{imp}$  der Pinning-Anteil.

Mit (2.8) kann der Unordnungsmittelwert leicht berechnet werden

$$\overline{\cos(\varphi^\alpha(x, \tau) + \alpha(x)) \cos(\varphi^\nu(x', \tau') + \alpha(x'))} = \cos(\varphi^\alpha(x, \tau) - \varphi^\nu(x', \tau')) \delta(x - x'). \quad (4.12)$$

<sup>4</sup>which is "believed to create no trouble"

Die Replica-Wirkung zu (3.9) lautet also

$$\tilde{\mathcal{S}}^n[\{\varphi^\gamma\}] = \sum_{\alpha,\nu=1}^n \int_0^{\hbar\beta} d\tau \int_0^L dx \left[ \frac{c\delta_{\alpha,\nu}}{2\hbar} ((\partial_x \varphi^\alpha(x, \tau))^2 + v^{-2}(\partial_\tau \varphi^\alpha(x, \tau))^2) + \frac{V^2}{2\hbar^2} \int_0^{\hbar\beta} d\tau' \cos(p(\varphi^\alpha(x, \tau) - \varphi^\nu(x, \tau'))) \right] \quad (4.13)$$

#### 4.4 RG des Unordnungsterms

In diesem Abschnitt werde ich die RG der Wirkung  $\tilde{\mathcal{S}}_\varphi$  bzw. der Replica-Version (4.13) etwas detaillierter, insbesondere da dies bei endlichen Temperaturen geschieht, und allgemeiner in  $d + 1$ -Dimensionen ausführen.

Zunächst wird das Funktional

$$R[f(\underline{r})] \equiv \frac{V^2}{2\hbar^2} \cos(pf(\underline{r})) \quad (4.14)$$

definiert, womit der Unordnungsanteil der Replica-Wirkung (4.13) als

$$\tilde{\mathcal{S}}_R^n = - \int_0^{\hbar\beta} d\tau \int_0^{\hbar\beta} d\tau' \int d^d \underline{x} \sum_{\alpha,\nu} R[\varphi^\alpha(\underline{x}, \tau) - \varphi^\nu(\underline{x}, \tau')] \quad (4.15)$$

geschrieben werden kann.

Außerdem wird folgende zeitlich nichtlokale Korrelationsfunktion benötigt (siehe (3.21))

$$\langle \varphi(\underline{x}, \tau) \varphi(\underline{x}, \tau') \rangle = \frac{v^2}{L^d \beta c} \sum_{\underline{k}, \omega_n} \frac{e^{i\omega_n(\tau - \tau')}}{(v\underline{k})^2 + \omega_n^2}. \quad (4.16)$$

Die renormierte Wirkung wird durch

$$e^{-\tilde{\mathcal{S}}_R^{\alpha,\nu}[\{\varphi_\leq^\alpha\}]} = \int \prod_\gamma (\mathcal{D}\varphi_\>^\gamma) e^{-\tilde{\mathcal{S}}^n[\{\varphi_\leq^\alpha, \varphi_\>^\alpha\}]} \quad (4.17)$$

definiert, wobei das Feld  $\varphi^\gamma$  in einen langwelligen ( $\varphi_\<^\gamma$ ) und kurzwelligen ( $\varphi_\>^\gamma$ ) Anteil, wie in (4.1) angegeben, aufgespalten wurde.

Mit

$$\tilde{\mathcal{S}}^n[\{\varphi^\gamma\}] \equiv \tilde{\mathcal{S}}_{0,<}^n[\{\varphi_\<^\gamma\}] + \tilde{\mathcal{S}}_{0,>}^n[\{\varphi_\>^\gamma\}] + \tilde{\mathcal{S}}_R^n[\{\varphi_\leq^\gamma\}] \quad (4.18)$$

$$\tilde{\mathcal{S}}_{0,\leq}^n[\{\varphi_\leq^\gamma\}] = \sum_{\alpha=1}^n \int_0^{\hbar\beta} d\tau \int_{L^d} d^d \underline{x} \frac{c}{2\hbar} [(\nabla_\underline{x} \varphi_\leq^\alpha(\underline{x}, \tau))^2 + v^{-2}(\partial_\tau \varphi_\leq^\alpha(\underline{x}, \tau))^2] \quad (4.19)$$

erhält man so für  $\tilde{\mathcal{S}}_{0,<}^n[\{\varphi_\<^\gamma\}]$

$$\tilde{\mathcal{S}}_{0,<}^n[\{\varphi_\<^\gamma\}] = \tilde{\mathcal{S}}_{0,<}^n[\{\varphi_\<^\gamma\}] + \ln \mathcal{Z}_{0,<}^n + \left\langle \left\langle e^{-\tilde{\mathcal{S}}_R^n[\{\varphi_\leq^\gamma\}]} - 1 \right\rangle \right\rangle_{0,>}, \quad (4.20)$$

wobei  $\left\langle \left\langle O[\{\varphi_\leq^\gamma\}] \right\rangle \right\rangle_{0,>} = \ln \left\langle O[\{\varphi_\leq^\gamma\}] \right\rangle_{0,>}$  der Kumulantenmittelwert des Funktionals  $O$  bzgl.  $\tilde{\mathcal{S}}_{0,>}^n$  ist. Diese Kumulante wird in eine Störungsreihe entwickelt, d.h. die Unordnung wird als kleine Störung betrachtet, und deshalb für kleine  $\epsilon = \frac{V^2}{2\hbar^2}$  entwickelt:

$$\left\langle \left\langle e^{-\tilde{\mathcal{S}}_R^n[\{\varphi_\leq^\gamma\}]} - 1 \right\rangle \right\rangle_{0,>} \equiv \sum_{k=1}^{\infty} A_k \epsilon^k \quad (4.21)$$

mit  $A_1 = \left\langle \left\langle \sum_{\alpha,\nu=1}^n \int d\tau d\tau' \int d^d \underline{x} \cos(p(\varphi^\alpha - \varphi^{\nu'})) \right\rangle \right\rangle_{0,>}$ . Da wir die Flussgleichungen für kleine Unordnungsstärken herleiten wollen, beschränken wir uns auf die niedrigste Ordnung der Störungsreihe. Die renormierte Wirkung ist in 1. Ordnung in  $\epsilon$  gegeben durch:

$$\tilde{S}_{<}^n[\{\varphi_{<}^\gamma\}] \doteq \tilde{S}_{0,<}^n - \underbrace{\int d\tau d\tau' \int d^d \underline{x} \langle \langle R[\varphi^\alpha - \varphi^{\nu'}] \rangle \rangle_{0,>}}_{-\tilde{S}_{1,<}}. \quad (4.22)$$

Um fortzufahren, definiere ich als Abkürzung:  $\varphi^{\alpha,\nu} \equiv \varphi_{<}^{\alpha,\nu} + \varphi_{>}^{\alpha,\nu}$  mit

$$\varphi_{\leq}^{\alpha,\nu} = \varphi_{\leq}^\alpha(\underline{x}, \tau) - \varphi_{\leq}^\nu(\underline{x}, \tau') \quad (4.23)$$

Damit wird  $R[\varphi^{\alpha,\nu}]$  um  $\varphi_{<}^{\alpha,\nu}$  in kleinen  $\varphi_{>}^{\alpha,\nu}$  entwickelt:

$$R[\varphi^{\alpha,\nu}] = R[\varphi_{<}^{\alpha,\nu}] + R'[\varphi_{<}^{\alpha,\nu}]\varphi_{>}^{\alpha,\nu} + \frac{1}{2}R''[\varphi_{<}^{\alpha,\nu}](\varphi_{>}^{\alpha,\nu})^2 + \mathcal{O}((\varphi_{>}^{\alpha,\nu})^3) \quad (4.24)$$

Aus der Definition von  $R$  folgt sofort:  $R^{(m)}[-f] = (-1)^m R^{(m)}[f]$  und nach einer Umbenennung der Replicaindices, kann man schreiben:

$$R[\varphi^{\alpha,\nu}] = R[\varphi_{<}^{\alpha,\nu}] + 2R'[\varphi_{<}^{\alpha,\nu}]\varphi_{>}^\alpha + R''[\varphi_{<}^{\alpha,\nu}](\varphi_{>}^\alpha)^2 - \varphi_{>}^\alpha \varphi_{>}^\nu + \mathcal{O}((\varphi_{>}^{\alpha,\nu})^3) \quad (4.25)$$

Und für  $\langle \langle R[\varphi^{\alpha,\nu}] \rangle \rangle_{0,>}$  folgt

$$\begin{aligned} \langle \langle R[\varphi^{\alpha,\nu}] \rangle \rangle_{0,>} &= R[\varphi_{<}^{\alpha,\nu}] + 2R'[\varphi_{<}^{\alpha,\nu}] \underbrace{\langle \varphi_{>}^\alpha \rangle_{0,>}}_{=0} + R''[\varphi_{<}^{\alpha,\nu}] \langle (\varphi_{>}^\alpha)^2 - \varphi_{>}^\alpha \varphi_{>}^\nu \rangle_{0,>} \\ &+ \mathcal{O}(\langle \langle (\varphi_{>}^{\alpha,\nu})^3 \rangle \rangle_{0,>}) \end{aligned} \quad (4.26)$$

(Zur Berechnung der Kumulante im quadratischen Teil wurde das Wick-Theorem benutzt.) Obiger Ausdruck bedeutet, dass  $\tilde{S}_{1,<}^n$  außer  $\tilde{S}_{R,<}^n$  noch Korrekturen zu  $\tilde{V}$  und, wie wir gleich sehen werden, auch zu  $\tilde{g}$  liefert. Im folgenden wird nur noch der interessante Anteil

$$R''[\varphi_{<}^{\alpha,\nu}] \langle (\varphi_{>}^\alpha)^2 - \varphi_{>}^\alpha \varphi_{>}^\nu \rangle_{0,>} \quad (4.27)$$

untersucht. Betrachten wir zunächst den Teilausdruck  $R''[\varphi_{<}^{\alpha,\nu}] \langle (\varphi_{>}^\alpha)^2 \rangle_{0,>}$ . Es ist  $R''[\varphi_{<}^{\alpha,\nu}] = -p^2 R[\varphi_{<}^{\alpha,\nu}]$  und

$$\langle \varphi_{>}^{\alpha 2} \rangle_{0,>} = \frac{v^2}{L^d \beta c} \sum_{\underline{k}, n}^> \frac{1}{(v\underline{k})^2 + \omega_n^2} = \frac{v^2}{\beta c} \int^> \frac{d^d \underline{k}}{(2\pi)^d} \sum_n \frac{1}{(v\underline{k})^2 + \omega_n^2} \quad (4.28)$$

wobei das  $>$  andeuten soll, dass die Summe bzw. das Integral nur über Impulse mit  $\Lambda/b < |\underline{k}| \leq \Lambda$  läuft. Die Frequenzsumme läßt sich mit (A.2.3) ausrechnen <sup>5</sup>

$$\begin{aligned} \dots &= \frac{v^2}{\beta c} \left( \frac{\hbar\beta}{2\pi} \right)^2 \int^> \frac{d^d \underline{k}}{(2\pi)^d} \frac{\pi}{|a|} \coth(\pi|a|) \quad , \quad a = v|\underline{k}| \frac{\hbar\beta}{2\pi} \\ &= \frac{v\hbar}{c} \frac{S_d}{(2\pi)^d} \int_{\lambda/b}^{\Lambda} \frac{k^{d-1}}{k} \coth\left(\frac{\lambda_T}{2} k\right) dk \\ &= \frac{v\hbar}{c} K_d \Lambda^{d-1} \coth(\lambda_T \Lambda/2) \ln(b). \end{aligned} \quad (4.29)$$

<sup>5</sup>da wir bei endlichen Temperaturen sind, darf hier nicht zum Integral  $\int d\omega$  übergegangen werden!

Wir erhalten folgende Korrektur des Unordnungsparameters  $\epsilon$ :

$$\boxed{\epsilon \rightarrow \epsilon' = \epsilon \left(1 - p^2 \tilde{g} K_d \coth(\tilde{g}/(2\tilde{t})) \ln b\right)}. \quad (4.30)$$

Nun kommen wir zum zweiten Term von (4.27), welcher eine Korrektur zum Parameter  $\tilde{g}$  liefert. Dazu wird eine Gradientenentwicklung von  $R''[\varphi_{<}^{\alpha,\nu}]$  durchgeführt, wozu man zu neuen Koordinaten ("Relativ- und Schwerpunktskoordinaten in  $\tau$ -Richtung")

$$\begin{aligned} \tau + \tau' &\equiv 2u, & u &\in [0, \hbar\beta] \\ \tau - \tau' &\equiv 2w, & w &\in [-\hbar\beta/2, \hbar\beta/2] \end{aligned}$$

übergeht und  $\varphi_{<}^{\alpha,\alpha}$  um  $u$  in  $w$  entwickelt:

$$\varphi_{<}^{\alpha,\alpha} = \varphi_{<}^{\alpha}(\underline{x}, u+w) - \varphi_{<}^{\alpha}(\underline{x}, u-w) = 0 + 2 \frac{\partial \varphi_{<}^{\alpha}}{\partial u}(\underline{x}, u)w + \mathcal{O}(w^2) \quad (4.31)$$

Die Replicaindices sind hier gleich, da nach (4.16) ein Kronecker-Delta in der Korrelationsfunktion  $\langle \varphi_{>}^{\alpha} \varphi_{>}^{\nu} \rangle_{0,>}$  auftritt. Mit (4.31) wird  $R''$  um 0 entwickelt:

$$R''[\varphi_{<}^{\alpha,\alpha}] = R''[0] + \frac{1}{2} R''''[0] \left( 2 \frac{\partial \varphi_{<}^{\alpha}}{\partial u}(\underline{x}, u)w \right)^2 + \mathcal{O} \left[ w^3, \left( 2 \frac{\partial \varphi_{<}^{\alpha}}{\partial u}(\underline{x}, u)w \right)^3 \right] \quad (4.32)$$

**Bemerkung:** Wäre  $\varphi_{<}^{\alpha,\alpha}$  eine zeitlich lokale Funktion, würde  $R''[\varphi_{<}^{\alpha,\alpha}] = R''[0] = \text{const.}$  von den langwelligen Anteilen des Feldes unabhängig sein, d.h. man würde nur eine unbedeutende Konstante als Korrektur bekommen, die auch in (4.32) als Term 0. Ordnung auftaucht, welche ich im weiteren nicht mehr beachte.  $\diamond$

Der volle Korrekturterm lautet (bei der Integral-Transformation zu  $u$  und  $w$  wurde die Jacobi-Determinante von  $1/4$  berücksichtigt):

$$\frac{1}{2} \int_0^{\hbar\beta} du \int_{-\hbar\beta/2}^{\hbar\beta/2} dw \int d^d \underline{x} R''''[0] \left( \frac{\partial \varphi_{<}^{\alpha}}{\partial u}(\underline{x}, u)w \right)^2 \frac{v^2}{L^d \beta c} \sum_{\underline{k}, n} > \frac{e^{i\omega_n 2w}}{(v\underline{k})^2 + \omega_n^2} \quad (4.33)$$

Die Frequenzsumme kann nun mit (A.2.5) und anschließend das  $w$ -Integral mit (A.2.6) berechnet werden, wobei insbesondere die Bedingung in (A.2.6) beachtet werden muß. Zu bemerken ist, dass der Wert der Frequenzsumme mit  $w$  auf dem Integrationsintervall exponentiell abfällt und somit die Entwicklung (4.31) bzw. (4.32) rechtfertigt. Letzendlich erhält man mit  $R''''[0] = \frac{V^2}{2\hbar^2} p^4$  ( $u \rightarrow \tau$ )

$$\int_0^{\hbar\beta} d\tau \int d^d \underline{x} (\partial_{\tau} \varphi_{<}^{\alpha})^2 \left( \frac{p^4}{2} K_d \frac{V^2}{\hbar v^2 c} \int_{\Lambda/b}^{\Lambda} dk \frac{k^{d-1}}{k^4} \left[ 1 - \frac{\lambda_T k/2}{\sinh(\lambda_T k/2)} \right] \right). \quad (4.34)$$

Der (Massen-)Koeffizient des kinetischen Terms wird in erster Ordnung wie folgt durch den Unordnungsterm renormiert:

$$\boxed{\left( \frac{c}{2\hbar v^2} \right) \rightarrow \left( \frac{c}{2\hbar v^2} \right)' = \left( \frac{c}{2\hbar v^2} \right) \left( 1 + p^4 K_d \tilde{V}^2 \left[ 1 - \frac{\tilde{g}/(2\tilde{t})}{\sinh(\tilde{g}/(2\tilde{t}))} \right] \ln b \right)} \quad (4.35)$$

Zu bemerken ist, dass es zur elastischen Konstante in dieser Ordnung keine RG-Korrekturen durch die Unordnung gibt. Diese würde man erst mit  $A_2$  bekommen. Die entgültigen Flussgleichungen werden in Abschnitt 4.6 bestimmt.

### 4.5 RG der "phase-slips"

In diesem Abschnitt werden die Renormierungskorrekturen zu  $\tilde{g}$ ,  $\tilde{t}$  und  $\tilde{\lambda}$  durch den phase-slip Term hergeleitet. Gleichzeitig wird auch die RG eines 1 + 1-dimensionalen *Sinus-Gordon*-Modells bei endlichen Temperaturen behandelt, welches auch durch  $\tilde{S}_\theta$  beschrieben wird. In diesem Abschnitt wird der Index  $\theta$  weggelassen.

Analog zu (4.21) wird auch in diesem Fall der Kumulantenmittelwert des phase-slip-Terms in eine Störreihe in  $\lambda/\hbar$  entwickelt:

$$\left\langle \left\langle e^{-\tilde{S}_\lambda[\{\theta_\leq\}]} - 1 \right\rangle \right\rangle_{0,>} \equiv \sum_{k=1}^{\infty} B_k \left( \frac{\lambda}{\hbar} \right)^k \quad (4.36)$$

wobei

$$\tilde{S}_\lambda[\{\theta_\leq\}] = \frac{\lambda}{\hbar} \int d\tau \int dx \cos(q\theta). \quad (4.37)$$

In erster Ordnung ( $B_1$ ) erhält man eine einfache Korrektur zu  $\tilde{\lambda}$  und die zweite Ordnung ( $B_2$ ) liefert Korrekturen zu  $\tilde{g}$  und  $\tilde{t}$ .

Beginnen wir zunächst mit

$$B_1 = \left\langle \left\langle \int d\tau \int dx \cos(q\theta) \right\rangle \right\rangle_{0,>}, \quad (4.38)$$

und setzen wieder  $\theta = \theta_< + \theta_>$ . Mit (A.2.10) erhält man sofort:

$$\begin{aligned} \langle \cos(q\theta) \rangle_{0,>} &= \cos(q\theta_<) \langle \cos(q\theta_>) \rangle_{0,>} + \sin(q\theta_<) \langle \sin(q\theta_>) \rangle_{0,>} \\ &= \cos(q\theta_<) e^{-\frac{q^2}{2} \langle \theta_> \rangle_{0,>}}, \end{aligned} \quad (4.39)$$

und mit (3.25):

$$\langle \theta_> \rangle_{0,>} = \frac{\pi c}{2\hbar v} \int_{\Lambda/b}^{\Lambda} \frac{dk}{k} \coth(\lambda_T k/2) = \frac{\pi c}{2\hbar v} \coth(\lambda_T \Lambda/2) \ln b. \quad (4.40)$$

Der Parameter  $\lambda$  wird in erster Ordnung durch

$$\lambda \rightarrow \lambda' = \lambda \left( 1 - \frac{q^2 \pi}{4\tilde{g}} \coth(\tilde{g}/(2\tilde{t})) \ln b \right) \quad (4.41)$$

renormiert.

Für die Beträge aus der zweiten Ordnung ist die Rechnung etwas aufwendiger, da hier die einfache Gradientenentwicklung, wie sie im vorigen Abschnitt benutzt wurde, nur divergente Beiträge liefern würde. Der Koeffizient  $B_2$  ist gegeben durch

$$B_2 = \frac{1}{2} \int d\tau d\tau' \int dx dx' \langle \langle \cos(q\theta(x, \tau)) \cos(q\theta(x', \tau')) \rangle \rangle_{0,>}. \quad (4.42)$$

Mit Hilfe des Wick'schen Theorems und der Entwicklung aller  $\cos$ -Terme in  $\theta_>$  vereinfacht sich dieser Ausdruck zu

$$\begin{aligned} \langle \langle \cos(q\theta) \cos(q\theta') \rangle \rangle_{0,>} &= \langle \cos(q\theta) \cos(q\theta') \rangle_{0,>} - \langle \cos(q\theta) \rangle_{0,>} \langle \cos(q\theta') \rangle_{0,>} \\ &\approx q^2 \sin(q\theta_<) \sin(q\theta'_<) \langle \theta_> \theta'_> \rangle_{0,>} \\ &= \frac{q^2}{2} (\cos(q(\theta_< - \theta'_<)) - \cos(q(\theta_< + \theta'_<))) \langle \theta_> \theta'_> \rangle_{0,>} \end{aligned} \quad (4.43)$$

mit  $\theta' \equiv \theta(x', \tau')$ . Der Term  $\cos(q(\theta_{<} + \theta'_{<}))$  wird im weiteren nicht mehr berücksichtigt, da dieser im Fall  $x = x'$  und  $\tau = \tau'$ , die zweite Harmonische zur "Grundschiwingung" wird und daher unter der RG weniger relevante Korrekturen liefert als der erste Term in (4.43) [JKKN77, KdO80].

Die Korrelationsfunktion in (4.43) ist mit (3.25) wiederum einfach zu erhalten:

$$\langle \theta_{>} \theta'_{>} \rangle_{0,>} = \frac{\pi c}{2v\hbar} \cos(\Lambda(x - x')) \frac{\cosh\left(\left(1 - 2|\tau - \tau'|/(\hbar\beta)\right) \frac{\lambda_T \Lambda}{2}\right)}{\sinh(\lambda_T \Lambda/2)} \ln b. \quad (4.44)$$

Nun betrachten wir den Term  $\cos(q(\theta_{<} - \theta'_{<}))$ . Wie schon erwähnt liefert die einfache, naive Entwicklung dieses Cosinus-Terms bis zur zweiten Ordnung in  $\Delta\theta_{<} \equiv \theta_{<} - \theta'_{<}$  divergente Korrekturterme (siehe z.B. Diskussion in [God92, Kap. 4] von P. Nozières).

Um diesen Term besser zu erfassen, müssen wir eine (einfache) *Operatorproduktentwicklung* durchführen, welche alle Ordnungen der Cosinus-Reihe mit berücksichtigt. Dazu wird aus jedem Term der Form  $(\Delta\theta_{<})^{2n}$  für  $n > 1$  der relevante marginale Anteil  $(\Delta\theta_{<})^2$  extrahiert. Dies erreicht man, indem man zunächst folgenden Mittelwert betrachtet:

$$\langle \cos(q\Delta\theta_{<}) \rangle_{0,<} = 1 + \left\langle (q\Delta\theta_{<})^2 \sum_{n=1}^{\infty} \frac{(-1)^n}{(2n)!} (q\Delta\theta_{<})^{2n-2} \right\rangle_{0,<} \quad (4.45)$$

Jeden Summanden in dieser Darstellung kann man nun teilweise auswerten:

$$\left\langle (q\Delta\theta_{<})^2 \frac{(-1)^n}{(2n)!} (q\Delta\theta_{<})^{2n-2} \right\rangle_{0,<} = \binom{2n}{2} \frac{(-1)^n}{(2n)!} \langle (q\Delta\theta_{<})^2 \rangle_{0,<} \langle (q\Delta\theta_{<})^{2n-2} \rangle_{0,<}. \quad (4.46)$$

Der zu untersuchende Term kann mit dieser Überlegung geschrieben werden als

$$\cos(q\Delta\theta_{<}) \approx 1 + (q\Delta\theta_{<})^2 \left( \sum_{n=1}^{\infty} \binom{2n}{2} \frac{(-1)^n}{(2n)!} \langle (q\Delta\theta_{<})^{2n-2} \rangle_{0,<} \right), \quad (4.47)$$

d.h. für Terme höherer Ordnung wird jeweils ein Teilmittelwert ausgeführt, um den marginalen Anteil zu erhalten. Mit Hilfe des Wick-Theorems kann man

$$\langle (q\Delta\theta_{<})^{2n-2} \rangle_{0,<} = \frac{(2n-2)!}{2^{n-1}(n-1)!} \langle (q\Delta\theta_{<})^2 \rangle_{0,<}^{n-1} \quad (4.48)$$

ausrechnen [Kad79, KdO80] und bekommt nun als Entwicklung des Cosinus-Terms:

$$\cos(q\Delta\theta_{<}) = 1 - \frac{1}{2} (q\Delta\theta_{<})^2 e^{-\frac{q^2}{2} \langle (\Delta\theta_{<})^2 \rangle_{0,<}}. \quad (4.49)$$

Da Korrekturen zu  $\tilde{t}$  und  $\tilde{g}$  berechnet werden sollen, wird, ähnlich dem Vorgehen im vorigen Abschnitt,  $(q\Delta\theta_{<})^2$  in neue Koordinaten

$$\begin{aligned} 2s &\equiv x + x' & , & & 2r &\equiv x - x' \\ 2u &\equiv \tau + \tau' & , & & 2w &\equiv \tau - \tau' \end{aligned}$$

umgeschrieben (Jacobideterminante  $(1/4)^2$ ) und in den "Relativ"-Koordinaten  $r$  und  $w$  entwickelt. Als relevante Terme bleiben übrig

$$(q\Delta\theta_{<})^2 = q^2 \left[ \left( 2 \frac{\partial\theta_{<}(s,u)}{\partial s} r \right)^2 + \left( 2 \frac{\partial\theta_{<}(s,u)}{\partial u} w \right)^2 + \dots \right]. \quad (4.50)$$

Insgesamt erhält man nach einigen Umformungen und den Umbenennungen  $u \rightarrow \tau$  und  $s \rightarrow x$  den Korrekturterm der RG zu  $\tilde{S}_0[\theta_{<}]$ :

$$\begin{aligned} & -\frac{\pi c}{2v\hbar} \left( \frac{\lambda}{\hbar} \right)^2 \frac{q^4}{\sinh(\lambda_T \Lambda/2)} \int_0^{\hbar\beta} d\tau \int_0^L dx \int_0^{\hbar\beta/4} dw \int_0^\infty dr \\ & \times \left[ \left( r \frac{\partial\theta_{<}(x,\tau)}{\partial x} \right)^2 + \left( w \frac{\partial\theta_{<}(x,\tau)}{\partial \tau} \right)^2 \right] e^{-\frac{q^2}{2} \langle (\theta_{<}(x+r,\tau+w) - \theta_{<}(x-r,\tau-w))^2 \rangle_{0,<}} \\ & \times \cos(2\Lambda r) \cosh \left( \left( 1 - \frac{4w}{\hbar\beta} \right) \lambda_T \Lambda/2 \right) \ln b \end{aligned} \quad (4.51)$$

Die Korrelationsfunktion wurde schon in (3.25) berechnet und lautet für  $T > 0$  mit der Substitution  $\tilde{k} = \lambda_T k/2$  und  $\tilde{r} = 4r/\lambda_T$ ,  $\tilde{w} = 4w/(\hbar\beta)$ :

$$\begin{aligned} & \langle (\theta_{<}(x+r,\tau+w) - \theta_{<}(x-r,\tau-w))^2 \rangle_{0,<} \\ & = \frac{\pi}{\tilde{g}} \int_0^{\tilde{g}/(2\tilde{t})} \frac{d\tilde{k}}{\tilde{k}} \left( \coth(\tilde{k}) - \cos(\tilde{r}\tilde{k}) \frac{\cosh((1-\tilde{w})\tilde{k})}{\sinh(\tilde{k})} \right) \equiv \frac{\pi}{\tilde{g}} f_c(\tilde{g}/(2\tilde{t}); \tilde{r}, \tilde{w}) \end{aligned} \quad (4.52)$$

Da die Integrale über  $r$  und  $w$  nicht weiter berechnet werden können, definiere ich folgende Funktionen:

$$\begin{aligned} f_x(y,z) & \equiv \frac{1}{64} \int_0^\infty dr \int_0^1 dw r^2 e^{-\frac{q^2\pi}{2y} f_c(z;r,w)} \cos(zr) \cosh((1-|w|)z) \\ f_\tau(y,z) & \equiv \frac{1}{64} \int_0^\infty dr \int_0^1 dw w^2 e^{-\frac{q^2\pi}{2y} f_c(z;r,w)} \cos(zr) \cosh((1-|w|)z) \end{aligned}$$

Damit lassen sich die renormierte elastische Konstante und Masse in  $\tilde{S}$  in kompakter Form schreiben als:

$$\boxed{\left( \frac{\hbar v^2}{2\pi^2 c} \right) \rightarrow \left( \frac{\hbar v^2}{2\pi^2 c} \right)' = \left( \frac{\hbar v^2}{2\pi^2 c} \right) \left( 1 - \frac{\pi^3 \tilde{\lambda}^2}{4 \tilde{t}^4} \frac{q^4}{\sinh(\tilde{g}/(2\tilde{t}))} f_x(\tilde{g}, \tilde{g}/(2\tilde{t})) \ln b \right)} \quad (4.53)$$

und

$$\boxed{\left( \frac{\hbar}{2\pi^2 c} \right) \rightarrow \left( \frac{\hbar}{2\pi^2 c} \right)' = \left( \frac{\hbar}{2\pi^2 c} \right) \left( 1 - \frac{\pi^3 \tilde{\lambda}^2}{4 \tilde{t}^4} \frac{q^4}{\sinh(\tilde{g}/(2\tilde{t}))} f_\tau(\tilde{g}, \tilde{g}/(2\tilde{t})) \ln b \right)}, \quad (4.54)$$

woraus Beträge zu den im nächsten Abschnitt dargestellten Flussgleichungen für  $\tilde{g}$  und  $\tilde{t}$  folgen. Vorher schauen wir uns die Korrekturen bei  $T = 0$  an. Dazu gehen wir zu (4.51) zurück und bilden in diesem Ausdruck den Limes  $T \rightarrow 0$  und finden:

$$\frac{\cosh \left( \left( 1 - \frac{4w}{\hbar\beta} \right) \lambda_T \Lambda/2 \right)}{\sinh(\lambda_T \Lambda/2)} \xrightarrow{\beta \rightarrow \infty} e^{-2vw\Lambda}. \quad (4.55)$$

Mit den Substitutionen  $\tilde{k} = k/\Lambda$ ,  $\tilde{r} = 2\Lambda r$ ,  $\tilde{w} = 2\Lambda vw$  und (4.55) für  $k$  statt  $\Lambda$ , läßt sich die Korrelationsfunktion (3.25) wie folgt schreiben:

$$\begin{aligned} & \langle (\theta_{<}(x+r, \tau+w) - \theta_{<}(x-r, \tau-w))^2 \rangle_{0,<} \\ &= \frac{\pi}{\tilde{g}} \int_0^1 \frac{d\tilde{k}}{\tilde{k}} \left( 1 - \cos(\tilde{k}\tilde{r}) e^{-\tilde{k}\tilde{w}} \right) \end{aligned} \quad (4.56)$$

$$= \frac{\pi}{\tilde{g}} \left( \ln(\tilde{w}^2 + \tilde{r}^2)/2 + \gamma + \Omega(\tilde{r}, \tilde{w}) \right) \quad \text{mit} \quad (4.57)$$

$$\Omega(\tilde{r}, \tilde{w}) \equiv e^{-\tilde{w}} \int_{\tilde{r}}^0 \frac{x \cos x + \tilde{r} \sin x}{x^2 + \tilde{r}^2} dx + \int_{\tilde{r}}^{\infty} \frac{e^{-x}}{x} dx$$

mit  $\gamma = 0.577216\dots$ , der *Eulerschen Konstanten*<sup>6</sup>. Die Funktion  $\Omega(\tilde{r}, \tilde{w})$  ist so gewählt, dass sie für große  $\tilde{r}$  und  $\tilde{w}$  verschwindet, d.h. das asymptotische Verhalten der Korrelationsfunktion ist, wie in zwei (räumlichen) Dimensionen, logarithmisch mit  $|\underline{r}|$ .

Mit den Definitionen

$$f_x^0(\tilde{g}) \equiv \frac{1}{16} \int_0^{\infty} d\tilde{r} \int_0^{\infty} d\tilde{w} \tilde{r}^2 e^{-\frac{q^2\pi}{2\tilde{g}} f_c^0(\tilde{w}, \tilde{r})} \cos(\tilde{r}) e^{-\tilde{w}} \quad (4.58)$$

$$f_\tau^0(\tilde{g}) \equiv \frac{1}{16} \int_0^{\infty} d\tilde{r} \int_0^{\infty} d\tilde{w} \tilde{w}^2 e^{-\frac{q^2\pi}{2\tilde{g}} f_c^0(\tilde{w}, \tilde{r})} \cos(\tilde{r}) e^{-\tilde{w}} \quad \text{mit} \quad (4.59)$$

$$f_c^0(\tilde{w}, \tilde{r}) \equiv \left( \ln(\tilde{w}^2 + \tilde{r}^2)/2 + \gamma + \Omega(\tilde{r}, \tilde{w}) \right) \quad (4.60)$$

erhält man bei  $T = 0$  folgende RG-Korrekturen:

$$\left( \frac{\hbar v^2}{2\pi^2 c} \right) \rightarrow \left( \frac{\hbar v^2}{2\pi^2 c} \right)' = \left( \frac{\hbar v^2}{2\pi^2 c} \right) \left( 1 - \frac{q^4 \pi^3 \tilde{\lambda}^2}{2 \tilde{g}^4} f_x^0(\tilde{g}) \right) \quad (4.61)$$

$$\left( \frac{\hbar}{2\pi^2 c} \right) \rightarrow \left( \frac{\hbar}{2\pi^2 c} \right)' = \left( \frac{\hbar}{2\pi^2 c} \right) \left( 1 - \frac{q^4 \pi^3 \tilde{\lambda}^2}{2 \tilde{g}^4} f_\tau^0(\tilde{g}) \right) \quad (4.62)$$

## 4.6 Reskalierung und Flussgleichungen

Wir können nun zunächst einmal die Flussgleichungen für  $\lambda = 0$  in  $d+1$  Dimensionen aufschreiben. Zuvor muß aber der Beitrag der Reskalierung (Punkt (ii) in dem eingangs beschriebenen Schema) bestimmt werden. Die Reskalierung von  $\tilde{S}_\varphi^n$  liefert:

$$\begin{aligned} c' &= c b^{d+z-2+2\zeta} \quad , \quad T' = T b^z \\ \left( \frac{c}{v^2} \right)' &= \left( \frac{c}{v^2} \right) b^{d+z-2z+2\zeta} \quad \text{und} \\ V'^2 &= V^2 b^{d+2z} \quad \Rightarrow \quad V' = V b^{d/2+z} . \end{aligned}$$

Für die dimensionslosen Parameter folgt:

$$\begin{aligned} \tilde{t}' &= \frac{T'}{c'} \Lambda^{d-2} = \tilde{t} b^{2-d-2\zeta} \\ \tilde{g}' &= \hbar \left( c' \left( \frac{c}{v^2} \right)' \right)^{-1/2} \Lambda^{d-1} = \tilde{g} b^{1-d-2\zeta} \\ \tilde{V}' &= V' (c')^{-1} \Lambda^{d/2-2} = \tilde{V} b^{2-d/2-2\zeta} \end{aligned}$$

<sup>6</sup>Zur Herleitung der Identität \* wurde Mathematica benutzt.

Die Flussgleichungen lauten damit und den in Abschnitt 4.4 hergeleiteten RG Korrekturen (s. Punkt (iii) im RG-Schema):

$$\frac{d\tilde{t}}{d\ln b} = [2 - d - 2\zeta] \tilde{t} \quad (4.63)$$

$$\frac{d\tilde{g}}{d\ln b} = \left[ 1 - d - 2\zeta - \frac{p^4}{2} K_d \tilde{V}^2 \left( 1 - \frac{\tilde{g}/(2\tilde{t})}{\sinh(\tilde{g}/(2\tilde{t}))} \right) \right] \tilde{g} \quad (4.64)$$

$$\frac{d\tilde{V}}{d\ln b} = \left[ 2 - d/2 - 2\zeta - \frac{p^2}{2} \tilde{g} K_d \coth(\tilde{g}/(2\tilde{t})) \right] \tilde{V} \quad (4.65)$$

Mit  $\lim_{x \rightarrow \infty} \coth(x) = 1$  kann man diese Gleichungen für  $T = 0$  aufschreiben:

$$\frac{d\tilde{g}}{d\ln b} = \left[ 1 - d - 2\zeta - \frac{p^4}{2} K_d \tilde{V}^2 \right] \tilde{g} \quad (4.66)$$

$$\frac{d\tilde{V}}{d\ln b} = \left[ 2 - d/2 - 2\zeta - \frac{p^2}{2} \tilde{g} K_d \right] \tilde{V} \quad (4.67)$$

Durch die Reskalierung von  $\tilde{S}_\theta$  erhält man folgende Beziehungen ( $\theta' = \theta b^{\zeta'}$ ):

$$\begin{aligned} \left(\frac{1}{c}\right)' &= \left(\frac{1}{c}\right) b^{1-z+2\zeta'} \\ \left(\frac{v^2}{c}\right)' &= \left(\frac{v^2}{c}\right) b^{z-1+2\zeta'} \\ \lambda' &= \lambda b^{1+z} \end{aligned}$$

Aus der Kommutatorrelation für  $\theta$  und  $\varphi$ , welche auf allen Längenskalen die gleiche Form haben soll, folgt sofort  $\zeta' = -\zeta$  und damit für die dimensionslosen Parameter folgt:

$$\tilde{t}' = \tilde{t} b^{1-2\zeta}, \quad \tilde{g}' = \tilde{g} b^{-2\zeta}, \quad \tilde{\lambda}' = \tilde{\lambda} b^{2-2\zeta}, \quad (4.68)$$

d.h. in  $d = 1$  für  $\tilde{t}$  und  $\tilde{g}$  dieselben wie für  $\tilde{S}_\varphi^n$ . Mit den im vorigen Abschnitt hergeleiteten RG-Korrekturen erhält man folgende Flussgleichungen für  $\tilde{t}$ ,  $\tilde{g}$  und  $\tilde{\lambda}$ :

$$\frac{d\tilde{t}}{d\ln b} = \left( 1 - 2\zeta - \frac{\pi^3 \tilde{\lambda}^2}{4 \tilde{t}^4} \frac{q^4}{\sinh(\tilde{g}/(2\tilde{t}))} f_\tau(\tilde{g}, \tilde{g}/(2\tilde{t})) \right) \tilde{t} \quad (4.69)$$

$$\frac{d\tilde{g}}{d\ln b} = \left( -2\zeta - \frac{\pi^3 \tilde{\lambda}^2}{8 \tilde{t}^4} \frac{q^4}{\sinh(\tilde{g}/(2\tilde{t}))} (f_x(\tilde{g}, \tilde{g}/(2\tilde{t})) + f_\tau(\tilde{g}, \tilde{g}/(2\tilde{t}))) \right) \tilde{g} \quad (4.70)$$

$$\frac{d\tilde{\lambda}}{d\ln b} = \left( 2 - 2\zeta - \frac{q^2 \pi}{4\tilde{g}} \coth(\tilde{g}/(2\tilde{t})) \right) \tilde{\lambda} \quad (4.71)$$

oder für  $T = 0$ :

$$\frac{d\tilde{g}}{d\ln b} = \left( -2\zeta - \frac{q^4 \pi^3 \tilde{\lambda}^2}{4 \tilde{g}^4} (f_x^0(\tilde{g}) + f_\tau^0(\tilde{g})) \right) \tilde{g} \quad (4.72)$$

$$\frac{d\tilde{\lambda}}{d\ln b} = \left( 2 - 2\zeta - \frac{q^2 \pi}{4\tilde{g}} \right) \tilde{\lambda} \quad (4.73)$$

In den Flussgleichungen für  $\tilde{\lambda}$  wurden jeweils nur Korrekturen bis zur ersten Ordnung in  $\tilde{\lambda}$  berücksichtigt.

In  $d = 1$  können die Flussgleichungen aller vier Parameter für  $T > 0$  kombiniert werden und man erhält zusammenfassend folgenden Satz von partiellen Differentialgleichungen:

$\frac{d\tilde{t}}{d \ln b} = [1 - 2\zeta - F_\tau] \tilde{t} \quad (4.74)$
$\frac{d\tilde{g}}{d \ln b} = \left[ -2\zeta - \frac{p^4}{2\pi} \tilde{V}^2 \left( 1 - \frac{\tilde{g}/(2\tilde{t})}{\sinh(\tilde{g}/(2\tilde{t}))} \right) - (F_x + F_\tau)/2 \right] \tilde{g} \quad (4.75)$
$\frac{d\tilde{V}}{d \ln b} = \left[ \frac{3}{2} - 2\zeta - \frac{p^2}{2\pi} \tilde{g} \coth(\tilde{g}/(2\tilde{t})) \right] \tilde{V} \quad (4.76)$
$\frac{d\tilde{\lambda}}{d \ln b} = \left[ 2 - 2\zeta - \frac{q^2 \pi}{4} \tilde{g}^{-1} \coth(\tilde{g}/(2\tilde{t})) \right] \tilde{\lambda} \quad (4.77)$

wobei  $F_x$  und  $F_\tau$  wie folgt definiert wurden

$$F_{x/\tau} = \frac{\pi^3 \tilde{\lambda}^2}{4 \tilde{t}^4} \frac{q^4}{\sinh(\tilde{g}/(2\tilde{t}))} f_{x/\tau}(\tilde{g}, \tilde{g}/(2\tilde{t})) \quad \text{mit} \quad (4.78)$$

$$f_x(y, z) = \frac{1}{64} \int_0^\infty dr \int_0^1 dw r^2 e^{-\frac{q^2 \pi}{2y} f_c(z; r, w)} h(z; r, w) \quad (4.79)$$

$$f_\tau(y, z) = \frac{1}{64} \int_0^\infty dr \int_0^1 dw w^2 e^{-\frac{q^2 \pi}{2y} f_c(z; r, w)} h(z; r, w) \quad \text{mit} \quad (4.80)$$

$$f_c(z; r, w) = \int_0^z \frac{dt}{t \sinh(t)} [\cosh(t) - \cos(tr) \cosh((1 - |w|)t)] \quad (4.81)$$

$$h(z; r, w) = \cos(zr) \frac{\cosh((1 - |w|)z)}{\sinh(z)}.$$

Korrekturen zu  $\tilde{V}$  bzgl.  $\tilde{\lambda}$  und umgekehrt wurden nicht berücksichtigt, da dies Korrekturen min. 2. Ordnung wären und man daher davon ausgehen kann, dass diese nur kleine Beiträge liefern, andererseits sind diese Korrekturen im Hinblick auf den in Abschnitt 3.3 beschriebenen (möglichen) phase-slip-Mechanismus interessant. Allerdings ist aufgrund der unterschiedlichen Beschreibung der Unordnung und der phase-slips eine Berechnung (wahrscheinlich) sehr aufwendig.

*Zur Wahl von  $\zeta$ :* Die beiden Wirkungen  $\mathcal{S}_\varphi$  und  $\mathcal{S}_\theta$  sind invariant unter dem Shift  $\varphi, \theta \rightarrow (\varphi + 2n\pi), (\theta + 2n\pi)$ . Andererseits liefert die Reskalierung  $\varphi = \varphi' b^\zeta$  im nichtlinearen Cosinus-Term einen zusätzlichen Term  $\propto \ln(b) \zeta \varphi \sin(p\varphi + \alpha(x))$  (analog für  $\theta$ , jeweils in erster Ordnung in  $\ln b$ ), sodass die reskalierten Wirkungen nicht mehr diese Symmetrie aufweisen. Daher sollte  $\zeta = 0$  sein.

## 4.7 numerische Auswertung und Flussdiagramme

In diesem Abschnitt sollen die Flussgleichungen und Phasendiagramm ausführlich untersucht werden. Dazu beginnen wir mit dem Fall  $\lambda = 0$ .

Bisher war der Parameter  $p$  beliebig, um möglichst allgemein zu bleiben. Um die Flussgleichungen aber weiter untersuchen zu können, muss  $p$  fixiert werden. Im Fall der CDW ist  $p = 1$ , da das Unordnungspotential an die Ladungsdichte  $\rho(x)$  koppelt und in  $\rho p = 1$  ist. Außerdem wird  $\zeta = 0$  gesetzt.

Betrachten wird zunächst den einfachsten Fall  $T = 0$  in  $d = 1$ .

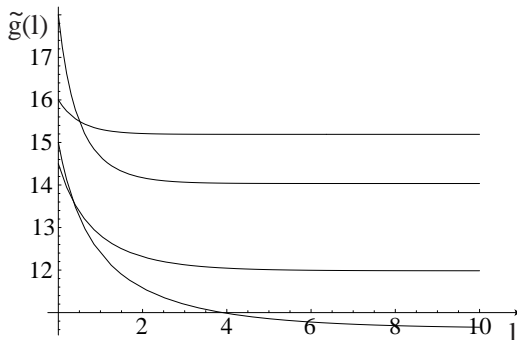


Abbildung 24: Fluss von  $\tilde{g}$  für verschiedene Startwerte in der delokalisierten Phase.

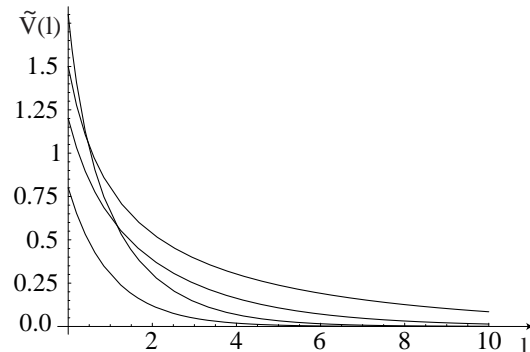


Abbildung 25: Fluss von  $\tilde{V}$  in der delokalisierten Phase.

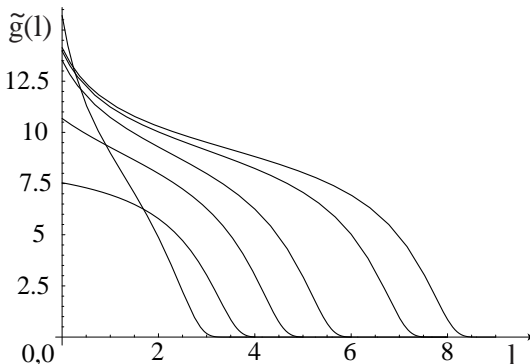


Abbildung 26: Fluss von  $\tilde{g}$  in der lokalisierten Phase.

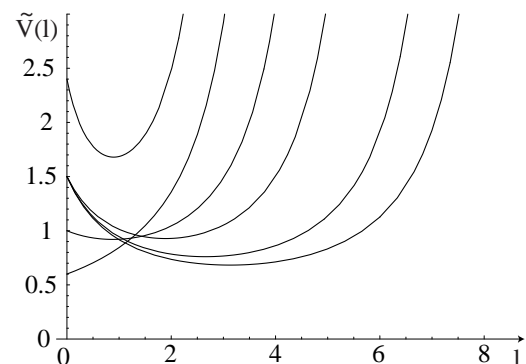


Abbildung 27: Fluss von  $\tilde{V}$  in der lokalisierten Phase.

Die Flussgleichungen werden mit einem *Runge-Kutta*-Verfahren numerisch integriert. Typische Flüsse der Parameter  $\tilde{g}$  und  $\tilde{V}$  sind in den Abbildungen 24–27 aufgezeichnet.

Zeichnet man die Flüsse in der  $\tilde{g}$ - $\tilde{V}$ -Ebene erhält man das in Abb. 28 numerisch bestimmte Phasendiagramm. Wie man sieht, gibt es zwei unterschiedliche Bereiche (Phasen) der Startwerte: eine **lokalisierte Phase**, in der die Unordnung relevant wird und  $\tilde{V}$  für jeden Startwert aus der Phase gegen unendlich fließt (und  $\tilde{g}$  gegen 0), und eine **delokalisierte Phase**, in der die Unordnung irrelevant wird. Beide Phasen werden durch eine Separatrix voneinander getrennt, welche im Fixpunkt  $(\tilde{g}_{c_1} = 3\pi, \tilde{V} = 0)$  endet.

Diese einfachen Flüsse in der  $\tilde{g}$ - $\tilde{V}$ -Ebene, d.h. die Funktion  $\tilde{V}(\tilde{g})$  kann auch analytisch bestimmt werden. Dazu werden die beiden partiellen Differentialgleichungen (PDGLn)

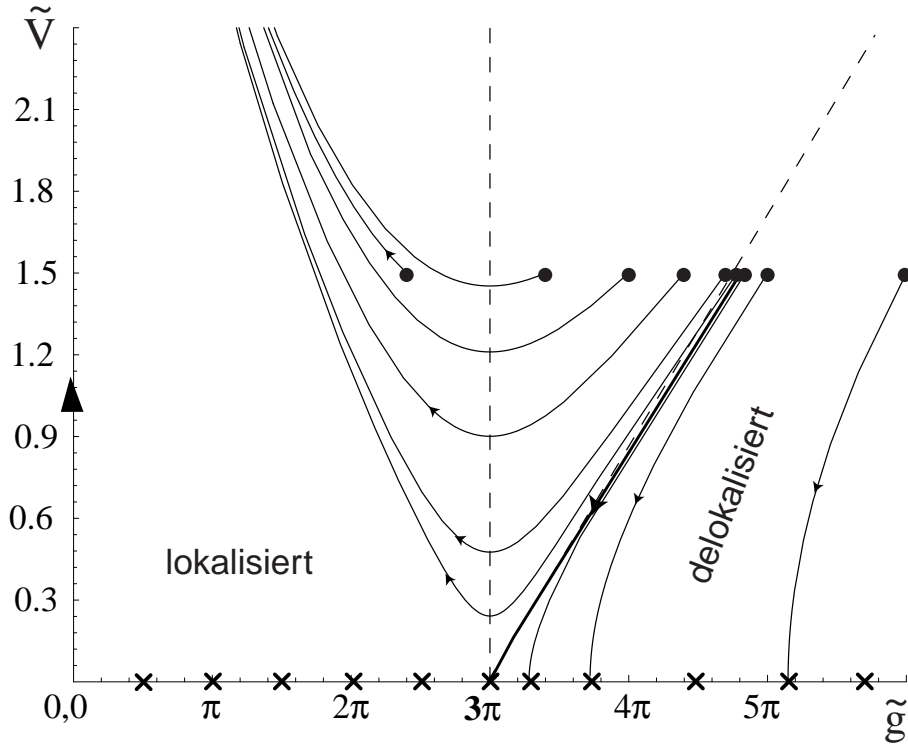


Abbildung 28: Typische Flüsse bei  $T = 0$  in der  $\tilde{V}$ - $\tilde{g}$ -Ebene. Anfangswerte sind mit einem Kreis gekennzeichnet, die Flussrichtung mit einem Pfeil. Kreuze stehen für Fixpunkte der Parameter. Die Separatrix ist fett gezeichnet.

durcheinander dividiert, womit man die einfache gewöhnliche DGL

$$\frac{d\tilde{V}}{d\tilde{g}} = \frac{1}{\tilde{V}} \left( 1 - \frac{3\pi}{\tilde{g}} \right) \quad (4.82)$$

erhält. Diese DGL hat für  $\tilde{V} \geq 0$  folgende Lösung <sup>7</sup>

$$\tilde{V}(\tilde{g}) = \sqrt{2(\tilde{g} - 3\pi \ln(\tilde{g}) + c_g)}, \quad (4.83)$$

wobei  $c_g$  eine Konstante ist, welche von den Anfangswerten abhängt.

Für die Separatrix mit  $\tilde{V}(3\pi) = 0$  erhält man folgende Gleichung:

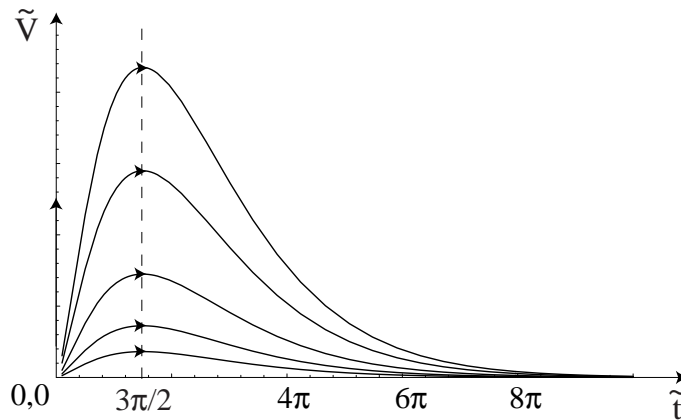
$$\tilde{V}_{sep}(\tilde{g}) = [2\tilde{g} - 6\pi(1 + \ln(\tilde{g}/(3\pi)))]^{1/2}, \quad \tilde{g} \geq 3\pi. \quad (4.84)$$

Entwickelt man diesen Ausdruck um den Fixpunkt, erhält man einen kritischen Exponenten der Separatrix an diesem Fixpunkt von  $\kappa = 1$ :

$$\tilde{V}_{sep}(\tilde{g}) \propto (\tilde{g} - 3\pi)^\kappa, \quad \kappa = 1, \quad (4.85)$$

was auch gut in Abb. 28 (gestrichelte Linie) zu erkennen ist.

<sup>7</sup>einfach mit Separationsansatz integrierbar.

Abbildung 29: Typische Flüsse in der  $\tilde{t}$ - $\tilde{V}$ -Ebene.

Nun gehen wir zu  $T > 0$  über und betrachten zunächst den Fluss in der  $\tilde{t}$ - $\tilde{V}$ -Ebene mit  $\tilde{g} = 0$ : In diesem Fall haben die DGLn wieder eine einfache Form und können analytisch gelöst werden:

$$\tilde{t}(l) = c_1 e^l \quad (4.86)$$

$$\tilde{V}(l) = c_2 e^{-c_1 e^l / \pi + 3/2l} \quad (4.87)$$

oder

$$\tilde{V}(\tilde{t}) = c_t \tilde{t}^{3/2} e^{-\tilde{t}/\pi}. \quad (4.88)$$

Der Wert der Konstanten  $c_t$  hängt wieder von den Anfangswerten ab. Typische Flüsse sind in Abb. 29 dargestellt. Man sieht, dass bei beliebig kleiner, aber endlicher Temperatur die Unordnung irrelevant wird.

Dass dies auch bei endlichem  $\tilde{g}$  der Fall ist, wird in Abb. 30 und 31 verdeutlicht, in denen der Fluss einmal in Ebenen mit konstantem  $\tilde{g} > 0$  projiziert ist, und in Abb. 31 in Ebenen mit konstantem  $\tilde{t}$ .

In Abb. 29 erkennt man außerdem, dass es eine ausgezeichnete Temperatur  $\tilde{t}_c = 3\pi/2$  bei  $\tilde{g} = 0$  gibt, bei der sich der Fluss von  $\tilde{V}$  mit  $\tilde{t}$  umkehrt.

Für endliche  $\tilde{g}$  wird  $\tilde{t}_c(\tilde{g})$  (bzw.  $\tilde{g}_{c_1}(\tilde{t})$ ) durch die Gleichung  $3/2 - \tilde{g}/(2\pi) \coth(\tilde{g}/(2\tilde{t}_c(\tilde{g}))) = 0$  definiert. Die Lösungskurve  $\tilde{t}_c(\tilde{g})$  ist in Abb. 32 dargestellt. Im Bereich des Fixpunktes ( $\tilde{g}_{c_1} = 3\pi, \tilde{t} = 0$ ) kann der Verlauf durch  $\tilde{g}_{c_1}(\tilde{t}) \propto (3\pi - \tilde{t})^\sigma$  mit dem kritischen Exponenten  $\sigma = 0.250 \pm 0.002$  angenähert werden.

In Abb. 33 ist der Fluss aller drei Parameter (also  $\underline{\Phi}(l) \equiv (\tilde{t}(l), \tilde{g}(l), \tilde{V}(l))$ ) dreidimensional dargestellt.

---

Bevor wir die Flussgleichungen für  $\tilde{V} = 0$ ,  $\tilde{\lambda} > 0$  untersuchen können, muß der Verlauf der Funktionen  $f_x$  (4.79) und  $f_\tau$  (4.80) bestimmt werden. Dieser wurde numerisch für verschiedene Werte von  $\tilde{t}$  und  $\tilde{g}$  bestimmt. In den Abbildungen 34–37 ist der Graph dieser Funktionen dargestellt. Zwischen zwei benachbarten Werten, wurden die Funktionen kubisch interpoliert.

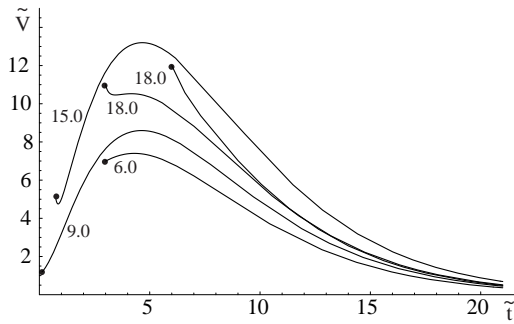


Abbildung 30: Flüsse in  $\tilde{t}$ - $\tilde{V}$ -Ebenen für verschiedene Werte von  $\tilde{g} > 0$ . An den Graphen stehen die Werte von  $\tilde{g}(0)$ . Startpunkte sind mit einem Kreis gekennzeichnet. (Da hier der Fluss zu kleinen  $\tilde{g}$  nicht dargestellt wird, sieht es so aus, als ob  $\tilde{V}(\tilde{t})$  immer bei  $\tilde{t} \approx 3\pi/2$  ein Maximum hat, was allerdings nicht der Fall ist - siehe Text.)

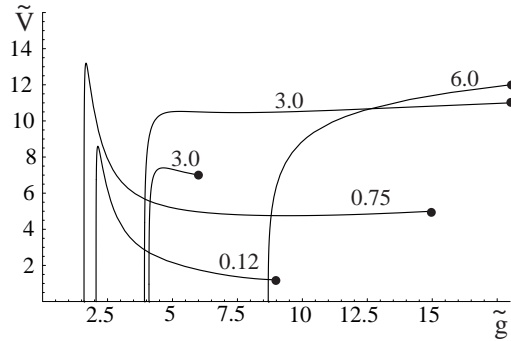


Abbildung 31: Flüsse in  $\tilde{g}$ - $\tilde{V}$ -Ebenen für verschiedene Werte von  $\tilde{t} > 0$ . An den Graphen stehen die Werte von  $\tilde{t}(0)$ .

Mit diesen Funktionen werden im folgenden die Flussgleichungen numerisch untersucht. Da die numerische Berechnung dieser Funktionen allerdings sehr zeitaufwendig ist (insbesondere für große  $\tilde{g}$  und  $\tilde{g}/(2\tilde{t})$ ), ist hier eine numerische Untersuchung der Flussgleichungen nur begrenzt möglich.

**Bemerkung 1:** Da die Funktion  $f_c$  bei endlichen Temperaturen für große  $\tilde{r}$  linear mit  $\tilde{r}$  ansteigt - d.h., dass die Paarkorrelationsfunktion sich aufgrund der beschränkten  $\tau$ -Ausdehnung des Systems für große  $\tilde{r}$  quasi eindimensional verhält - konvergiert das  $\tilde{r}$ -Integral in  $f_x$  und  $f_\tau$  und rechtfertigt wiederum die Entwicklung für kleine  $\tilde{r}$ . Die Konvergenz der  $\tilde{w}$ -Integrale ist in jedem Fall, durch die exponentiell abfallenden Funktionen, garantiert. Bei  $T = 0$  ist die Konvergenz des  $\tilde{r}$ -Integrals in  $f_x^0$  (4.58) wegen des logarithmischen Verhaltens der Paarkorrelationsfunktion (s. (4.60)) für bestimmte  $\tilde{g}$ -Werte nicht mehr gegeben, da das Integral

$$I_a(\alpha) \equiv \int_a^\infty \tilde{r}^{-\alpha} \cos(\tilde{r}) d\tilde{r} \quad , \quad a > 0$$

für  $\alpha \leq 0$  nicht mehr existiert (mit  $\lim_{\alpha \rightarrow 0} I_a(\alpha) = -\sin(a)$ ). Diese Bedingung definiert mit (4.58) einen kritischen Wert für  $\tilde{g}$ , denn für große  $\tilde{r}$  gilt  $\alpha \approx 2 - q^2\pi/4$ , womit  $f_x^0$  nur für  $\tilde{g} < q^2\pi/8$  existiert.  $\diamond$

**Bemerkung 2:** Wie schon in Abschnitt 3.3 und Abb. 22 angedeutet, setzen wir  $q = 2$ . Diese Wahl ist plausibel, da zum einen die Werte von  $q \in 2\mathbb{Z} \setminus \{0\}$  sein müssen (siehe Abb. 22) und außerdem  $q$  den minimalen Wert annimmt, da die Wahrscheinlichkeit für phase-slips  $\varphi \rightarrow \varphi + q\pi$  für größere  $q = 4, 6, \dots$  bei tiefen Temperaturen sehr klein sein wird.  $\diamond$

Kommen wir jetzt zur Untersuchung der Flüsse bei  $T = 0$ . An den Flussgleichungen für  $\tilde{\lambda}$  (4.77) sieht man, dass es wieder eine Linie  $\tilde{g}_{c_2}(\tilde{t})$  gibt, bei der sich diesmal der Fluss von

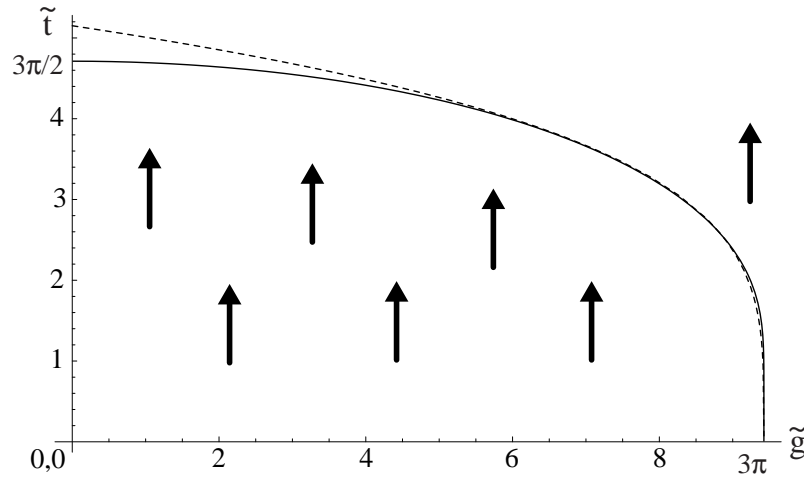


Abbildung 32: kritische Linie in der  $\tilde{V} = 0$  Ebene. Gestrichelt ist die Kurve  $\tilde{t}_c(\tilde{g}) \propto (3\pi - \tilde{g})^\sigma$  mit  $\sigma = 0.250 \pm 0.02$  am Fixpunkt ( $\tilde{g} = 3\pi, \tilde{V} = 0$ ) angefügt. Die Pfeile sollen den trivialen Fluss in dieser Ebene verdeutlichen.

$\tilde{\lambda}$  umkehrt. Diese ist durch die Gleichung  $2 - \pi/\tilde{g}_{c_2}(\tilde{t}) \coth(\tilde{g}_{c_2}(\tilde{t})/(2\tilde{t})) = 0$  definiert. Für  $\tilde{t} = 0$  erhält man einen kritischen Wert von  $\tilde{g}_{c_2} = \pi/2$ . Der Verlauf ist in Abb. 38 dargestellt. Diese Werte von  $\tilde{g}$  trennen also, ähnlich wie die Kurve  $\tilde{t}_c(\tilde{g})$  für  $\tilde{V}$ , zwei Regionen in denen  $\tilde{\lambda}$  gegen null ( $\tilde{g} < \tilde{g}_{c_2}(\tilde{t})$ ) bzw. gegen unendlich ( $\tilde{g} > \tilde{g}_{c_2}(\tilde{t})$ ) fließt. Der Wert von  $\tilde{g}_{c_2}$  stimmt mit dem Wert von  $\tilde{g}$  überein, bei dem  $f_x^0$  (unbestimmt) divergiert, was bedeutet, dass die Flussgleichung für  $\tilde{g}$  (4.72) bei  $T = 0$  nur bis  $\tilde{g} = \pi/2$  gültig ist. Für  $\tilde{g} > \pi/2$  ist die gezeigte RG für  $\tilde{g}$  nicht mehr ausreichend. Um dennoch Aussagen für  $\tilde{g} > \pi/2$  bei  $T = 0$  machen zu können, vernachlässigen wir in diesem Bereich die RG-Korrekturen bzgl.  $\tilde{\lambda}$  zu  $\tilde{g}$ , was bedeutet, dass  $\tilde{g}(l)$  nicht mehr "fließt" ( $d\tilde{g}/dl = 0$ ) und somit  $\tilde{\lambda}$  für alle  $\tilde{g} > \pi/2$  einfach gegen unendlich fließt (sofern  $\tilde{\lambda}(0) > 0$  war).

Der komplette Fluss bei  $T = 0$  ist in Abb. 39 dargestellt. Man findet wiederum zwei Phasen (A und B), in denen einmal  $\tilde{\lambda}$  gegen 0 fließt (A), d.h. die phase-slips irrelevant werden, und in der Phase B die phase-slips relevant werden. Da  $f_x^0 + f_\tau^0$  zwischen 0 und  $\pi/2$  bei  $\approx 1.07$  eine Nullstelle besitzt (s. Abb. 34), ist die Steigung der Separatrix der beiden Phasen negativ. Aufgrund der Divergenz von  $f_x^0(\tilde{g})$  am Fixpunkt ( $\tilde{g} = \tilde{g}_{c_2}, \tilde{\lambda} = 0$ ), ist ein kritischer Exponent der Separatrix am Fixpunkt nicht bestimmbar. Untersucht man allerdings die in Abb. 39 fett dargestellte Flusslinie, welche näherungsweise die Separatrix ist, findet man, dass die Separatrix näherungsweise linear in den Fixpunkt verläuft.

Der Fluss für endliche  $\tilde{t}$  ist in Abb. 40 oder auch in Abb. 41, in Ebenen mit konstantem  $\tilde{t}$  projiziert, dargestellt. In Abb. 41 (rechts) und für die zwei Flusslinien in Abb. 40 bei großen  $\tilde{g}$  ist zu beachten, dass die Differentialgleichungen, aus den anfänglich genannten Gründen, nur bis zu einem bestimmten Wert von  $\tilde{g}$  integriert werden konnten und nicht klar ist (aber wahrscheinlich, siehe nächstes Kapitel), ob der Fluss, wie die zwei "mittleren" Flusslinien in Abb. 40, die kritische Linie  $\tilde{g}_{c_2}(\tilde{t})$  kreuzen und somit  $\tilde{\lambda}$  letztendlich auch gegen null fließt,

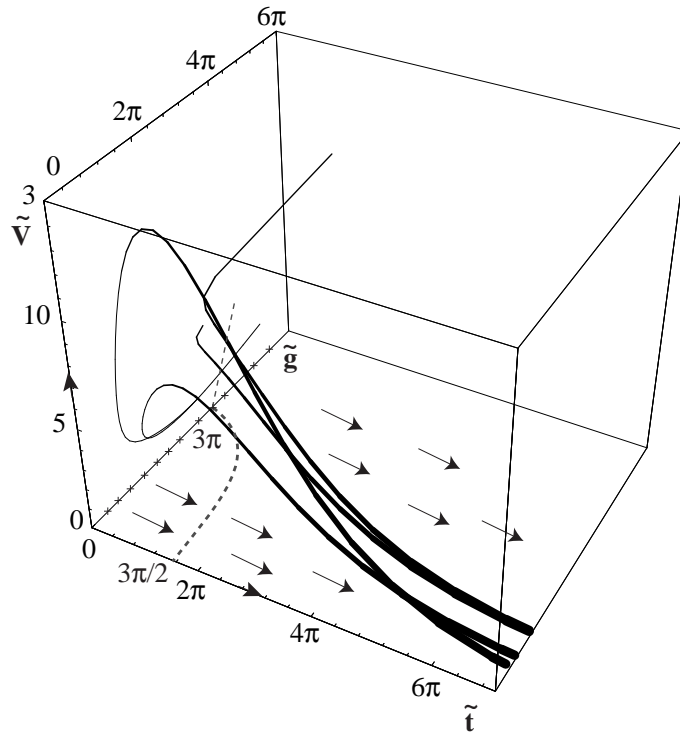


Abbildung 33: Dreidimensionale Darstellung des Flusses mit eingezeichneter Separatrix und  $\tilde{t}_c(\tilde{g})$  (gestrichelt).

wie dies bei kleineren Startwerten von  $\tilde{g}(l)$  der Fall ist. Dies bedeutet also, dass auch die phase-slips, zumindest für kleine Ausgangswerte von  $\tilde{g}$ , bei endlichen Temperaturen irrelevant werden.

Zum Schluß schauen wir uns noch den kompletten Fluss bei  $T = 0$  für  $\tilde{V}$ ,  $\tilde{\lambda}$  und  $\tilde{g}$  an, welcher in Abb. 42 visualisiert ist. Man kann drei Bereiche identifizieren: Für  $\tilde{g} \lesssim \tilde{g}_{c2}$  ist die Unordnung relevant und die phase-slips irrelevant, im Zwischenbereich  $\tilde{g}_{c2} \lesssim \tilde{g} \lesssim \tilde{g}_{c1}$  sind beide Fluktuationen relevant (wenn  $\tilde{\lambda} = 0$  oder  $\tilde{V} = 0$ ) und den Bereich  $\tilde{g} \gtrsim \tilde{g}_{c1}$  in dem die phase-slips relevant werden, aber die Unordnung irrelevant wird. Zur Berechnung der Flusslinien wurde für  $\tilde{g} \geq \tilde{g}_{c2}$   $f_x^0 = 0$  gesetzt.

Da in den Flussgleichungen für  $\tilde{\lambda}$  und  $\tilde{V}$  keine RG-Korrekturen der jeweils andere Parameter berücksichtigt wurden, sind die Aussagen für die Flüsse bei endlichem  $\tilde{\lambda}$  und  $\tilde{V}$  mit Vorsicht zu genießen. In den zwei Bereichen  $\tilde{g} \lesssim \tilde{g}_{c2}$  und  $\tilde{g} \gtrsim \tilde{g}_{c1}$  sollte der Verlauf der Flusslinien durch die beiden "äußeren" Flusslinien in Abb. 42 richtig erfasst werden, da diese eine sinnvolle Erweiterung der bisher gefundenen Flüsse sind. Im "Zwischenbereich" wird  $\tilde{g}$  zu kleineren Werten fließen und  $\tilde{V}$  damit relevant bleiben,  $\tilde{\lambda}$  kann dann aber wieder in den "irrelevanten Bereich" fließen, was durch den Verlauf der berechneten Flusslinie unterstützt wird ("mittlere" Flusslinie in Abb. 42). Allerdings scheint dieser Fluss physikalisch nicht sinnvoll zu sein, was im nächsten Kapitel mit einem einfachen Argument dargestellt wird.

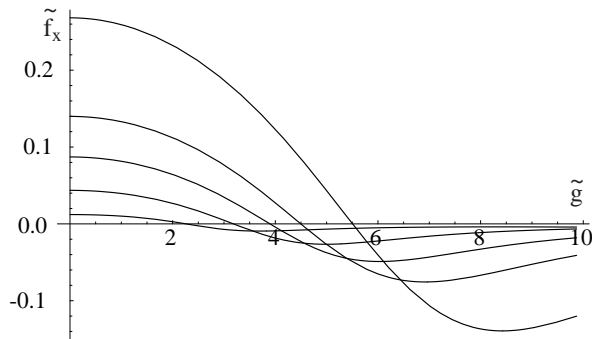


Abbildung 34: Funktionsverlauf von  $f_x$  mit  $\tilde{g}$  bei verschiedenen Temperaturen  $\tilde{t}$ . Der Wert der Nullstelle dieser Funktion geht für  $\tilde{t} \rightarrow 0$  gegen den Wert  $\approx 0.92$  (NS von  $f_x^0$ ) und wird für größere  $\tilde{t}$  größer.

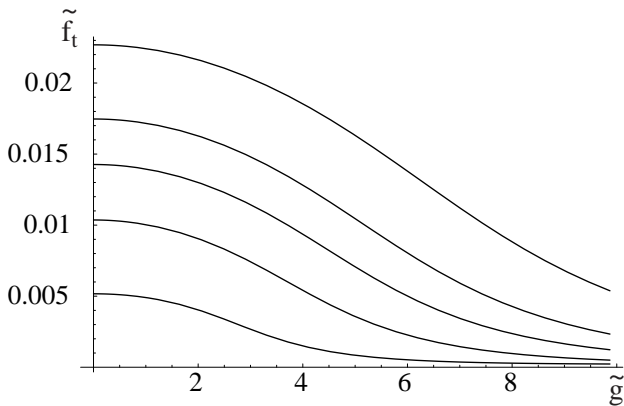


Abbildung 36: Funktionsverlauf von  $f_\tau$  mit  $\tilde{g}$  bei verschiedenen Temperaturen  $\tilde{t}$ .  $f_\tau(\tilde{g} = 0, \tilde{t})$  wächst mit  $\tilde{t}$ .

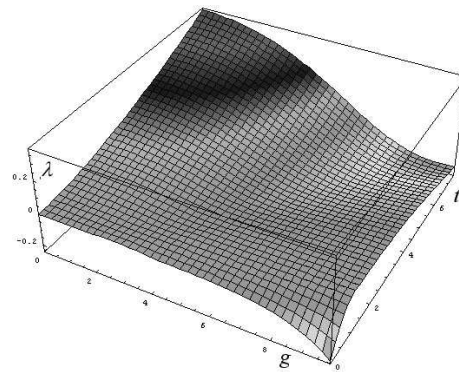


Abbildung 35: Funktionsverlauf von  $f_x$  mit  $\tilde{g}$  und  $\tilde{t}$ .

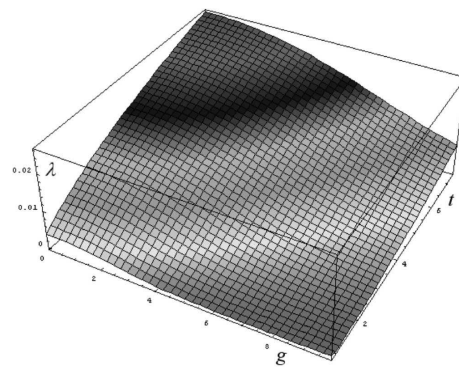


Abbildung 37: Funktionsverlauf von  $f_\tau$  mit  $\tilde{g}$  und  $\tilde{t}$ .

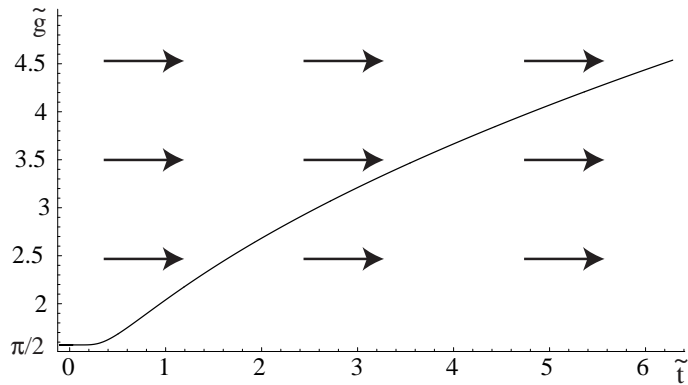


Abbildung 38: kritische Linie in der  $\tilde{\lambda} = 0$  Ebene. Der Fluss in dieser Ebene ist einfach und geht zu großen  $\tilde{t}$  hin (Pfeile)

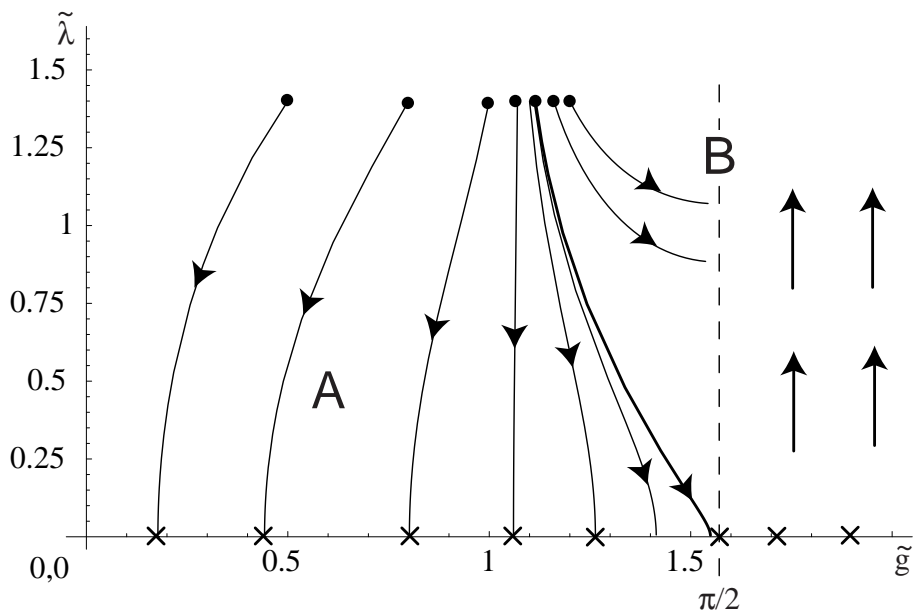


Abbildung 39: Fluss bei  $\tilde{t} = 0$  und  $\tilde{V} = 0$ . In der Phase A werden die phase-slips irrelevant und in B relevant. Die (näherungsweise) Separatrix ist fett dargestellt.

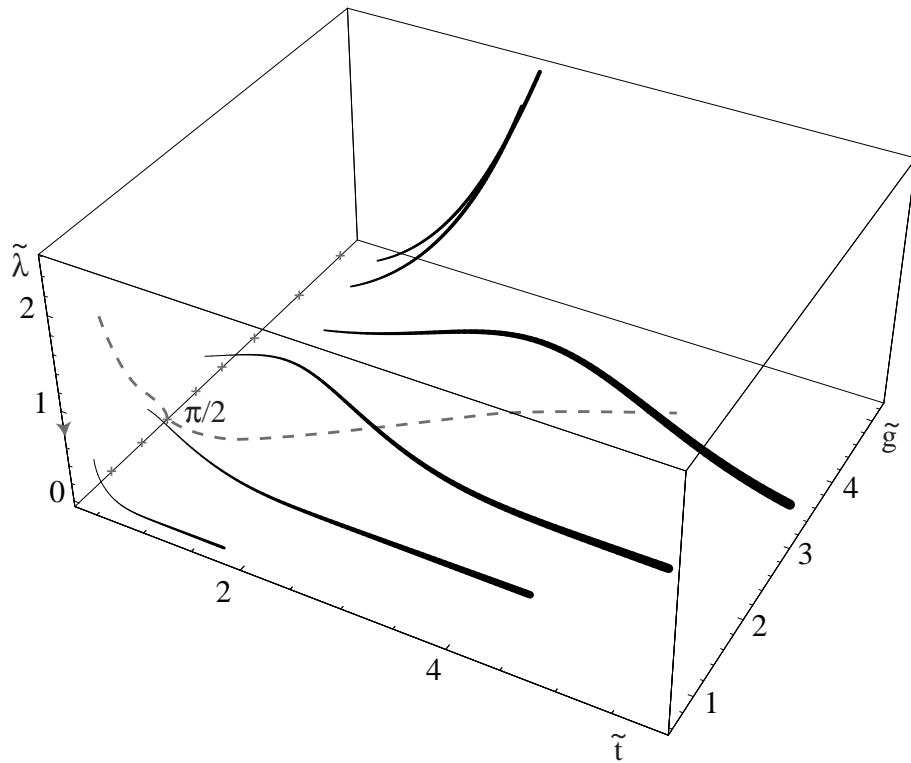


Abbildung 40: Flüsse für  $\tilde{V} = 0$ . Gestrichelt ist die Separatrix der beiden Phasen A und B und die kritische Linie  $\tilde{g}_{c_2}(\tilde{t})$  eingezeichnet.

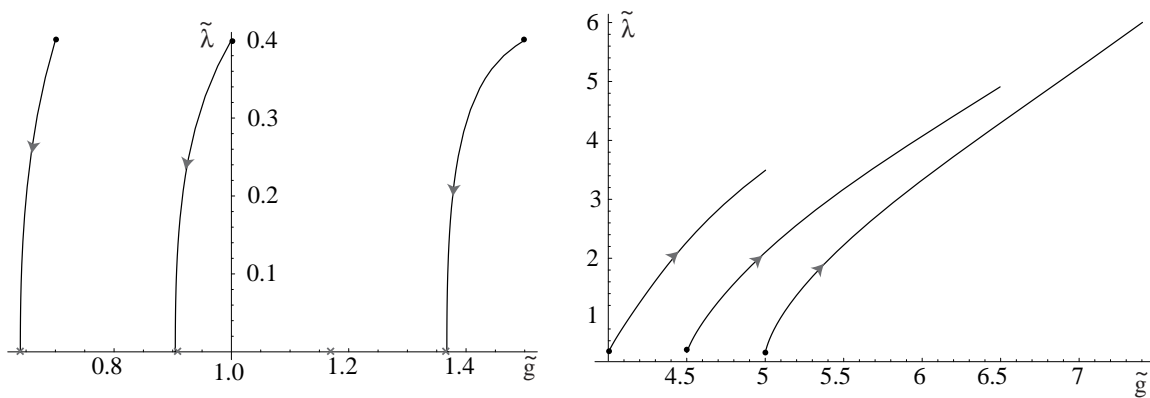


Abbildung 41: Fluss für  $\tilde{V} = 0$  und  $T > 0$  in Ebenen mit konstantem  $\tilde{t}$  projiziert für  $\tilde{g}(0) < \tilde{g}_{c_2}$  (links) und  $\tilde{g}(0) > \tilde{g}_{c_2}$  (rechts).

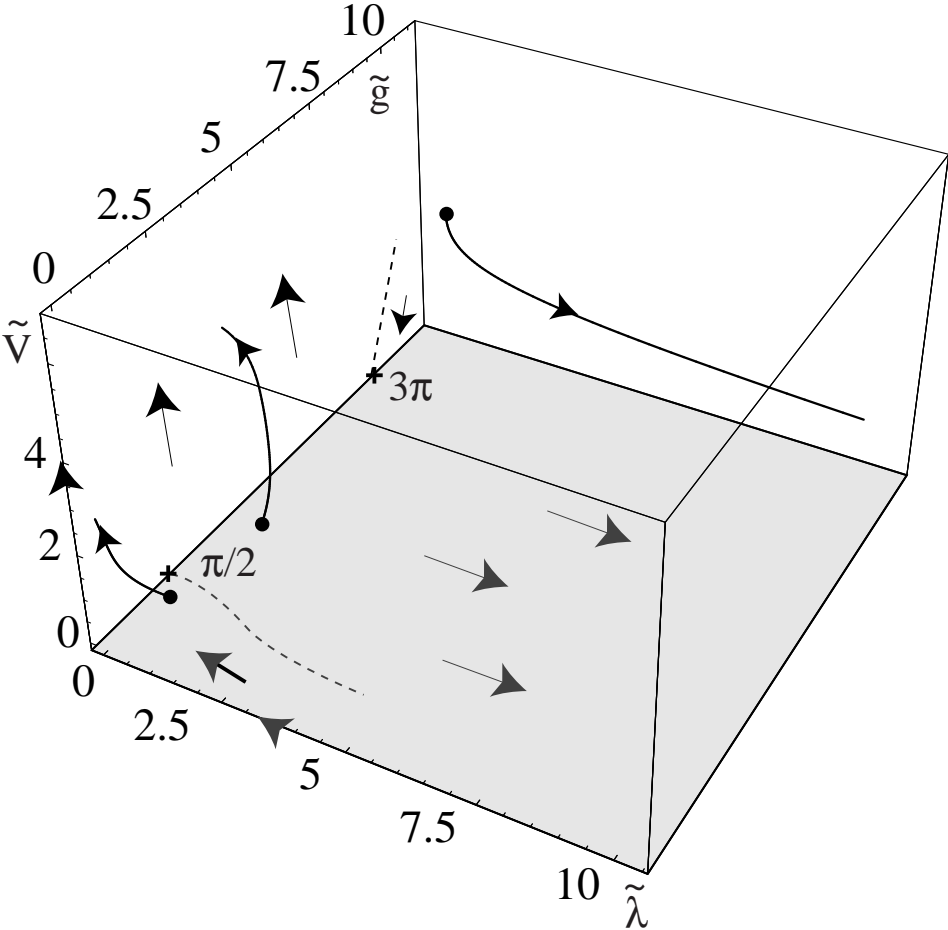


Abbildung 42: Fluss bei  $\tilde{t} = 0$ .

## 5 Resultate und Relevanz für verwandte Systeme

In diesem Kapitel möchte ich die physikalischen Konsequenzen der Resultate aus dem vorigen Kapitel etwas ausführlicher besprechen und teilweise auch mit denen schon aus höheren Dimensionen oder anderen Modellen bekannten vergleichen.

Bei  $T = 0$  im Fall ohne Dislokationen haben wir für zunehmende Quantenfluktuationen einen Phasenübergang von einer lokalisierten, in der die Unordnung unter der RG wächst, zu einer delokalisierten Phase, in der die Unordnung zu null renormiert wird, gefunden. Dieser Phasenübergang findet bei einem Wert von  $\tilde{g}_{c1} = 3\pi/p^2$  in einer Dimension statt, wobei die Grenze der Phasen sowohl von der anfänglichen Unordnungsstärke, als auch von der Stärke der Quantenfluktuationen abhängt (siehe Abb. 28). Dieses Phasendiagramm wurde schon von Giamarchi und Schulz [GS88] für ein eindimensionales wechselwirkendes Elektronengas im Zufallspotential gefunden. In diesem Paper entspricht der Parameter  $K$ , welcher die Wechselwirkungsstärke kontrolliert (siehe auch Abschnitt 5.2), dem Parameter  $\tilde{g}^{-1}$  bei uns (bis auf einen numerischen Vorfaktor).

Nun können wir uns die Relevanz dieses Phasenübergangs für Ladungsdichtewellen anschauen. Der Hamiltonian ohne Unordnung hatte die Form

$$\hat{\mathcal{H}} = \int dx \frac{c}{2} \left[ \left( \frac{v}{c} \right)^2 \hat{P}^2(x) + (\partial_x \hat{\varphi}(x))^2 \right] , \quad [\hat{P}(x), \hat{\varphi}(x')] = \frac{\hbar}{i} \delta(x - x').$$

Für CDWs ist  $c \approx \frac{\hbar v_F}{2\pi}$  (siehe Kapitel 2) und  $v \approx v_F \left( \frac{m_e}{m^*} \right)^{1/2}$  [Grü94], wobei  $m_e$  die Elektronenmasse und  $m^*$  die effektive Masse ist. Für bekannte Ladungsdichtewellen-Systeme ist  $m^*/m_e$  von der Größenordnung  $10^3$  [Grü88]. Vergleicht man nun die Größenordnungen von  $\left( \frac{v}{c} \right)^2 \hat{P}^2 = \tilde{g}^2 \left( \frac{\hat{P}}{\hbar} \right)^2$  und  $(\partial_x \hat{\varphi}(x))^2$  unter Beachtung der Kommutatorrelation ( $\hat{P}/\hbar$  und  $\partial_x \hat{\varphi}$  haben dieselbe Größenordnung) findet man, dass der kinetische Term um einen Faktor  $\sim 10^3$  kleiner ist als der elastische Term, was die klassische Behandlung des Modells in Kapitel 2 rechtfertigt. Für den Wert des Parameters  $\tilde{g}$  heißt das daher, dass dieser in realisierbaren CDW-Systemen im Bereich von  $10^{-2} - 10^{-1}$  liegt, also wesentlich kleiner als  $\tilde{g}_{c1}$  ist. Dies stimmt mit der bisherigen Beobachtung überein, dass die Unordnung in Ladungsdichtewellen immer relevant, d.h. die delokalisierte Phase nicht realisiert ist.

Betrachtet man den phase-slip Term bzw. das entsprechende Phasendiagramm, findet man ebenfalls einen Phasenübergang bei  $T = 0$  bei einem Wert von  $\tilde{g}_{c2} = q^2\pi/8$  von einer Phase, in der die phase-slips irrelevant sind (A), zu einer Phase, in der diese relevant sind (B), siehe Abb. 39. Die Phasengrenze hängt wiederum von den Startwerten der Quantenfluktuationen und der phase-slip Wahrscheinlichkeiten ab.

Aufgrund der Struktur von  $\mathcal{S}_\theta$ , ist ein Vergleich mit dem Phasendiagramm eines zweidimensionalen Sinus-Gordon Modells bei  $T = 0$  angebracht (siehe z.B. [Sac99]). Dieses Modell hat zwei Phasen, in denen der nichtlineare Term relevant bzw. irrelevant wird. In letzterem Fall fließt der Koeffizient auf die Fixpunktlinie  $\tilde{\lambda} = 0$ ,  $\tilde{g} < \tilde{g}_{c2}$ , d.h. auf großen Längenskalen kann das System durch eine freie Gaußsche Theorie beschrieben werden. Das Phasendiagramm stimmt demnach (qualitativ) mit unserem überein. Da, wie in Abschnitt 3.3 angedeutet, ein XY-Modell mit Vortices auf ein Sinus-Gordon-Modell abgebildet werden

kann, läßt sich dieses Phasendiagramm auch mit einem Kosterlitz–Thouless Übergang [Kos74] vergleichen.

In unserem Fall hat dieser Übergang entscheidene Konsequenzen auf den Lokalisierungs–Delokalisierungs–Übergang, da

$$\pi/2 = \tilde{g}_{c_2} < \tilde{g}_{c_1} = 3\pi .$$

Im Bereich  $\tilde{g} \lesssim \tilde{g}_{c_2}$  wird in jedem Fall die Unordnung relevant und die Dislokationen irrelevant sein, und für  $\tilde{g} \gtrsim \tilde{g}_{c_1}$  dominieren die phase–slips. Allerdings ist das Verhalten des Systems auf großen Längenskalen im Zwischenbereich  $\tilde{g}_{c_2} < \tilde{g} < \tilde{g}_{c_1}$  unklar. Die numerischen Ergebnisse sind in diesem Bereich, aufgrund der im vorigen Kapitel geschilderten Schwierigkeiten, nicht sehr verlässlich. Die Untersuchung lieferte, zumindest im Gebiet in dem die Flussgleichungen gelten, dass die Dislokationen in diesem Zwischenbereich irrelevant werden, was allerdings physikalisch nicht sehr plausibel ist, wie man sich folgendermaßen überlegen kann: Angenommen wir haben ein System in welchem phase–slips relevant sind, d.h. die Korrelationen in der Phase durch die Sprünge zerstört werden. "Schaltet" man nun schwache Unordnung ein, wird dies keinen Einfluss auf die Phasensprünge haben, und diese auch auf großen Längenskalen nicht unterdrücken. Daher ist es wahrscheinlich, dass der Lokalisierungs–Delokalisierungs–Übergang bei  $\tilde{g}_{c_1}$  verschwindet und der Übergangswert von  $\tilde{g}$  um immerhin einen Faktor 6 zu  $\tilde{g}_{c_2}$  vermindert wird. Für reale CDW–Systeme wird dies wiederum keine Konsequenzen haben, da wie schon erwähnt, realistische Werte für  $\tilde{g}$  kleiner als  $\tilde{g}_{c_2}$  sind.

Bei endlichen Temperaturen werden sowohl die Unordnungsfluktuationen (siehe Abb. 33) als auch die phase–slips irrelevant, sodass nur thermische Fluktuationen auf großen Längenskalen eine Rolle spielen. Im Fall der Unordnung ist dies klar, da der  $\coth$ –Term in der Flussgleichung für große  $\tilde{t}$  linear mit  $\tilde{t}$  verläuft und somit, aufgrund des negativen Vorzeichens,  $\tilde{V}$  gegen null geht. Dieses Verhalten haben wir schon in Abschnitt 2.2 anhand der Temperaturabhängigkeit der Korrelationsfunktion gesehen.

Für die phase–slips kann dies folgendermaßen erklärt werden: da der Fluss von  $\tilde{g}$  für große  $\tilde{t}$  sehr stark abnimmt (siehe Def. von  $F_x, F_\tau$  und den Verlauf von  $f_x$  und  $f_\tau$  mit  $\tilde{t}$ ), wird  $\tilde{\lambda}(\tilde{t})$  irgendwann auf jeden Fall die kritische Linie  $\tilde{g}_{c_2}(\tilde{t})$  (bei entsprechend großen Startwerten von  $\tilde{g}$ ) kreuzen und somit gegen null fließen. Hierbei muss aber berücksichtigt werden, dass die Flussgleichungen nur für kleine  $\tilde{\lambda}$  gültig sind.

## 5.1 Vergleich mit Flüssen der Unordnung in $d > 1$

Den Fluss in der  $\tilde{t}$ – $\tilde{V}$ –Ebene ohne Dislokationen ( $\tilde{\lambda} = 0$ ) und ohne Quantenfluktuationen ( $\tilde{g} = 0$ ), d.h. die Relevanz der Unordnung in eindimensionalen elastischen Medien bei endlichen Temperaturen, können wir mit dem Fluss in  $d \geq 2$  vergleichen.

In vier oder mehr Dimensionen werden sowohl Unordnungs– als auch thermische Fluktuationen irrelevant und man hat demnach einen Fixpunkt bei  $(T = 0, V = 0)$ . Die Paarkorrelationsfunktion geht gegen einen konstanten Wert, d.h. es gibt keine Rauigkeit.

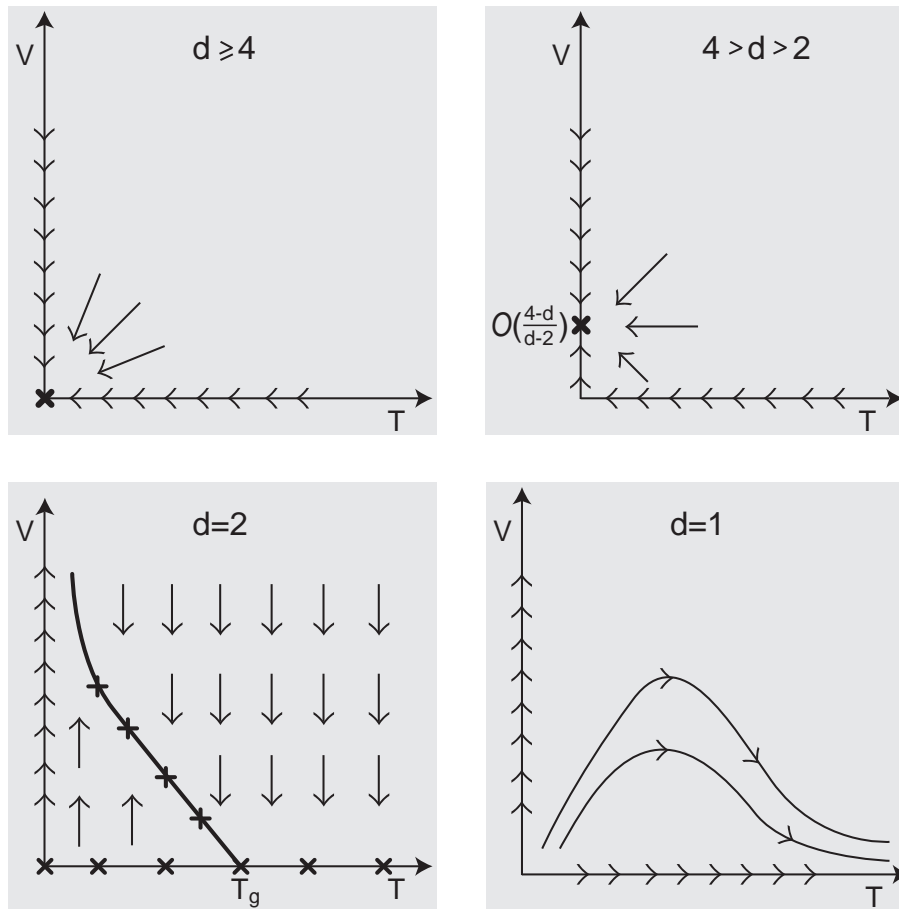


Abbildung 43: Karikatur der Flüsse in  $d$  Dimensionen in der  $T$ - $V$ -Ebene.

In Dimensionen  $2 < d < 4$  bleiben thermische Fluktuationen irrelevant, der Fixpunkt "wandert" zu einem endlichen Wert von  $V$  (wobei zu beachten ist, dass hier funktionale RG benutzt werden muss), welcher in geeigneten Einheiten von der Ordnung  $\frac{4-d}{2-d}$  ist. Die Rauigkeit ist hier logarithmisch.

In  $d = 2$  gibt es eine endliche Übergangstemperatur  $T_g$  (Glasübergangstemperatur) oberhalb welcher die Unordnung irrelevant wird, und unterhalb welcher sie auf eine Fixpunktlinie  $V^* \propto (T_g - T)$  fließt. Die Glasphase ist durch ein superrauhes Verhalten gekennzeichnet (die Paarkorrelationsfunktion ist  $\propto (\ln r)^2$ ). Siehe dazu auch [NS00].

Die Flüsse in  $d \geq 4$ ,  $2 < d < 4$ ,  $d = 2$  und in einer Dimension, in welcher, wie im vorigen Kapitel gesehen, die thermischen Fluktuationen relevant und die Unordnungsfluktuationen irrelevant werden, sind in Abb. 43 zusammengestellt.

## 5.2 Tomonaga–Luttinger Modell

Aufgrund der Formulierung der Unordnung und der phase-slips in zwei verschiedenen Feldern, bietet sich ein Vergleich mit dem Tomonaga–Luttinger (TL) Modell an, mit welchem man (ohne Unordnung und Vortices) eindimensionale Elektronensysteme bei tiefen Temperaturen ( $k_B T \ll$

$\epsilon_F$ ) beschreiben kann, in welchen die Dispersionsrelation an der Fermikante linearisiert werden kann. Der zunächst fermionische Hamiltonian kann in diesem Fall mit Hilfe der Bosonisierung (auf die ich hier nicht weiter eingehe) auf ein TL Modell abgebildet werden. Die Wirkung wird meist in einem von zwei zueinander "dualen" Feldern beschrieben, wobei das jeweils andere ausintegriert wurde - je nachdem für welche Korrelationen man sich interessiert. Die auftretenden Wirkungen sind außerdem die gleichen, wie für ein masseloses, skales Feld.

Identifiziert man  $\tilde{g}/\pi$  mit dem Luttingerparameter  $K$ , welcher ein Maß für die Dichte–Dichte–Wechselwirkung ist ( $K = 1$ : keine WW,  $K > 1$ : attraktive WW,  $K < 1$ : repulsive WW), und  $v$  mit der renormalisierten Fermi–Geschwindigkeit, kann man  $\tilde{S}_{\varphi,0}$  und  $\tilde{S}_{\theta,0}$  schreiben als

$$\begin{aligned}\tilde{S}_{\varphi,0} &= \frac{1}{2\pi K v} \int dx \int d\tau [(\partial_\tau \varphi)^2 + v^2(\partial_x \varphi)^2] \quad \text{bzw.} \\ \tilde{S}_{\theta,0} &= \frac{K}{2\pi v} \int dx \int d\tau [(\partial_\tau \theta)^2 + v^2(\partial_x \theta)^2]\end{aligned}$$

d.h. als dieselbe Wirkung, wenn man  $K$  gegen  $1/K$  austauscht. Das Feld  $\varphi$  hat im TL Modell die Bedeutung eines "phononischen" Verschiebungsfeldes und  $\theta$  ist das zu  $\varphi$  "duale" Feld, hat aber keine direkte physikalische Bedeutung. Der Gradient von  $\theta$ , also der zu  $\varphi$  konjugierte Impuls, misst die Differenz in der Dichte von links- und rechts- laufenden Teilchen [Sac99], also den Strom (vgl.  $\partial_x \varphi \propto \rho$ ).

Im TL Modell wird der Einfluss der Unordnung (insbes. *backscattering*) ebenfalls durch einen Cosinus–Term mit zufälliger Phase beschrieben (s. z.B. [GS88]). Vortices im Feld  $\varphi$  können auch durch einen Cosinus–Term im Feld  $\theta$  (oder umgekehrt) beschrieben werden [Sac99].

## 6 Zusammenfassung und Ausblicke

Ladungsdichtewellen-Systeme werden spätestens seit den 1970er Jahren intensiv theoretisch untersucht. Das auch heute noch neue interessante Resultate und Ergebnisse gefunden werden, spricht dafür, dass diese Systeme physikalisch von hohem Interesse sind. Den Beitrag dieser Arbeit dazu will ich hier nocheinmal zusammenfassen:

- In Kapitel 2 haben wir den Einfluss der Unordnung auf die Temperaturabhängigkeit der Paarkorrelationsfunktion  $C(x) = \overline{(\varphi(x) - \varphi(0))^2}$  im Fall von schwacher ( $V_i \rho_1 \ll \hbar v_{FCimp}$ ) und starker ( $V_i \rho_1 \gg \hbar v_{FCimp}$ ) Unordnung untersucht:
- Im Fall von schwacher Unordnung haben wir mit einem einfachen RG-Argument gefunden, dass die Temperaturabhängigkeit dieser Korrelationsfunktion bei kleinen Temperaturen konstant ist, d.h. die Unordnung relevant ist, wohingegen bei hohen Temperaturen die Korrelationsfunktion linear mit  $T$  verläuft, d.h. die Unordnung irrelevant wird. Eine quantitativ bessere Erfassung der Temperaturabhängigkeit wurde mit Hilfe einer selbstkonsistenten Rechnung im Rahmen einer Burgers-Gleichung erreicht. Im Gegensatz zu den Resultaten von Villain und Fernandez [VF84] und Feigel'man [Fei80] haben wir somit ein Verhalten gefunden, welches bei endlichen Temperaturen gilt. Zusätzlich wurde das Ergebnis numerisch mit einer Monte-Carlo-Rechnung bestätigt.
- Im Fall von starker Unordnung konnte die Korrelationsfunktion bei  $T = 0$ , unter Berücksichtigung der "geordneten" Statistik der Positionen der Verunreinigungen, exakt berechnet werden.
- Der Hauptpunkt der Behandlung des klassischen Modells war die Untersuchung der Dynamik. Insbesondere wurde die bisher nicht studierte Kriechdynamik in einer Dimension untersucht und folgender Ausdruck für die Kriechgeschwindigkeit gefunden

$$v(E, T) \propto T e^{-c_B(T^*/T)} \sinh\left(\frac{c_E E L_c}{T}\right),$$

also im Gegensatz zu höheren Dimensionen ein analytisches Verhalten. Diese Formel konnte mit Hilfe von numerischen Simulationen gut bestätigt werden und läßt sich auf experimentelle Ergebnisse von S. Zaitsev-Zotov [ZZ93] anwenden.

- Ab Kapitel 3 wurde das klassische Modell zu einem quantenmechanischen mit kinetischem Term, welcher in der klassischen Beschreibung nicht berücksichtigt wurde, und einen Term, der Dislokationen bzw. Raum-Zeit-Vortices im Phasenfeld beschreibt, verallgemeinert.
- In den Kapiteln 4 und 5 wurden die Phasendiagramme dieses phänomenologischen Modells bei tiefen Temperaturen im Fall von eindimensionalen Ladungsdichtewellen ausführlich besprochen - mit folgenden Ergebnissen:

- Bei  $T = 0$  gibt es für die Unordnungsfluktuationen einen Lokalisierungs-Delokalisierungs-Übergang bei einem kritischen Wert der Quantenfluktuationen  $\tilde{g}_{c_1}$ .

- 
- Außerdem findet man für die Dislokationen zwei Phasen in denen phase-slips irrelevant bzw. relevant werden. Der Phasenübergang findet bei einem kritischen Wert  $\tilde{g}_{c_2}$  statt. Ist  $\tilde{g}_{c_1}/\tilde{g}_{c_2} = 24/(pq)^2$  größer als 1 hat man drei Phasen: für kleine  $\tilde{g}$  eine lokalisierte Phase ( $\tilde{g} < \tilde{g}_{c_1}$ ), eine Phase in der sowohl Dislokationen als auch Unordnungsfluktuationen irrelevant sind und eine Phase in der phase-slips relevant sind ( $\tilde{g} > \tilde{g}_{c_2}$ ).
  - *Im Fall der Ladungsdichtewelle ist allerdings  $\tilde{g}_{c_2} < \tilde{g}_{c_1}$ , was zur Folge hat, dass der Lokalisierungs-Delokalisierungsübergang verschwindet und man direkt von der lokalisierten Phase in die phase-slip-bestimmte Phase übergeht (bei  $\tilde{g}_{c_2}$ ).*

Die Ergebnisse aus Kapitel 2 wurden teilweise zur Veröffentlichung in *Physical Review B* submittiert. Ein Vordruck dieses Papers ist im Anhang zu finden.

---

Abschließend will ich kurz darstellen, was ausgehend von den erzielten Resultaten u.a. untersucht werden kann:

- Bisher wurde der Einfluss der phase-slips, wie dies schon in 3.3 angedeutet wurde, nicht im Fall eines extern angelegten Feldes untersucht. Wenn phase-slips in dem zu betrachtenden System relevant sind, wird dies Konsequenzen für die Dynamik (z.B. die Leitfähigkeit) haben.
- Man kann zusätzlich noch dissipative Effekte berücksichtigen und deren Relevanz für das System untersuchen.
- Desweiteren können noch Leitfähigkeiten oder Effekte von Tunnelprozessen untersucht werden.

## A Anhang

### A.1 Symbole, Einheiten und Notationen

#### A.1.1 verwendete Symbole

Symbol	Bedeutung	Einheit
$\lambda_T = v\hbar\beta$	relativistische de Broglie Wellenlänge	$L$
$L_c$	Fukuyama–Lee–Länge	$L$
$c$	elastische Konstante	$EL^{2-d}$
$c_{imp}^{-1}$	mittlerer Abstand der Verunreinigungen	$L$
$V$	Pinning–Potential–"Dichte"	$EL^{-d/2}$
$\lambda$	Wahrscheinlichkeit zur Ausbildung von Dislokationen	$EL^{-d}$
$k_F = Q/2$	Fermi Wellenvektor	$L^{-1}$
$\Lambda$	(UV-) Cutoff für $k$	$L^{-1}$
$(v), v_F$	(renormalisierte) Fermi Geschwindigkeit	$LT^{-1}$
$\rho$	Teilchendichte	$L^{-d}$
$K$	Luttinger Parameter	1
$\varphi, \theta$	Phasenfeld und "duales" Feld	1
$\hat{P}$	zu $\hat{\varphi}$ konjugierter Impulsoperator	$ML^{2-d}T^{-1}$
$\alpha(x)$	Zufallsphase (gleichwahrscheinlich in $[0, 2\pi[$ verteilt)	1
$\tilde{S} = \hbar^{-1}\mathcal{S}$	"reduzierte" Wirkung	1
$\tilde{\mathcal{H}} = T^{-1}\mathcal{H}$	"reduziertes" Hamiltonian	1
$\tilde{t}, \tilde{g}, \tilde{\lambda}, \tilde{V}$	dimensionslose Parameter (Bedeutung s. 4.2)	1
$S_d = (2\pi)^d K_d = 2\pi^{d/2}/\Gamma(d/2)$	Oberfläche der d-dimensionalen Einheitssphäre	
$\mathcal{M}_n(\mathbb{K})$ $\mathcal{M}_{n \times m}(\mathbb{K})$	Menge der $n \times n$ bzw. $n \times m$ Matrizen über einem Körper $\mathbb{K}$	
$\Theta(x)$	Stufenfunktion (0 für $x < 0$ , sonst 1)	

#### A.1.2 Notation

- $\overline{\mathcal{A}}$ : Unordnungsmittelwert
- $\langle \mathcal{A} \rangle$ : thermischer Mittelwert
- $\langle\langle \mathcal{A} \rangle\rangle$ : Kumulanten-Mittelwert
- $[x]$ : Gaußklammern (Kapitel 2.2.2)
- $\hat{\mathcal{A}}$ : Operator / Fouriertransformierte
- $\underline{\mathcal{A}}$ : Matrix

- $\underline{v}$ : Vektor ( $\underline{v} \cdot \underline{w}$  ist das Skalarprodukt oder Matrixmultiplikation)
- $a|b$ :  $a$  modulo  $b$
- $i$ : imaginäre Einheit (um Verwechslungen mit  $i$  zu vermeiden)

**Fouriertransformierte und Fourierreihen**

- Die *Fouriertransformierte* ist in dieser Arbeit wie folgt definiert:

Sei  $f(\underline{r}) \in L^2(\mathbb{R}^d)$  und  $\underline{r}, \underline{k} \in \mathbb{R}^d$ , dann ist die Fouriertransformierte von  $f(\underline{r})$  gegeben durch

$$\hat{f}(\underline{k}) \equiv \int_{\mathbb{R}^d} d^d \underline{r} f(\underline{r}) e^{-i \underline{r} \cdot \underline{k}} \tag{A.1.1}$$

mit der Umkehrtransformation

$$f(\underline{r}) = \frac{1}{(2\pi)^d} \int_{\mathbb{R}^d} d^d \underline{k} \hat{f}(\underline{k}) e^{i \underline{r} \cdot \underline{k}} \quad \text{kurz:} \quad \int_{\underline{k}} \hat{f}(\underline{k}) e^{i \underline{r} \cdot \underline{k}} \tag{A.1.2}$$

- *Fourierreihen*:

Sei  $f(\underline{r}) \in L^2(L^d)$  eine periodische  $L^2$ -integrierbare Funktion, mit Periodizitätsvolumen  $L^d$ . Sei  $\underline{k} = \frac{2\pi}{L}(n_1, \dots, n_d)$  mit  $n_i \in \mathbb{Z}$ , dann ist die Fourierreihe zu  $f$  wie folgt definiert:

$$f(\underline{r}) = L^{-d} \sum_{\underline{k}} e^{i \underline{k} \cdot \underline{r}} f_{\underline{k}} \tag{A.1.3}$$

mit  $\sum_{\underline{k}} \equiv \sum_{n_1, \dots, n_d = -\infty}^{\infty}$  und den Fourierkoeffizienten

$$f_{\underline{k}} = \int_{L^d} d^d \underline{r} f(\underline{r}) e^{i \underline{k} \cdot \underline{r}}. \tag{A.1.4}$$

Für  $L \rightarrow \infty$ :

$$\sum_{\underline{k}} \rightarrow \int \frac{d^d \underline{k}}{(\Delta k)^d} \quad \text{mit} \quad \Delta k = 2\pi L^{-1}, \tag{A.1.5}$$

d.h. man gelangt wieder zur Fouriertransformierten.

**A.2 nützliche Formeln**

- Zur Berechnung der n-ten Momente der Abstandsverteilung in Kapitel 2.2.2 wird

$$\left. \frac{\partial^n}{\partial x^n} \right|_{x=1} \frac{e^{x-1}}{x} = (-1)^n n! \left( \sum_{k=1}^n \frac{(-1)^k}{k!} + 1 \right) \tag{A.2.1}$$

benutzt.

- Laurent-Reihe von  $\text{csch}(x)$  bei  $x = 0$  bis zur 6. Ordnung:

$$\text{csch}(x) = \frac{1}{\sinh(x)} = \frac{1}{x} - \frac{x}{6} + \frac{7x^3}{360} - \frac{31x^5}{15120} + \mathcal{O}(x^7) \tag{A.2.2}$$

- Zur Berechnung der Korrelationsfunktionen und der RG sind folgende Formeln hilfreich:

$$\sum_{n=-\infty}^{\infty} \frac{1}{n^2 + a^2} = \frac{\pi}{|a|} \coth(\pi|a|) \quad (\text{A.2.3})$$

$$\int_{\mathbb{R}} dx \frac{e^{ikx}}{x^2 + a^2} = \frac{\pi}{|a|} e^{-|a||k|} \quad (\text{A.2.4})$$

$$\sum_{n=-\infty}^{\infty} \frac{\cos(nx)}{n^2 + a^2} = \frac{\pi}{|a|} \frac{\cosh((\pi - x)a)}{\sinh(\pi|a|)} \quad 0 \leq x \leq 2\pi \quad (\text{A.2.5})$$

- außerdem für die RG des Unordnungsterms

$$\int_0^1 dx x^2 \cosh(ax + b) = \frac{1}{a^3} [(2 + a^2) \sinh(a + b) - 2(a \cosh(a + b) + \sinh(b))] \quad (\text{A.2.6})$$

- Poisson'sche Summenformel

$$\sum_{m=-\infty}^{\infty} f(m) = \sum_{n=-\infty}^{\infty} \int_{\mathbb{R}} dx f(x) e^{-i2\pi nx} \quad (\text{A.2.7})$$

- n-dimensionales Gaußintegral:

$$\int_{\mathbb{R}^n} d^n \underline{r} e^{-\frac{1}{2} \underline{r}^T \cdot \underline{\mathbf{A}} \cdot \underline{r} + \underline{v}^T \underline{r}} = (2\pi)^n (\det \underline{\mathbf{A}})^{-1/2} e^{\frac{1}{2} \underline{v}^T \cdot \underline{\mathbf{A}}^{-1} \cdot \underline{v}}, \quad (\text{A.2.8})$$

wobei  $\underline{\mathbf{A}} \in \mathcal{M}_n(\mathbb{R})$  positiv definit und symmetrisch ist und  $\underline{v} \in \mathbb{R}^n$ .

Für ein gaußverteiltes Feld  $u$  mit den Mittelwerten  $\langle u \rangle = 0$  und  $\langle u^2 \rangle \neq 0$  folgt mit dem Wick-Theorem:

$$\begin{aligned} \langle u^{2n} \rangle &= \frac{(2n)!}{2^n n!} \langle u^2 \rangle^n \\ \langle u^{2n+1} \rangle &= 0 \end{aligned}$$

und daher

$$\langle e^{g(u)} \rangle = e^{\langle g^2(u) \rangle / 2}. \quad (\text{A.2.9})$$

Insbesondere gilt:

$$\begin{aligned} \langle \cos(pu) \rangle &= e^{-p^2 \langle u^2 \rangle / 2} \\ \langle \sin(pu) \rangle &= 0 \end{aligned} \quad (\text{A.2.10})$$

### A.3 Tilt Symmetrie

In diesem Anhang wird gezeigt, dass aufgrund der sogenannten *statistischen Tilt-Symmetrie*  $\varphi \rightarrow \varphi + ax$  des Modells (2.7) die elastische Konstante  $\hbar v_F$  nicht renormiert wird. Dazu schaut man sich den *Replica-Hamiltonian* zu (2.7) an (siehe dazu Abschnitt 4.3):

$$\mathcal{H}_n = \sum_{\alpha, \beta=1}^n \int_0^L dx \left\{ \frac{1}{2} \hbar v_F \left( \frac{\partial}{\partial x} \varphi_\alpha \right)^2 \delta_{\alpha\beta} - \frac{(\hbar v_F)^2 \sigma}{2T} \left( \frac{\partial}{\partial x} \varphi_\alpha \right) \left( \frac{\partial}{\partial x} \varphi_\beta \right) - \frac{V^2}{4T} \cos(\varphi_\alpha - \varphi_\beta) \right\}. \quad (\text{A.3.1})$$

In dieser Darstellung sieht man, dass unter o.g. Symmetrietransformation nur ein Gradiententerm generiert wird, der durch eine Umdefinition von  $\varphi$  wieder "absorbiert" werden kann. Nun zeigen wir dies explizit und addieren einen Term  $-g_0 \int_0^L (\partial\varphi/\partial x) dx$  zu  $\mathcal{H}$ , wie er unter einem Renormierungsgruppenschritt erzeugt werden würde, und schreiben den Replica-Hamiltonian wie folgt auf:

$$\mathcal{H}_n = \int_0^L dx \left( \frac{1}{2} \underline{\phi} \cdot \underline{\mathbf{A}} \cdot \underline{\phi}^T - \underline{\phi} \cdot \underline{g}_0 - \frac{V^2}{4T} \cos(\varphi_\alpha - \varphi_\beta) \right) \quad (\text{A.3.2})$$

wobei folgende Vektoren und Matrizen verwendet wurden:

$$\begin{aligned} \boxed{\mathbf{1}} &\equiv \begin{pmatrix} 1 & \dots & 1 \\ \vdots & \ddots & \vdots \\ 1 & \dots & 1 \end{pmatrix} \in \mathcal{M}_n(\mathbb{R}) \\ E_n &: \quad n\text{-dimensionale Einheitsmatrix} \\ \underline{\mathbf{A}} &\equiv \hbar v_F E_n - \frac{\sigma (\hbar v_F)^2}{T} \boxed{\mathbf{1}} \\ \underline{\phi} &\equiv (\partial_x \varphi_1, \dots, \partial_x \varphi_n) \\ \underline{g}_0 &\equiv (g_0, \dots, g_0)^T \end{aligned}$$

Mit Hilfe der Identitäten

$$\begin{aligned} (aE_n + b\boxed{\mathbf{1}})^{-1} &= a^{-1} E_n - \frac{b}{a(a+nb)} \boxed{\mathbf{1}}, \quad a \neq -nb \quad \text{und} \\ -\frac{1}{2} \underline{\phi} \cdot \underline{\mathbf{A}} \cdot \underline{\phi}^T &= -\frac{1}{2} ((\underline{\phi} + \underline{w}^T) \cdot \underline{\mathbf{A}} \cdot (\underline{\phi}^T + \underline{w}) - \underline{g}_0 \cdot \underline{\mathbf{A}}^{-1} \cdot \underline{g}_0^T), \quad \underline{w} = -\underline{\mathbf{A}}^{-1} \cdot \underline{g}_0^T \end{aligned}$$

erhält man

$$\mathcal{H}_n = -\frac{1}{2} g_0^2 LC(n) + \int dx \left( \tilde{\underline{\phi}} \cdot \underline{\mathbf{A}} \cdot \tilde{\underline{\phi}}^T - \frac{V^2}{4T} \cos(\varphi_\alpha - \varphi_\beta) \right), \quad (\text{A.3.3})$$

wobei  $C(n) = n/(\hbar v_F) + \frac{\sigma n^2}{T - n\sigma \hbar v_F}$  und  $\tilde{\underline{\phi}} \equiv 2^{-1/2} (\underline{\phi} + \underline{w}^T)$ .

Die "renormierte" elastische Konstante  $\hbar \tilde{v}_F$  folgt dann aus der freien Energie:

$$(\hbar \tilde{v}_F)^{-1} = -\frac{1}{L} \left. \frac{\partial^2 \bar{F}}{\partial g_0^2} \right|_{g_0=0}. \quad (\text{A.3.4})$$

Mit  $-\frac{1}{L} \frac{\partial^2}{\partial g_0^2} \Big|_{g_0=0} (-T \mathcal{Z}_n) = C(n)$  und  $\bar{F} = -T \lim_{n \rightarrow 0} \frac{1}{n} (\mathcal{Z}_n - 1)$  bekommt man schließlich

$$(\hbar \tilde{v}_F)^{-1} = \lim_{n \rightarrow 0} \frac{1}{n} C(n) = (\hbar v_F)^{-1} \quad (\text{A.3.5})$$

d.h. die elastische Konstante wird tatsächlich nicht renormiert.

#### A.4 Korrelationsfunktion für gaußsches Modell

In diesem Abschnitt wird die Berechnung der Paarkorrelationsfunktion  $\langle (\phi(0) - \phi(\underline{r}))^2 \rangle = 2 \langle \phi^2(0) \rangle - 2 \langle \phi(0) \phi(\underline{r}) \rangle$  für ein einfaches gaußsches bzw. elastisches Modell

$$H_0 = \int_{L^d} d^d \underline{r} \frac{c}{2} (\nabla_{\underline{r}} \phi(\underline{r}))^2 \quad (\text{A.4.1})$$

kurz beschrieben. Dazu wird zunächst  $H_0/T$  in der Zustandssumme um einen linearen Quellterm  $\tilde{H}_Q = - \int d^d \underline{r} j(\underline{r}) \phi(\underline{r})$  erweitert. Geht man zur Fourierdarstellung  $\phi(\underline{r}) = L^{-d} \sum_{\underline{k}} e^{i \underline{k} \cdot \underline{r}} \phi_{\underline{k}}$  (entsprechend für  $j$ ) über, läßt sich die erweiterte Hamiltonfunktion schreiben als  $(J(\underline{k}) = c \underline{k}^2)$

$$\tilde{H} = H_0/T + \tilde{H}_Q = L^{-d} \sum_{\underline{k}} \left( \frac{J(\underline{k})}{2T} |\phi_{\underline{k}}|^2 - \phi_{\underline{k}} j_{-\underline{k}} \right). \quad (\text{A.4.2})$$

Mit  $\phi_{\underline{k}} = a_{\underline{k}} + i b_{\underline{k}}$  und  $j_{\underline{k}} = \alpha_{\underline{k}} + i \beta_{\underline{k}}$  läßt sich die Zustandssumme als Integral über die reellen Koeffizienten  $a_{\underline{k}}$  und  $b_{\underline{k}}$  darstellen:

$$\begin{aligned} Z[j] &= \int \mathcal{D}[\phi] e^{-\tilde{H}} \\ &= \prod_{\underline{k}} \int_{\mathbb{R}} da_{\underline{k}} \int_{\mathbb{R}} db_{\underline{k}} e^{-L^{-d} \left( \frac{J(\underline{k})}{2T} (a_{\underline{k}}^2 + b_{\underline{k}}^2) - a_{\underline{k}} \alpha_{-\underline{k}} - b_{\underline{k}} \beta_{-\underline{k}} \right)}. \end{aligned} \quad (\text{A.4.3})$$

Nach einer quadratischen Ergänzung des Exponenten:  $a_{\underline{k}}^2 - \frac{2T}{J(\underline{k})} a_{\underline{k}} \alpha_{-\underline{k}} = \left( a_{\underline{k}} - \frac{T \alpha_{-\underline{k}}}{J(\underline{k})} \right)^2 - \left( \frac{T \alpha_{-\underline{k}}}{J(\underline{k})} \right)^2$  (analog für  $b_{\underline{k}}$ ) und der Substitution  $\tilde{a}_{\underline{k}} = a_{\underline{k}} - \frac{T \alpha_{-\underline{k}}}{J(\underline{k})}$  bzw.  $\tilde{b}_{\underline{k}} = b_{\underline{k}} - \frac{T \beta_{-\underline{k}}}{J(\underline{k})}$  sind die Integrale über  $\tilde{a}_{\underline{k}}$  bzw.  $\tilde{b}_{\underline{k}}$  nur noch einfache Gaußintegrale, und man erhält ( $Z_0 \equiv Z[j \equiv 0]$ ):

$$Z[j] = Z_0 \underbrace{e^{\frac{T}{2L^d} \sum_{\underline{k}} j_{\underline{k}} j_{-\underline{k}} J^{-1}(\underline{k})}}_{\tilde{Z}[j]}. \quad (\text{A.4.4})$$

Schreibt man den Exponenten in  $\tilde{Z}[j]$  wieder im realen Raum auf, läßt sich die Korrelationsfunktion  $\langle \phi(\underline{r}') \phi(\underline{r}) \rangle$  als Funktionalableitung von  $\tilde{Z}[j]$  schreiben:

$$\begin{aligned} \langle \phi(\underline{r}) \phi(\underline{r}') \rangle &= \frac{\delta^2}{\delta j_{\underline{r}} \delta j_{\underline{r}'}} \tilde{Z}[j] = T J^{-1}(\underline{r} - \underline{r}') \\ &= T L^{-d} \sum_{\underline{k}} e^{i \underline{k} \cdot (\underline{r} - \underline{r}')} J^{-1}(\underline{k}). \end{aligned} \quad (\text{A.4.5})$$

Damit folgt für  $\langle (\phi(\underline{r}') - \phi(\underline{r}))^2 \rangle$  sofort:

$$\langle (\phi(\underline{r}') - \phi(\underline{r}))^2 \rangle = 2 T L^{-d} \sum_{\underline{k}} \frac{1 - e^{i \underline{k} \cdot (\underline{r} - \underline{r}')}}{c \underline{k}^2}. \quad (\text{A.4.6})$$

Insbesondere für  $d = 1$  und  $c = \hbar v_F$  folgt:

$$\begin{aligned} \langle (\phi(0) - \phi(x))^2 \rangle &= \frac{2T}{L\hbar v_F} \sum_k \frac{1 - e^{ik \cdot x}}{k^2} \\ &= \frac{2T}{\hbar v_F} \int_{-\Lambda}^{\Lambda} \frac{dk}{2\pi} \frac{1 - \cos(kx)}{k^2} \\ &= \frac{4T}{\pi\hbar v_F} \int_0^{\Lambda} \sin^2(kx/2) \Big|_{\Lambda \rightarrow \infty} = \frac{T}{\hbar v_F} |x|. \end{aligned} \quad (\text{A.4.7})$$

Beim Übergang zum Integral wurde (A.1.5) benutzt.

## A.5 Berechnung des Integrals aus 2.2.2

Berechnung des Integrals:

$$Cf = \int_0^{\infty} dx e^{-x} \left( \frac{x}{2\alpha} - \left[ \frac{x}{2\alpha} \right] \right)^2. \quad (\text{A.5.1})$$

Der quadratische Term in  $Cf$  wird zunächst erweitert, was auf die folgenden drei (konvergenten) Integrale führt:

$$\begin{aligned} I_1 &\equiv \frac{1}{4\alpha^2} \int_0^{\infty} dx e^{-x} x^2 = \frac{1}{2\alpha^2} \\ I_2 &\equiv -\frac{1}{\alpha} \int_0^{\infty} dx e^{-x} x \left[ \frac{x}{2\alpha} \right] = -\frac{1}{\alpha} \sum_{k=1}^{\infty} \int_{(2k-1)\alpha}^{(2k+1)\alpha} dx e^{-x} x \left[ \frac{x}{2\alpha} \right] \\ I_3 &\equiv \int_0^{\infty} dx e^{-x} \left[ \frac{x}{2\alpha} \right]^2 = \sum_{k=1}^{\infty} \int_{(2k-1)\alpha}^{(2k+1)\alpha} dx e^{-x} \left[ \frac{x}{2\alpha} \right]^2, \end{aligned} \quad (\text{A.5.2})$$

so dass  $Cf = I_1 + I_2 + I_3$ . Für  $(2k-1)\alpha \leq x \leq (2k+1)\alpha$  gilt:  $\left[ \frac{x}{2\alpha} \right] \equiv k$ , d.h. die Gaußklammern in  $I_2$  und  $I_3$  können durch  $k$  ersetzt werden:

$$\begin{aligned} I_2 &= -\frac{1}{\alpha} \sum_{k=1}^{\infty} k \int_{(2k-1)\alpha}^{(2k+1)\alpha} dx e^{-x} x \\ I_3 &= \sum_{k=1}^{\infty} k^2 \int_{(2k-1)\alpha}^{(2k+1)\alpha} dx e^{-x}. \end{aligned} \quad (\text{A.5.3})$$

Diese zwei einfachen Integrale liefern

$$\begin{aligned} \int_{(2k-1)\alpha}^{(2k+1)\alpha} dx e^{-x} x &= 2e^{-2k\alpha} ((1 + 2k\alpha) \sinh(\alpha) - \alpha \cosh(\alpha)) \\ \int_{(2k-1)\alpha}^{(2k+1)\alpha} dx e^{-x} &= 2e^{-2k\alpha} \sinh(\alpha), \end{aligned} \quad (\text{A.5.4})$$

womit nur noch Summen der Form

$$\sum_{k=1}^{\infty} k e^{-2k\alpha} \quad \text{und} \quad \sum_{k=1}^{\infty} k^2 e^{-2k\alpha}, \quad (\text{A.5.5})$$

berechnet werden müssen. Da diese aber nur Ableitungen der *geometrischen Reihe* sind, sind diese auch einfach zu berechnen:

$$\begin{aligned} \sum_{k=1}^{\infty} k e^{-2k\alpha} &= \frac{e^{-2\alpha}}{(1 - e^{-2\alpha})^2} \\ \sum_{k=1}^{\infty} k^2 e^{-2k\alpha} &= \frac{e^{-2\alpha} + e^{-4\alpha}}{(1 - e^{-2\alpha})^3}. \end{aligned} \quad (\text{A.5.6})$$

Man erhält also letztendlich für  $Cf$ :

$$Cf = \frac{1}{2\alpha} \left( \frac{1}{\alpha} - \frac{1}{\sinh(\alpha)} \right). \quad (\text{A.5.7})$$

Unter Benutzung von (A.2.2) erhält man folgende Näherungsformel:

$$Cf = \frac{1}{12} - \frac{7}{720}\alpha^2 + \frac{31}{30240}\alpha^4 + \mathcal{O}(\alpha^6). \quad (\text{A.5.8})$$

## A.6 Statistik geordneter Zufallsgrößen

Seien  $X_1, X_2, \dots, X_N$  Zufallsgrößen mit der kumulierten Verteilungsfunktion (cdf)  $F_i(x) = \Pr\{X_i \leq x\}$  wobei im folgenden  $F(x) = F_1(x) = \dots = F_N(x)$  gelten soll.  $X_{(1)}, X_{(2)}, \dots, X_{(N)}$  seien die geordneten Zufallsgrößen ( $X_{(1)} \leq X_{(2)} \leq \dots \leq X_{(N)}$ ) mit der cdf

$$P_i(x) = \Pr\{X_{(i)} \leq x\} = \sum_{k=i}^N \binom{N}{k} F^k(x) (1 - F(x))^{N-k} \quad (\text{A.6.1})$$

was bedeutet, daß mindestens  $i$  der  $X_k$  kleiner oder gleich  $x$  sind. In den Spezialfällen  $i \in 1, N$  gilt offensichtlich

$$\begin{aligned} P_N(x) &= \Pr\{X_{(N)} \leq x\} = \Pr\{\text{alle } X_i \leq x\} = F^N(x) \\ P_1(x) &= \Pr\{X_{(1)} \leq x\} = 1 - \Pr\{\text{alle } X_i > x\} = 1 - (1 - F(x))^N \end{aligned} \quad (\text{A.6.2})$$

$P_i(x)$  läßt sich auch schreiben als  $P_i(x) = I(i, N - i + 1; P_i(x))$ , wobei  $I(a, b; x)$  die normierte unvollständige Beta-Funktion ist, definiert durch

$$\begin{aligned} I(a, b; x) &= \frac{B(a, b; x)}{B(a, b)} \\ B(a, b; x) &= \int_0^x t^{a-1} (1-t)^{b-1} dt \end{aligned} \quad (\text{A.6.3})$$

wobei  $B(a, b) = B(a, b; 1)$  die Beta-Funktion ist. Die Wahrscheinlichkeitsdichte-Funktion (pdf)  $p_i(x)$  für  $X_{(i)}$  kann nun auf zwei verschiedene Arten berechnet werden. Zum einen läßt sich die Wahrscheinlichkeit ein  $X_{(i)}$  in einem kleinen Intervall  $[x, x + \delta x]$  zu finden, schreiben als

$p_i(x)\delta x = P_i(x + \delta x) - P_i(x) + \mathcal{O}(\delta x^2)$ . Für  $\delta x \rightarrow 0$  ist also  $p_i(x) = P'_i(x)$ , womit sofort folgt

$$p_i(x) = \frac{1}{B(i, N - i + 1)} F^{i-1}(x)(1 - F(x))^{N-i} f(x) \quad (\text{A.6.4})$$

wobei  $f(x) = F'(x)$  die pdf der  $X_k$  ist. Zum anderen kann man sich auch eine mehr anschauliche Herleitung für  $p_i(x)$  überlegen: Wieder soll die Wahrscheinlichkeit für  $x < X_{(i)} \leq x + \delta x$  bestimmt werden, d.h. die Wahrscheinlichkeit dafür, daß

- für  $i - 1$  der  $X_k$  gilt:  $X_k \leq x$
- ein  $X_k \in [x, x + \delta x]$  ist und
- für  $N - i$  der  $X_k$  gilt:  $X_k > x + \delta x$

Für diese Aufteilung gibt es offensichtlich  $\frac{N!}{(i-1)!(N-i)!} = i \binom{N}{N-i} = \frac{1}{B(i, N-i+1)}$  Möglichkeiten und die Wahrscheinlichkeit für eine solche Aufteilung ist

$$(\Pr\{X_k \leq x\})^{i-1} \cdot \Pr\{x < X_k \leq x + \delta x\} \cdot (\Pr\{X_k > x + \delta x\})^{N-i} = F^{i-1}(x) \cdot (F(x + \delta x) - F(x)) \cdot (1 - F(x + \delta x))^{N-i}. \quad (\text{A.6.5})$$

Ingesamt erhält man also

$$\Pr\{x < X_{(i)} \leq x + \delta x\} = \frac{1}{B(i, N - i + 1)} \cdot F^{i-1}(x) \cdot (F(x + \delta x) - F(x)) \cdot (1 - F(x + \delta x))^{N-i} \quad (\text{A.6.6})$$

und für  $\delta x \rightarrow 0$  folgt wieder der Ausdruck (A.6.4) für  $p_i(x)$ .

Um später die pdf für Differenzen (oder auch anderen Funktionen) von geordneten Zufallsgrößen zu bestimmen, braucht man noch die gemeinsame pdf für zwei Größen  $X_{(i)}$  und  $X_{(j)}$  mit  $x < X_{(i)} \leq x + \delta x$  und  $y < X_{(j)} \leq y + \delta y$ , wobei  $1 \leq i < j \leq N$  gelten soll. Diese sei mit  $p_{ij}(x, y)$  bezeichnet. Geht man analog zu der oben beschriebenen anschaulichen Herleitung vor, erhält man direkt

$$p_{ij}(x, y) = \frac{N!}{\underbrace{(i-1)!(j-i-1)!(N-j)!}_{\equiv C_{ij}}} F^{i-1}(x)f(x)(F(y) - F(x))^{j-i-1} f(y)(1 - F(y))^{N-j} \quad (\text{A.6.7})$$

da hier gilt

- $(i - 1)$   $X_k$  sind  $\leq x$
- ein  $X_k$  ist in  $[x, x + \delta x]$
- $(j - i - 1)$   $X_k$  sind in  $[x + \delta x, y]$
- ein  $X_k$  ist in  $[y, y + \delta y]$  und
- $(N - j)$   $X_k$  sind  $> y + \delta y$

d.h. es gibt  $\frac{N!}{(i-1)!(j-i-1)!(N-j)!}$  Verteilungsmöglichkeiten, jede mit der Wahrscheinlichkeit  $F^{i-1}(x)(F(x+\delta x) - F(x))(F(y) - F(x+\delta x))^{j-i-1}(F(y+\delta y) - F(y))(1 - F(y+\delta y))^{N-j}$ . Diese Herleitung kann natürlich auch auf mehr als zwei Zufallsgrößen verallgemeinert werden. Jetzt kann die pdf der Größe  $\Delta_{ij} = X_{(j)} - X_{(i)}$  bestimmt werden. Dazu setzen wir  $y = \delta_{ij} + x$  (d.h.  $\delta_{ij}$  ist der Abstand von  $x$  und  $y$ ). Die pdf  $\tilde{p}(\delta_{ij})$  von  $\Delta_{ij}$  ergibt sich sofort aus

$$\tilde{p}(\delta_{ij}) = \int_{\mathbb{R}} dx p_{ij}(x, \delta_{ij} + x) \quad (\text{A.6.8})$$

Jetzt berechnen wir  $\tilde{p}(\delta_{ij})$  noch in folgendem Spezialfall:  $f(x) = \begin{cases} 1, & 0 \leq x \leq 1 \\ 0, & \text{sonst} \end{cases}$ , d.h. im folgenden seien alle Funktionen nur auf  $[0, 1]$  von Null verschieden. Für die Wahrscheinlichkeitsdichte-Funktionen gilt dann

$$\begin{aligned} p_i(x) &= \frac{1}{B(i, N-i+1)} x^{i-1} (1-x)^{N-i} \\ p_{ij}(x) &= C_{ij} x^{i-1} (y-x)^{j-i-1} (1-y)^{N-j} \\ \tilde{p}(\delta_{ij}) &= C_{ij} \int_0^{1-\delta_{ij}} dx x^{i-1} \delta_{ij}^{j-i-1} (1-x-\delta_{ij})^{N-j} \end{aligned} \quad (\text{A.6.9})$$

Man erhält also

$$\tilde{p}(\delta_{ij}) = \frac{1}{B(j-i, N-j+i+1)} \delta_{ij}^{j-i-1} (1-\delta_{ij})^{N-j} \quad (\text{A.6.10})$$

und insbesondere im Fall  $j = i + 1$  ( $\delta_i \equiv \delta_{i, i+1}$ ):

$$\tilde{p}(\delta_i) = \frac{1}{B(1, N)} (1-\delta_i)^{N-1} = N(1-\delta_i)^{N-1} \quad (\text{A.6.11})$$

## A.7 Programm zur Simulation der Dynamik

Hier ein Listing des Hauptteils des Simulationsprogramms:

```
//***** program begins ... *****
//open output-file

f=fopen(output, "wb");
fprintf(f, "N=%d, Samples=%d, iseed=%d\n", N, Nsamp, iseeda);
fprintf(f, "time=%le, dt=%le, T=%le\n", time, dt, T);

for(k=0; k<nE; k++) // loop over driving force
{if(nE==1) E=(bE+vE)/2;
 else E=vE+k*(bE-vE)/(nE-1); // electric field or driving force

for(j=0; j<Nsamp; j++)
{iseeds=iseeda+j*108;
 x=ran2(iseeds); //only for initialization
//Initialization
```

```

for(n=0;n<N;n++)
  {phi[n]=0.0; //initially surface is flat

  // random phase: a[n]
  a[n]=M_2PI*ran2();
  }
Jsav=0.0; // to calculate average J_cdw
avc=0; //counter for "
//TIME EVOLUTION
for(i=0;i<nstep;i++)
  {for(n=0;n<N;n++)
    { np=n+1;if(np==N) np=0;
      nm=n-1;if(nm<0) nm=N-1;

      noise[n]=Tsdev*sqrt(-2.0*log(ran2()))*cos(M_2PI*ran2());

      //calc d(phi)/dt
      deri1[n]=(phi[np]+phi[nm]-2*phi[n])+sin(phi[n]-a[n])
                //discrete laplacian pinning
                -E +noise[n];
                //driving force temperature
    } //end n
  for(n=0;n<N;n++) phit[n]=phi[n]+dt*deri1[n];

  //modified RK:
  for(n=0;n<N;n++)
    { np=n+1;if(np==N) np=0;
      nm=n-1;if(nm<0) nm=N-1;
      deri2[n]=(phit[np]+phit[nm]-2*phit[n])+sin(phit[n]-a[n])-E+noise[n];
    } //end n
  for(n=0;n<N;n++)
    {phi[n]=(phi[n]+phit[n])/2;
      deri[n]=(deri1[n]+deri2[n])/2;
    }
  for(n=0;n<N;n++) phi[n]=phi[n]+dt*deri[n];

  if((i>=nskip) && (i%ical==0)) // calculate the average J_cdw
    {Jav=0.0;
      for(n=0;n<N;n++) Jav+=deri[n];
      Jav=Jav/N;
    }
}

```

```

        Jsav+=Jav;
        avc++;
    }
    }//end time
    Jsav=Jsav/avc;
    savj[j]=Jsav;
} //end sample-loop
// sample average for J_cdw
J1=0.0; // final average
J2=0.0;
for(j=0;j<Nsamp;j++)
    {J1+=savj[j];J2+=savj[j]*savj[j];}
// calculate error bars due to sample average
if(Nsamp>1) err=sqrt((J2-J1*J1/Nsamp)/(Nsamp*(Nsamp-1)));
else err=0.0;
fprintf(f,"%le %le %le\n",E,J1/Nsamp,err);
} // end of loop over driving force
fclose(f);
//finish

```

### Bemerkungen:

- Die Funktion `ran2()` liefert eine Zufallszahl im Intervall  $[0, 1]$  (entnommen aus [PTVF92])
- $Tsdev = \sqrt{2.0 * T}$ ; ist die Standardabweichung für die gaußverteilten Zufallszahlen  $\eta(T)$

**A.8 Teilpublikation**

Andreas Glatz and Mai Suan Li, *Collective dynamics of one-dimensional charge density waves*, Phys. Rev. **B** 64, 184301 (2001). (Teile von Kapitel 2)

Andreas Glatz and Thomas Nattermann, *One-Dimensional Disordered Density Waves and Superfluids: The Role of Quantum Phase Slips and Thermal Fluctuations*, Phys. Rev. Lett. 88, 256401 (2002). (basierend auf Kapitel 3 und 4)

## Literatur

- [BM99] S. Brazovski and P. Monceau, editors. *Proceedings of the International Workshop on Electronic Crystals ECRYS 99*, volume 9 of *Journal de Physique IV Proceedings*. Societe Francaise de Physique, 1999.
- [BPT82] T. Bor, V.L. Pokrovskii, and A.L. Talapov. *JETP Lett.*, **35**:203–206, 1982.
- [Car96] John Cardy. *Scaling and Renormalization in Statistical Physics*, volume 5 of *Cambridge Lecture Notes in Physics*. Cambridge University Press, 1996.
- [Dav70] H. A. David. *Order Statistics*. John Wiley & Sons, Inc., 1970.
- [Fei80] M. Feigel'man. *Sov. Phys. JETP*, **52**:555, 1980.
- [FL78] H. Fukuyama and P.A. Lee. *Phys. Rev. B*, **17**:535, 1978.
- [Fuk76] H. Fukuyama. *J. Phys. Soc. Jpn.*, **41**:513, 1976.
- [GH81] H.S. Greenside and E. Helfand. *Bell. Syst. Tech. J.*, **60**:1927, 1981.
- [God92] Godr che, editor. *Solids far from equilibrium*. Cambridge University Press, 1992.
- [Gor77] L.P. Gorkov. *Sov. Phys JETP Letters*, **25**:358, 1977.
- [Gr 88] George Gr ner. The dynamics of charge-density-waves. *Rev. Mod. Phys.*, **60**:1128–1181, 1988.
- [Gr 94] George Gr ner. *Density Waves in Solids*, volume 89 of *Frontiers in Physics*. Addison-Wesley, 1994.
- [GS88] T. Giamarchi and H.J. Schulz. *Phys. Rev. B*, **37**:325, 1988.
- [Hal81] F.D.M. Haldane. *Phys. Rev. Lett.*, **47**:1840, 1981.
- [HHF85] D.A. Huse, C.L. Henley, and D.S. Fisher. *Phys. Rev. Lett.*, **55**:2924, 1985.
- [JKKN77] J.V. Jos , L.P. Kadanoff, S. Kirkpatrick, and D.R. Nelson. *Phys. Rev. B*, **16**:1217–1241, 1977.
- [Kad79] L.P. Kadanoff. *Ann. Phys.*, **120**:39, 1979.
- [KdO80] H.J.F. Knops and L.W.J den Ouden. *Physica A*, **103**:597, 1980.
- [Kos74] J.M. Kosterlitz. *J. Phys. C: Solid State Phys.*, **7**:1046, 1974.
- [KT73] J.M. Kosterlitz and D.J. Thouless. *J. Phys. C: Solid State Phys.*, **6**:1181, 1973.
- [LR79] P.A. Lee and T.M. Rice. *Phys. Rev. B*, **19**:3970, 1979.
- [M<sup>+</sup>89] E. Medina et al. *Phys. Rev. A*, **39**:3053, 1989.
- [MF91] A.A. Middleton and D.S. Fisher. *Phys. Rev. Lett.*, **66**:92, 1991.
- [MS93] C.R. Myers and J.P. Sethna. *Phys. Rev. B*, **47**:11194, 1993.
- [Nat90] Thomas Nattermann. *Phys. Rev. Lett.*, **64**:2454, 1990.
- [Nat00] Thomas Nattermann. *Statistische Physik*, 2000. Skriptum zur Statistischen Physik I & II.
- [NO88] John W. Negele and Henri Orland. *Quantum Many-Particle Systems*. Addison-Wesley Publishing Company, 1988.

- [NS00] Thomas Nattermann and Stefan Scheidl. Vortex-glass phases in type-II superconductors. *Adv. Phys.*, **49**:607–704, 2000.
- [PTVF92] W.H. Press, S.A. Teukolsky, W.T. Vetterling, and B.P. Flannery. *Numerical Recipes in C*. Cambridge University Press, 1992.
- [RS73] M.J. Rice and S. Strässler. *Solid State Commun.*, **13**:1389, 1973.
- [Sac99] Subir Sachdev. *Quantum Phase Transitions*. Cambridge University Press, 1999.
- [SL90] P. Sibani and P.B. Littlewood. *Phys. Rev. Lett.*, **64**:1305, 1990.
- [SV98] S. Scheidl and V.M. Vinokur. *Phys. Rev. E*, **57**:2574, 1998.
- [SVBO88] U. Schultz, J. Villain, E. Brezinand, and H. Orland. *J. Stat. Phys.*, **51**:1, 1988.
- [SZ88] G. Schön and A.D. Zaikin. *Physica B*, **152**:203–206, 1988.
- [TS92] Y.-C. Tsai and Y. Shapir. *Phys. Rev. Lett.*, **69**:1773, 1992.
- [VF84] J. Villain and J.F. Fernandez. *Z. Phys. B*, **54**:139, 1984.
- [ZZ93] S.V. Zaitsev-Zotov. *Phys. Rev. Lett.*, **71**:605, 1993.
- [ZZ94] S.V. Zaitsev-Zotov. *Phys. Rev. Lett.*, **72**:587, 1994.



## Danksagung

Ich möchte allen danken, die zum Gelingen dieser Arbeit beigetragen haben, insbesondere:

- Prof. Dr. T. Nattermann, der die Arbeit ausgezeichnet betreut hat, und stets, auch aus der Ferne, zu Diskussionen bereit war und mit seinen Hinweisen neue Anstöße gab,
- Dr. Mai Suan Li, der mir hilfreiche Hinweise bei den numerischen Untersuchungen gegeben hat,
- Dr. Stefan Scheidl, Dr. Bernd Rosenow und Simon Bogner, die mir mit ihrem fachkundigen Rat zur Seite standen
- und schließlich den derzeitigen und ehemaligen Mitbenutzern des Zimmers 102 (Dr. Peter Arndt, Simon Bogner und Frank Krüger) für die gute Atmosphäre während des vergangenen Jahres.



## **B Erklärung**

Hiermit bestätige ich, dass ich meine Diplomarbeit selbständig angefertigt und keine anderen als die angegebenen Quellen und Hilfsmittel benutzt sowie Zitate kenntlich gemacht habe.

Köln, den 20. Juni 2001

Andreas Glatz